

**INSTITUT TEKNOLOGI NASIONAL MALANG
FAKULTAS TEKNOLOGI INDUSTRI
JURUSAN TEKNIK ELEKTRO
PROGRAM STUDI TEKNIK ENERGI LISTRIK**



**ANALISIS PEMILIHAN KONDUKTOR YANG OPTIMAL
PADA SALURAN DISTRIBUSI TIPE RADIAL DI
PENYULANG PUJON DENGAN MEMPERTIMBANGKAN
PERTUMBUHAN BEBAN**

SKRIPSI

Disusun Oleh :

DIDIN SUPRIYADI

01.12.124



MARET 2007

MARKET 2003

01/15/184

DIDOM SUBBLANDI

DEKRETO DOP :



SKIMBAI

BELUKUKUVA BELUKUVA

BELUKUKUVA BELUKUKUVA BELUKUKUVA BELUKUKUVA
BELUKUKUVA BELUKUKUVA BELUKUKUVA BELUKUKUVA
BELUKUKUVA BELUKUKUVA BELUKUKUVA BELUKUKUVA
BELUKUKUVA BELUKUKUVA BELUKUKUVA BELUKUKUVA

BELUKUKUVA BELUKUKUVA BELUKUKUVA BELUKUKUVA
BELUKUKUVA BELUKUKUVA BELUKUKUVA BELUKUKUVA
BELUKUKUVA BELUKUKUVA BELUKUKUVA BELUKUKUVA
BELUKUKUVA BELUKUKUVA BELUKUKUVA BELUKUKUVA

LEMBAR PERSETUJUAN

**ANALISIS PEMILIHAN KONDUKTOR YANG OPTIMAL
PADA SALURAN DISTRIBUSI TIPE RADIAL DI PENYULANG PUJON
DENGAN MEMPERTIMBANGKAN PERTUMBUHAN BEBAN**

SKRIPSI

*Disusun dan Diajukan Untuk Melengkapi dan Memenuhi Syarat-Syarat
Guna Mencapai Gelar Sarjana Teknik*

Disusun Oleh :

DIDIN SUPRIYADI

01.12.124



**Mengetahui,
Ketua Jurusan Teknik Elektro**

Ir. F. YUDI LIMPRAPTONO, MT
NIP. Y. 103 9500 274

**Diperiksa dan disetujui,
Dosen Pembimbing**

Ir. H. TAUFIK HIDAYAT, MT
NIP. Y. 101 8700 151

**KONSENTRASI TEKNIK ENERGI LISTRIK
JURUSAN TEKNIK ELEKTRO
FAKULTAS TEKNOLOGI INDUSTRI
INSTITUT TEKNOLOGI NASIONAL MALANG**



INSTITUT TEKNOLOGI NASIONAL MALANG
FAKULTAS TEKNOLOGI INDUSTRI
JURUSAN TEKNIK ELEKTRO S-1
KONSENTRASI TEKNIK ENERGI LISTRIK

BERITA ACARA UJIAN SKRIPSI FAKULTAS TEKNOLOGI INDUSTRI

1. **Nama** : DIDIN SUPRIYADI
2. **NIM** : 01.12.124
3. **Jurusan** : Teknik Elektro S-1
4. **Konsentrasi** : Teknik Energi Listrik
5. **Judul Skripsi** : ANALISIS PEMILIHAN KONDUKTOR YANG OPTIMAL PADA SALURAN DISTRIBUSI TIPE RADIAL DI PENYULANG PUJON DENGAN MEMPERTIMBANGKAN PERTUMBUHAN BEBAN

Dipertahankan dihadapan Majelis Penguji Skripsi Jenjang Strata Satu (S-1) pada:

Hari : Kamis
Tanggal : 22 Maret 2007
Dengan Nilai : 75,2 (B+)

Panitia Ujian Skripsi



Ketua Majelis Penguji

Ir. Mochtar Asroni, MSME
NIP.Y. 1018100036

Sekretaris Majelis Penguji

Ir. F. Yudi Limpraptono, MT
NIP.Y. 1039500274

Anggota Penguji

Penguji I

Ir. Choirul Saleh, MT
NIP.Y. 1018800190

Penguji II

Ir. Djojo Priatmono, MT
NIP.Y. 1018500107

ABSTRAKSI

ANALISIS PEMILIHAN KONDUKTOR YANG OPTIMAL PADA SALURAN DISTRIBUSI TIPE RADIAL DI PENYULANG PUJON DENGAN MEMPERTIMBANGKAN PERTUMBUHAN BEBAN

(Didin Supriyadi, Nim. 01.12.124, Teknik Elektro S-1/Teknik Energi Listrik)
(Dosen Pembimbing : Ir. H. Taufik Hidayat, MT)

Kata Kunci : Perencanaan Jaringan Distribusi, Pemilihan Konduktor, Losses.

Permasalahan yang sering terjadi dalam penyaluran energi listrik adanya rugi-rugi pada saluran distribusi, sehingga banyak hal yang telah dilakukan oleh PT. PLN (Persero) dalam usahanya untuk meminimasi rugi-rugi yang terjadi pada saluran distribusi.

Salah satu cara yang bisa dilakukan untuk meminimasi rugi-rugi yang terjadi pada saluran distribusi adalah dengan memilih ukuran konduktor yang optimal, oleh karena itu dalam merancang maupu *mengup-grade* saluran distribusi diperlukan suatu analisis perencanaan dan perhitungan yang tepat dan tiliti.

Skripsi ini membahas suatu analisis pemilihan konduktor analisis pemilihan konduktor yang optimal pada saluran distribusi radial dengan mempertimbangkan pertumbuhan beban, algoritma pemilihan konduktor disini memiliki sebuah fungsi objektif yang mengarahkan pada jumlah biaya investasi konduktor yang optimal dan selain itu dapat mengurangi rugi-rugi yang terjadi pada saluran distribusi.

Analisis pemiliha konduktor yang optimal pada saluran distribusi yang dilakukan dipenyulang pujon memberikan hasil pengurangan biaya total investasi konduktor dan biaya rugi-rugi energi dari Rp. 5.873.822.363,7786 menjadi Rp. 5.815.595.158,587 atau terjadi optimasi untuk biaya investasi konduktor dan biaya rugi-rugi energi sebesar 0,99%.

KATA PENGANTAR

Dengan rahmat Allah SWT, dan mengucapkan syukur kehadirat-Nya atas karunia yang dilimpahkan kepada saya sehingga dapat menyelesaikan skripsi yang berjudul “ANALISIS PEMILIHAN KONDUKTOR YANG OPTIMAL PADA SALURAN DISTRIBUSI TIPE RADIAL DIPENYULANG PUJON DENGAN MEMPERTIMBANGKAN PERTUMBUHAN BEBAN “

Skripsi ini bertujuan untuk memenuhi kurikulum akademik yang harus ditempuh oleh setiap mahasiswa ITN Malang dalam menempuh sekaligus mengakhiri pendidikan pada jenjang S-1 pada jurusan Teknik Elektro Konsentrasi Teknik Energi Listrik.

Saya menyadari bahwa skripsi ini masih jauh dari kesempurnaan, karena itu saran dan kritik membangun sangat saya harapkan.

Atas segala bimbingan, pengarahan dan bantuan yang diberikan, sehingga tersusun skripsi ini, maka penyusun menyampaikan terima kasih kepada;

1. Bapak Prof. DR. Ir.Abraham Lomi, MSEE, selaku Rektor ITN Malang.
2. Bapak Ir. F Yudi Limpraptono, MT, selaku Ketua Jurusan Teknik Elektro ITN Malang.
3. Bapak Ir. Taufik Hidayat, MT, selaku Dosen Pembimbing.
4. Bapak Ir. Abdul Wahid, selaku Manager di PT. PLN (Persero) Distribusi Jawa Timur Area Malang UP & J-Batu.

5. Bapak Alamsyah, selaku Pembimbing lapangan di PT. PLN (Persero)
Distribusi Jawa Timur Area Malang UP & J-Batu.

Akhirnya saya mengharapkan skripsi ini berguna dan bermanfaat bagi rekan mahasiswa khususnya jurusan Teknik Elektro.

Malang, Maret 2007

Penyusun

DAFTAR ISI

	Halaman
LEMBAR PERSETUJUAN	
ABSTRAKSI	i
KATA PENGANTAR	ii
DAFTAR ISI	iv
DAFTAR GAMBAR	viii
DAFTAR TABEL	ix
DAFTAR GRAFIK	x
BAB I PENDAHULUAN	
1.1 Latar Belakang	1
1.2 Rumusan Masalah	2
1.3 Tujuan Penelitian.....	2
1.4 Batasan Masalah.....	2
1.5 Metodologi Pembahasan	3
1.6 Sistematika Penulisan.....	3
1.7 Kontribusi Masalah	4
BAB II SISTEM DISTRIBUSI TENAGA LISTRIK	
2.1 Sistem Tenaga Listrik.....	5
2.2 Sistem Distribusi	5
2.2.1 Sistem Distribusi Primer	7
2.2.2 Sistem Distribusi Sekunder	7

2.3 Pola Dasar Struktur Jaringan Tegangan Menengah	7
2.3.1 Sistem Jaringan Distribusi Tipe Radial	7
2.3.2 Sistem Jaringan Distribusi Tipe <i>Loop</i>	9
2.3.3 Sistem Jaringan Distribusi Tipe <i>Mesh/Grid</i>	9
2.4 Konstruksi Jaringan Distribusi	10
2.4.1 Konduktor Pada Sistem Distribusi	12
2.4.2 Jenis Konduktor Saluran Udara pada Sistem Distribusi	
Primer	13
2.5 Daya Sistem Distribusi	16
2.5.1 Daya Nyata (<i>Real Power</i>)	16
2.5.2 Daya Reaktif (<i>Reaktif Power</i>)	17
2.5.3 Daya Komplek (<i>Complex Power</i>)	17
2.5.4 Faktor Daya	18
2.6 Beban Sistem Distribusi	19
2.7 Rugi-Rugi Daya Saluran Distribusi	19

BAB III ANALISIS PEMILIHAN KONDUKTOR YANG OPTIMAL

PADA SALURAN DISTRIBUSI TIPE RADIAL DENGAN

MEMPERTIMBANGKAN PERTUMBUHAN BEBAN

3.1 Konduktor	21
3.2 Kriteria Mutu Konduktor	21
3.3 Analisis Aliran Daya Jaringan	23
3.3.1 Metode Newton Respon	23
3.3.2 Algoritma Aliran Daya <i>Newton Rapshon</i>	27

3.4 Penomoran Node dan Saluran	28
3.5 Pemilihan Konduktor yang Optimal dengan Mempertimbangkan Pertumbuhan Beban	29
3.5.1 Fungsi Objektif.....	29
3.5.1.1 <i>Present Wordh Factor</i>	31
3.5.1.2 Tingkat Suku Bunga (<i>Interested Rate</i>).....	32
3.5.1.3 Tingkat Inflasi (<i>Inflation Rate</i>)	32
3.5.1.4 Faktor Rugi-rugi (<i>Loss Factor</i>).....	32
3.5.2 Batasan-batasan Dalam Pemilihan Konduktor.....	30

BAB IV HASIL DAN ANALISA

4.1 Program Komputer Pemilihan Konduktor	35
4.1.1 Algoritma Program Pemecahan Masalah Secara Umum	35
4.1.2 Algoritma Program Pemecahan Masalah Pemilihan Konduktor yang Optimal di Penyulang Pujon	35
4.1.3 Flowchart Program Pemecahan Masalah Secara Umum	37
4.1.4 Flowchart Program Pemilihan Konduktoryang Optimal di Penyulang Pujon.....	38
4.2 Data Perhitungan Penyulang Pujon.....	39
4.2.1 Data Saluran Penyulang Pujon.....	40
4.2.2 Data Pembebanan Penyulang Pujon.....	41
4.3 Analisa Perhitungan	42
4.4 Tampilan Program.....	43
4.5 Hasil Perhitungan	45

4.5.1 Konduktor Penyulang Pujon	45
4.5.2 Tegangan dan Sudut Fasa Tiap <i>Node</i> pada penyulang Pujon	46
4.5.3 Aliran Daya Antar Saluran Penyulang pujon.....	47
4.5.4 Rugi Daya Tiap Saluran Penyulang Pujon.....	48

4.5 Konduktor Penyulang Pujon

BAB V PENUTUP

5.1 Kesimpulan.....	54
---------------------	----

DAFTAR PUSTAKA

LAMPIRAN

DAFTAR GAMBAR

Gambar 2-1	Jaringan Distribusi Tegangan Menengah (JTM), Jaringan Tegangan Rendah (JTR) dan Sambungan Rumah Ke Pelanggan	6
Gambar 2-2	Sistem Distribusi Primer Tipe Radial.....	8
Gambar 2-3	Sistem Jaringan Distribusi Tipe <i>Loop</i>	9
Gambar 2-4	Sistem Jaringan Distribusi Tipe <i>Mesh/Grid</i>	10
Gambar 3-1	Sebuah <i>Feeder</i> Jaringan Distribusi Radial Sederhana	28
Gambar 3-2	Aliran Biaya Yang Tak Seragam dan Aliran Biaya Yang Seragam.....	31
Gambar 3-3	Rangkaian Ekuivalen Saluran Distribusi.....	33
Gambar 4-1	<i>Flowchart</i> Pemecahan Masalah Secara Umum.....	37
Gambar 4-2	<i>Flowchart</i> Pemilihan Konduktor.....	39
Gambar 4-3	Tampilan <i>Command Window</i> pada Software Matlab.....	43
Gambar 4-4	Tampilan <i>Box Dialog Open File</i>	43
Gambar 4-5	Tampilan <i>Matlab Editor</i>	44
Gambar 4-6	Tampilan Data Saluran Pada <i>Matlab Editor</i>	44
Gambar 4-7	Tampilan <i>Command Window</i> Pada Saat Menjalankan Program.....	45

DAFTAR TABEL

Tabel 2-1	Konstruksi Konduktor Udara Tembaga Telanjang (BBC).....	14
Tabel 2-2	Konstruksi Konduktor Udara Aluminium Telanjang (AAC).....	15
Tabel 2-3	Konstruksi Penghantar Udara Campuran Aluminium Telanjang	16
Tabel 4-1	Data Konduktor Penyulang Pujon.....	40
Tabel 4-2	Data Saluran Penyulang Pujon.....	41
Tabel 4-3	Daftar Harga Konduktor AAAC	41
Tabel 4-4	Data Pembebanan Penyulang Pujon.....	42
Tabel 4-5	Perbandingan Konduktor Terpasang di Penyulang Pujon dan Hasil Optimas.....	45
Tabel 4-6	Kondisi Tegangan dan Sudut Fasa Tiap <i>Node</i> Yang Terpasang di Penyulang Dan Proses Optimasi	46
Tabel 4-7	Besarnya Aliran Daya Antar Saluran Pada Penyulang Pujon	48
Tabel 4-8	Rugi-rugi Daya Tiap Saluran Penyulang Pujon	49
Tabel 4-9	Perbandingan Total Rugi Daya, Pembebanan dan Pembangkitan ...	49
Tabel 4-10	Rekapitulasi Biaya Investasi Konduktor Yang Terpasang di Penyulang Pujon.....	51
Tabel 4-11	Rekapitulasi Biaya Investasi Konduktor Hasil Analisis Optimasi...	51

DAFTAR GRAFIK

Grafik 4-1	Tegangan Setiap Node Dengan Konduktor Yang Terpasang Dan Setelah Proses Optimasi	47
Grafik 4-2	Perbandingan Rugi Daya Saluran Yang Terpasang Dan Perhitungan Optimasi Pada Penyulang Pujon.....	50
Grafik 4-3	Perbandingan Biaya Investasi Konduktor Dan Biaya Rugi-rugi Energi Penyulang Pujon.....	52
Grafik 4-4	Perbandingan Total Biaya Investasi Konduktor dan Rugi-rugi Energi Konduktor Yang Terpasang dan Hasil Analisis Optimasi	52

BAB I

PENDAHULUAN

1.1 Latar Belakang

Kebutuhan energi yang terus meningkat di berbagai sektor baik industri, rumah tangga, komersil dan pemerintahan mengharuskan penataan kembali sistem tenaga listrik agar mampu mengantisipasi kebutuhan dimasa mendatang.

Untuk mengantisipasi kebutuhan listrik yang terus meningkat PT. PLN (Persero) telah melakukan beberapa tindakan dengan terus *meng-upgrade* sistem tenaga listrik, diantaranya adalah dengan melakukan pergantian konduktor pada saluran distribusi agar kualitas pelayanan teknisnya tetap terjaga, dimana kualitas pelayanan teknis suatu jaringan distribusi ditunjukkan dengan terpenuhinya parameter-parameter kualitas energi listrik seperti besarnya tegangan, frekwensi, dan indeks keandalan yang sesuai dengan standar yang berlaku baik secara nasional maupun internasional. Disamping itu, jaringan distribusi juga harus mampu beroperasi secara ekonomis yang ditandai dengan susut energi (*energi loss*) atau rugi-rugi yang terjadi, oleh karena itu sebelum *meng-upgrade* jaringan distribusi diperlukan suatu analisis perencanaan dan perhitungan yang tepat dan teliti.

Pada skripsi ini dibahas mengenai analisis pemilihan konduktor yang optimal untuk jaringan distribusi radial dengan mempertimbangkan pertumbuhan beban atau adanya variasi beban sebagai suatu faktor yang mempengaruhi proses penentuan ukuran konduktor yang akan digunakan pada jaringan distribusi.

1.2 Rumusan Masalah

Salah satu cara mengoptimalkan penyaluran energi listrik ke konsumen adalah dengan memilih konduktor yang optimal untuk digunakan pada saluran distribusi, permasalahannya adalah:

1. Bagaimana cara menganalisis biaya investasi konduktor dan biaya rugi-rugi energi pada penyulang Pujon?
2. Bagaimana cara memperoleh tegangan yang sesuai pada setiap node?
3. Bagaimana cara mengurangi rugi-rugi saluran pada penyulang Pujon?

1.3 Tujuan Penelitian

Tujuan penelitian ini adalah untuk:.

1. Menganalisis biaya investasi konduktor dan biaya rugi-rugi energi pada penyulang Pujon.
2. Meningkatkan profil tegangan pada setiap node.
3. Mengurangi rugi-rugi saluran pada penyulang Pujon.

1.4 Batasan Masalah

Dalam pembahasan masalah ini agar tidak terlalu luas, maka diperlukan batasan masalah. Adapun batasan masalahnya adalah :

1. Saluran yang dibahas adalah saluran udara tegangan menengah 20 kV pada penyulang Pujon dari Gardu Induk Sengkaling.
2. Pemilihan konduktor yang dibahas konduktor udara telanjang jenis AAAC
3. Tidak membahas biaya investasi lain kecuali biaya investasi konduktor dan biaya rugi-rugi energi pada penyulang Pujon.

4. Tidak membahas secara detail metode *Newton Raphson*.
5. Sistem distribusi diasumsikan dalam kondisi normal dengan faktor daya sebesar 0,85 dan rugi – rugi pada trafo diabaikan.
6. Besarnya beban pada masing-masing fasa diasumsikan seimbang.
7. Konduktor yang dipilih optimal dalam jangka waktu 5 tahun
8. Proses simulasi dan analisis menggunakan *software* MATLAB versi 7.0.4.

1.5 Metodologi Pembahasan

Metodologi yang dipakai dalam pembahasan skripsi ini dilakukan dengan langkah-langkah sebagai berikut :

1. Studi kepustakaan mengenai hal-hal yang berhubungan dengan pembahasan masalah skripsi ini.
2. Studi lapangan untuk mendapatkan data parameter yang diperlukan dari obyek penelitian pada saluran distribusi primer penyulang pujan yang diperlukan dengan berpedoman pada teori yang diperoleh dari studi kepustakaan.
3. Membuat evaluasi sehingga dapat disimpulkan hasil analisis yang diperoleh.

1.6 Sistematika Penulisan

Sistematika pembahasan dalam skripsi ini disusun sebagai berikut :

Bab I : Pendahuluan

Menguraikan latar belakang, tujuan penelitian, rumusan masalah, batasan masalah, metodologi, sistematika penulisan.

Bab II : Sistem Distribusi Tenaga listrik

Menguraikan pembahasan sistem distribusi tenaga listrik secara umum.

Bab III : Analisis Pemilihan Konduktor Pada Saluran Distribusi Tipe Radial Dengan Mempertimbangkan Pertumbuhan Beban

Menguraikan teori dasar metode aliran daya *Newton Raphson* dan teori analisis pemilihan konduktor yang optimal pada saluran distribusi tipe radial dengan mempertimbangkan pertumbuhan beban.

Bab IV : Hasil Dan Analisa

Berisikan tentang data inputan, hasil dan analisa pemilihan konduktor yang optimal pada saluran distribusi radial di penyulang pujan dengan mempertimbangkan pertumbuhan beban.

Bab V : Kesimpulan

Berisikan kesimpulan hasil analisis pemilihan konduktor yang optimal untuk penyulang pujan.

1.7 Kontribusi

Skripsi ini diharapkan dapat memberikan alternatif terbaik dalam analisis pemilihan konduktor yang optimal dengan menggunakan sebuah algoritma yang sederhana sehingga dapat memberikan manfaat dalam perencanaan sistem distribusi tenaga listrik.

BAB II

SISTEM DISTRIBUSI TENAGA LISTRIK

2.1 Sistem Tenaga listrik^[1]

Sistem tenaga listrik merupakan suatu sistem terpadu yang terbentuk oleh hubungan-hubungan peralatan dan komponen-komponen listrik. Sistem tenaga listrik ini mempunyai peranan utama dalam menyalurkan kebutuhan energi listrik ke konsumen yang dibangkitkan oleh generator.

Secara garis besar suatu sistem tenaga listrik dapat dikelompokkan menjadi 3 bagian sub sistem yaitu:

1. Sistem pembangkitan

Sistem pembangkitan berperan sebagai sumber daya tenaga listrik atau disebut juga sebagai prodaktor energi.

2. Sistem transmisi atau penyalur

Sistem transmisi berfungsi sebagai penyalur daya listrik secara besar-besaran dari pembangkit ke bagian sistem distribusi.

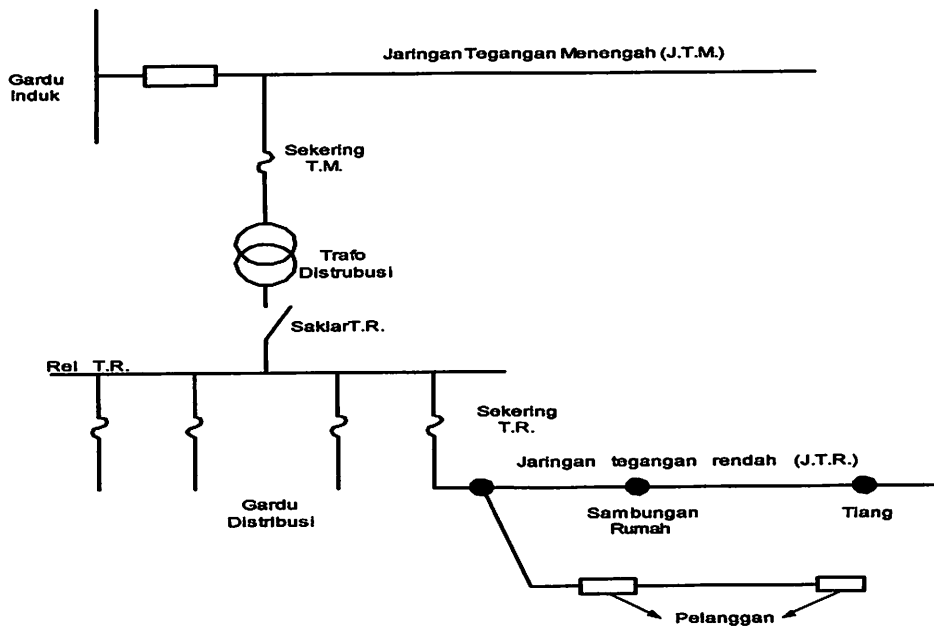
3. Sistem distribusi dan beban

Sistem distribusi dan beban berfungsi sebagai distributor energi ke konsumen yang memerlukan energi tersebut.

2.2 Sistem Distribusi^[2]

Jaringan distribusi berada pada akhir sistem tenaga listrik, peranannya mendistribusikan tenaga listrik dari Gardu Induk (GI) ke konsumen melalui

Gardu Distribusi. Jaringan yang keluar dari GI biasanya disebut jaringan distribusi.



Gambar 2-1

Jaringan Distribusi Tegangan Menengah (JTM), Jaringan Tegangan Rendah (JTR) dan Sambungan Rumah Ke Pelanggan^[2]

Dalam pendistribusian tenaga listrik ke pelanggan, tegangan yang disalurkan berbeda – beda tergantung dari besar tegangan yang dibutuhkan. Untuk konsumen industri biasanya digunakan tegangan menengah 20 kV sedangkan untuk konsumen perumahan digunakan tegangan tegangan 220/380 Volt.

Dengan demikian maka sistem distribusi tenaga listrik dapat diklasifikasikan menjadi dua bagian sistem yaitu :

1. Sistem distribusi primer
2. Sistem distribusi sekunder

2.2.1 Sistem Distribusi Primer

Tingkat tegangan yang digunakan pada sistem distribusi primer adalah meliputi tegangan menengah 20 kV, oleh karena itu sistem distribusi ini sering disebut dengan sistem distribusi tegangan menengah.

2.2.2 Sistem Distribusi Sekunder

Tingkat tegangan yang digunakan pada sistem distribusi sekunder adalah tegangan rendah 220/380 Volt, oleh karena itu sistem distribusi ini sering disebut dengan distribusi tegangan rendah. Sistem jaringan yang digunakan untuk menyalurkan dan mendistribusikan tenaga listrik tersebut dapat menggunakan sistem satu fasa dengan dua kawat maupun sistem tiga fasa dengan empat kawat.

2.3 Pola Dasar Struktur Jaringan Tegangan Menengah^[1]

Secara umum dapat dikatakan ada tiga struktur jaringan yang umum digunakan untuk menyalurkan dan mendistribusikan tenaga listrik yaitu:

1. Sistem distribusi primer Tipe radial
2. Sistem distribusi primer Tipe *loop*
3. Sistem distribusi primer Tipe *mesh/grid*

2.3.1 Sistem Jaringan Distribusi Tipe Radial^[1]

Sistem jaringan distribusi tipe radial merupakan struktur dasar dari jaringan distribusi dan mempunyai bentuk yang paling sederhana dan banyak digunakan di Indonesia. Cara penyaluran tenaga listrik sistem radial ditunjukkan pada gambar 2-2 yaitu dengan direntangkan secara radial dari gardu induk ke beban, selanjutnya disalurkan melalui percabangan–percabangan yang akan

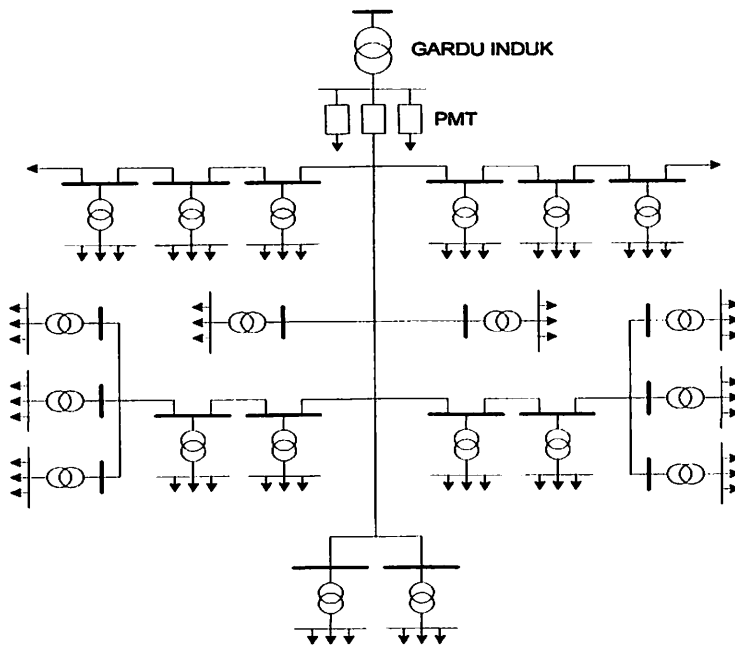
melayani beban yang ada. Sistem radial ini mempunyai beberapa keuntungan dan kerugian.

Keuntungan jaringan distribusi radial adalah:

1. Biaya investasi yang paling murah bila dibandingkan dengan sistem yang lainnya.
2. Bentuknya lebih sederhana dibandingkan dengan bentuk yang lainnya.

Kerugian jaringan distribusi tipe radial adalah:

1. Kualitas pelayanannya kurang baik karena rugi-rugi daya yang terjadi pada saluran relatif besar
2. Kontinuitas pelayanan daya tidak terjamin karena antara sumber dan beban hanya ada satu saluran sehingga apabila terjadi gangguan maka semua dari sistem akan mengalami pemadaman total.

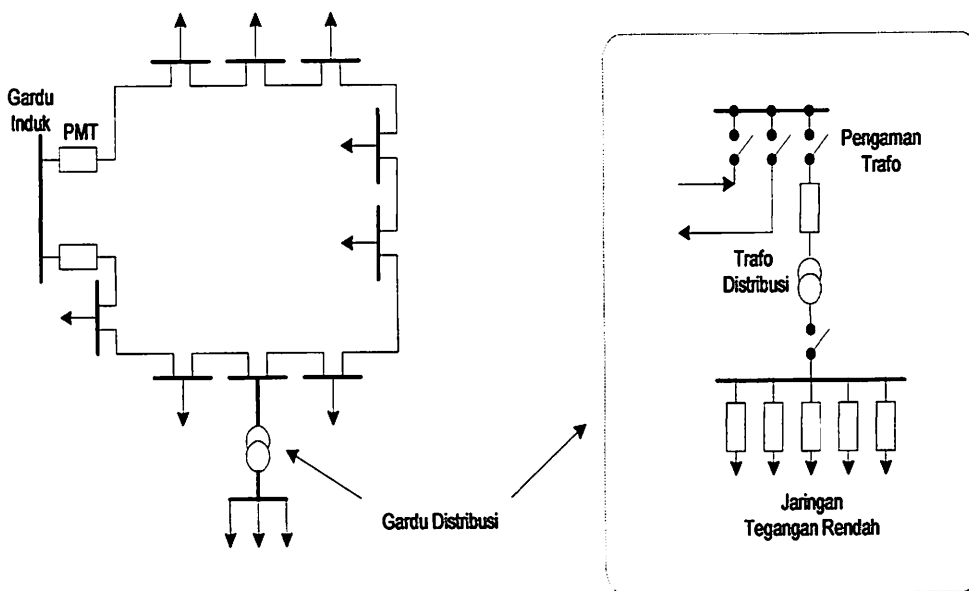


Gambar 2 – 2

Sistem Distribusi Primer Tipe Radial^[1]

2.3.2 Sistem Jaringan Distribusi Tipe *Loop*^[1]

Sistem distribusi jenis loop pada gambar 2-3 merupakan gabungan dari dua struktur jaringan radial, dimana pada ujung kedua jaringan dipasang sebuah pemutus (PMT/CB) atau pemisah (PMS/DS). Pada saat terjadi gangguan dapat diisolir dengan cara pemutus atau pemisah ditutup sehingga aliran daya listrik yang tidak terkena gangguan tetap bekerja. Pada kondisi normal, struktur jaringan loop ini merupakan dua struktur jaringan radial. Struktur jaringan ini mempunyai keandalan yang cukup baik, sehingga biaya pembangunannya lebih mahal dibandingkan dengan biaya pembangunan struktur radial.

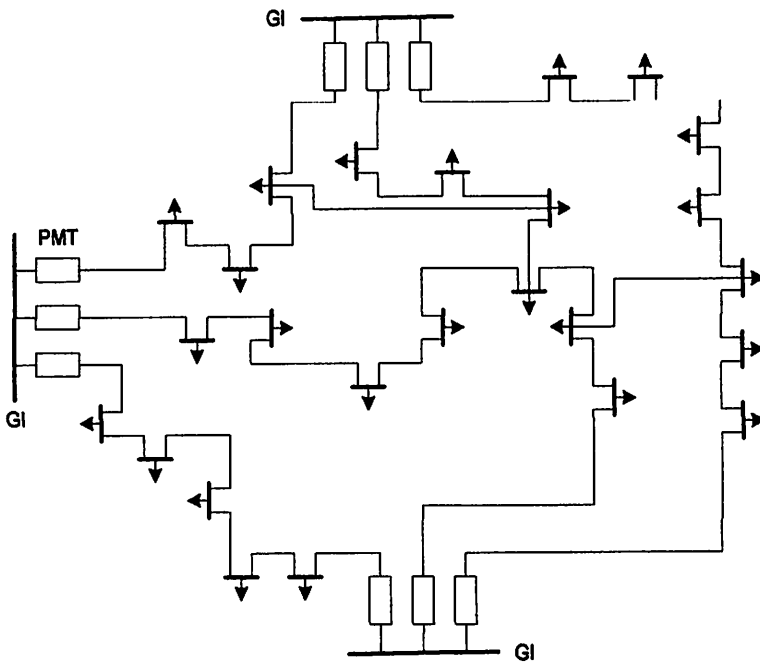


Gambar 2-3
Sistem Jaringan Distribusi Tipe *Loop*^[1]

2.3.3 Sistem Jaringan Distribusi Tipe *Mesh/Grid*^[1]

Sistem distribusi jenis *mesh/grid* merupakan salah satu sistem interkoneksi dari beberapa penyulang yang disuplai dari sejumlah gardu induk. Penyulang ini

bias dilayani dari beberapa gardu induk secara langsung. Sistem ini bisa menyuplai beban dari beberapa arah. Umumnya rugi – rugi yang ditimbulkan relative lebih rendah jika dibandingkan dengan sistem radial. Keandalan dan kualitas pelayanan sangat tinggi jika dibandingkan sistem radial dan sistem *loop*. Walaupun demikian, sangat sulit untuk mendisain dan mengoperasikan sistem ini jika dibandingkan dengan sitem radial dan sistem loop. Sistem jaringan distribusi tipe *mesh/grid* ditunjukkan pada gambar 2-4.



Gambar 2-4

Sistem Jaringan Distribusi Tipe *Mesh/Grid*¹¹

2.4 Konstruksi Jaringan Distribusi

Jaringan sistem distribusi primer mendapat daya dari gardu induk, dimana cara penyaluran tenaga listrik pada distribusi primer dapat berupa saluran udara

dan saluran bawah tanah yang bergantung pada sejumlah faktor yang sangat berlainan.

1. Sistem Saluran Udara (*Over Head*)

Saluran udara berfungsi menyalurkan daya listrik melalui kawat penghantar yang dipasang pada tiang listrik. Suhu kerja yang diinginkan pada saluran udara tergantung dari batas kerugian kekuatan akibat pelembekan (*Ancalling*) Arus maksimum yang direncanakan untuk suatu beban untuk setiap saluran udara yang tidak menimbulkan pemanasan. Beberapa keuntungan saluran udara:

- Lebih praktis dan mudah dalam pengerjaannya
- Investasi pembangunan saluran udara jauh lebih murah
- Sangat fleksibel terhadap perubahan beban dan jaring-jaring
- Bila terjadi gangguan, pencariannya mudah karena semuanya terlihat secara langsung.

2. Sistem Saluran Bawah Tanah. (*Under ground*)

Di kota-kota besar pendistribusian tenaga listrik dengan menggunakan sistem saluran udara jarang digunakan dengan alasan keamanan dan estetika. Saluran distribusi dengan menggunakan kabel bawah tanah mempunyai beberapa keuntungan dibandingkan dengan sistem distribusi saluran udara antara lain:

- Sistem kabel bawah tanah tidak dipengaruhi oleh cuaca seperti hujan, badai, salju dan sebagainya. Pada saluran udara dipengaruhi oleh kondisi-kondisi diatas yang dapat berakibat terputusnya pelayanan tenaga listrik.
- Kabel bawah tanah tidak terganggu oleh binatang seperti burung yang berakibat putusnya konduktor karena benda yang jatuh diatasnya, begitu

juga dengan petir. Sebaliknya gangguan tersebut dapat terjadi pada saluran udara.

- Pada daerah dengan kepadatan yang sangat tinggi, saluran udara kurang aman dan sangat potensial untuk mengakibatkan kecelakaan.
- Berkaitan dengan biaya, karena kemungkinan gangguan pada sistem kabel bawah tanah kecil, maka biaya perawatannya juga kecil, sebaliknya biaya perawatan untuk saluran udara besar karena kemungkinan gangguan besar.

Kerugian dari penggunaan kabel bawah tanah :

- Biaya untuk pengerjaan kabel bawah tanah adalah 2 kali sampai dengan 4 kali lebih besar jika dibandingkan dengan biaya pengerjaan sistem saluran udara.
- Walaupun jarang terjadi gangguan pada sistem kabel bawah tanah, akan tetapi sekali terjadi gangguan akan lebih sulit untuk menentukan lokasi dan perbaikannya.

2.4.1 Konduktor Pada Sistem Distribusi^[4]

Konduktor berfungsi sebagai media untuk menyalurkan tenaga listrik dari suatu tempat ketempat lain. Material yang digunakan untuk konduktor pada umumnya adalah tembaga, aluminium, atau campuran aluminium dengan logam lain, sedangkan baja hanya digunakan sebagai tulang kawat (penguat). Pemilihan konduktor ada beberapa hal yang perlu diperhatikan adalah:

- Memiliki rentang pembebanan yang ekonomis
- Memiliki kapasitas thermal yang cukup untuk menjaga keadaan beban yang tinggi.

- Optimal dalam biaya

Dalam menghitung tahanan konduktor dapat dilakukan dengan menggunakan persamaan:

$$R = \rho \frac{L}{A} \dots\dots\dots (2.1)$$

Dimana:

R = Tahanan konduktor (Ω)

L = Panjang Saluran (m)

A = Luas Penampang (mm^2)

ρ = Tahanan jenis penghantar ($\Omega - m$)

2.4.2 Jenis konduktor saluran udara Pada sistem distribusi primer

1. BCC (*Bare Copper Conductor*)

Bare copper conductor merupakan konduktor udara tembaga telanjang.

Konduktor ini diregangkan pada isolator diantara tiang-tiang yang khusus untuk sistem distribusi. Konstruksi konduktor udara tembaga telanjang ditunjukkan pada tabel 2-1.

Tabel 2-1
Konstruksi Konduktor Udara Tembaga Telanjang (BBC)^[8]

Luas Penampang Nominal (mm ²)	Luas Penampang Sebenarnya (mm ²)	Jumlah Kawat	Tahanan DC, 20°C maksimum (ohm/km)	Diameter Penghantar Nominal (mm)	Kapasitas arus maksimum (Amp)	Kuat Tarik Putus Penghantar (N)
6	6,16	1	1,8961	2,80	46	2428
10	10,02	7	1,2160	4,05	76	4049
16	15,89	7	1,0452	5,10	125	6421
25	24,25	7	0,5504	6,30	160	9698
35	34,36	7	0,3296	7,50	200	13545
50	48,36	19	0,2181	9,00	250	19281
95	93,27	19	0,1961	12,50	380	36767
110	103,35	19	0,1762	136,5	410	41444
120	117,10	19	0,1563	14,00	440	46121
150	147,10	37	0,1234	15,70	510	58649
185	181,60	37	0,1007	17,50	585	71587
240	242,50	61	0,0754	20,20	700	96685
300	299,43	61	0,0611	22,50	800	118023
400	400,10	61	0,0457	26,00	960	157719
500	499,10	61	0,0366	29,25	1110	194050

2. AAC (*All Aluminium Conductor*)

All Aluminium Conductor pada gambar 2-2 merupakan konduktor aluminium telanjang. Konduktor ini saluran udaranya diregangkan pada isolator diantara tiang-tiang yang khusus untuk sistem distribusi dan terdiri dari kawat yang dipilin.

Tabel 2-2
Konstruksi Konduktor Udara Aluminium Telanjang (AAC)^[8]

Luas Penampang Nominal (mm ²)	Luas Penampang Sebenarnya (mm ²)	Jumlah Kawat	Tahanan DC, 20°C maksimum (ohm/km)	Diameter Penghantar Nominal (mm)	Berat Penghantar Kira-kira (kg/km)	Kapasitas arus maksimum (Amp)
16	16,84	7	1,0200	5,25	46	110
25	27,83	7	0,7290	6,75	76	145
35	34,36	7	0,3232	7,50	94	180
50	45,70	19	0,2286	9,00	135	255
50	58,07	7	0,2286	8,75	126	255
70	75,55	19	0,2148	11,25	208	270
95	93,27	19	0,2033	12,50	257	340
110	99,30	19	0,2013	12,75	272	350
120	112,85	19	0,1949	13,75	310	390
150	157,12	37	0,1825	16,25	434	455
185	181,63	37	0,1587	17,50	501	520
240	242,54	61	0,1191	20,25	670	625
300	299,44	61	0,0965	22,50	8277	710
400	431,18	61	0,0670	27,00	1195	855
500	506,04	61	0,0288	29,25	1398	990

3. AAAC (*All Aluminium Alloy Conductor*)

All Aluminium Alloy Conductor merupakan udara telanjang yang terbuat dari aluminium campuran. Konduktor ini memiliki kekuatan mekanis yang lebih tinggi dibandingkan AAC dan dapat diregangkan pada isolator diantara tiang-tiang yang khusus untuk sistem distribusi. Konstruksi dari konduktor AAAC ini ditunjukkan pada tabel 2-3.

Tabel 2-3

Konstruksi Penghantar Udara Campuran Aluminium Teltanjang (AAAC)^[8]

Luas Penampang Nominal (mm ²)	Luas Penampang Sebenarnya (mm ²)	Jumlah Kawat	Tahanan DC, 20°C maksimum (ohm/km)	Diameter Penghantar Nominal (mm)	Berat Penghantar Kira-kira (kg/km)	Kapasitas arus maksimum (Amp)
16	16,84	7	0,9551	5,25	46	105
25	27,83	7	0,5832	6,75	76	135
35	34,36	7	0,2127	7,50	94	170
50	49,48	7	0,2079	9,00	135	210
50	45,70	19	0,2079	8,75	126	210
70	75,55	19	0,2039	11,25	208	210
95	93,27	19	0,2013	12,50	256	255
100	99,30	7	0,2009	12,75	272	325
110	106,07	19	0,1968	13,25	291	345
120	112,85	19	0,1943	13,75	310	365
150	157,60	19	0,1909	16,25	406	425
185	181,60	37	0,1832	17,50	501	490
240	242,50	61	0,1392	20,00	657	585
300	299,40	61	0,1114	22,50	827	670
400	431,10	91	0,0776	27,00	1191	810
500	506,00	61	0,0664	29,25	1398	930

2.5 Daya Sistem Distribusi^[1]

2.5.1 Daya Nyata (*Real Power*)

Daya nyata dinyatakan dalam persamaan:

$$P = |V| |I| \cos \varphi \dots\dots\dots (2.2)$$

Daya nyata untuk beban tiga fasa seimbang:

$$P = \sqrt{3} |V_{jala\ jala}| |I_{jala\ jala}| \cos \varphi \dots\dots\dots (2.3)$$

2.5.2 Daya Reaktif (*Reaktif Power*)

Daya reaktif dinyatakan dalam persamaan :

$$P = |V| |I| \sin \varphi \dots\dots\dots (2.4)$$

Daya reaktif untuk beban 3 fasa seimbang:

$$P = \sqrt{3} |V_{jala\ jala}| |I_{jala\ jala}| \sin \varphi \dots\dots\dots (2.5)$$

2.5.3 Daya Komplek (*Complex Power*)

Daya kompleks dinyatakan dalam persamaan

$$S = |V| |I| \dots\dots\dots (2.6)$$

Daya kompleks untuk beban 3 fasa seimbang:

$$S = \sqrt{3} |V_{jala\ jala}| |I_{jala\ jala}| \dots\dots\dots (2.7)$$

Apabila fasor tegangan dan arus diketahui, untuk perhitungan daya nyata dan daya reaktif akan lebih mudah dalam bentuk kompleks. Jika tegangan diantara kutub-kutub beban dan arus yang mengalir dalam beban dinyatakan dengan $V = |V| \angle \alpha$ dan $I = |I| \angle \beta$ maka hasil kali tegangan dengan konjugat arus adalah:

$$VI^* = |V| \angle \alpha \cdot |I| \angle -\beta \dots\dots\dots (2.8)$$

$$VI^* = |V| |I| \angle (\alpha - \beta) \dots\dots\dots (2.9)$$

Merupakan besarnya daya kompleks dan ditandai dengan S, dan dalam non polar dinyatakan sebagai:

$$S = |V| |I| \cos (\alpha - \beta) + j |V| |I| \sin (\alpha - \beta) \dots\dots\dots (3.10)$$

Karena $\alpha - \beta$ merupakan sudut fasa antara tegangan dan arus, atau lebih mudah dikatakan θ , maka sesuai dengan persamaan sebelumnya:

$$S = P + jQ \dots\dots\dots (3.11)$$

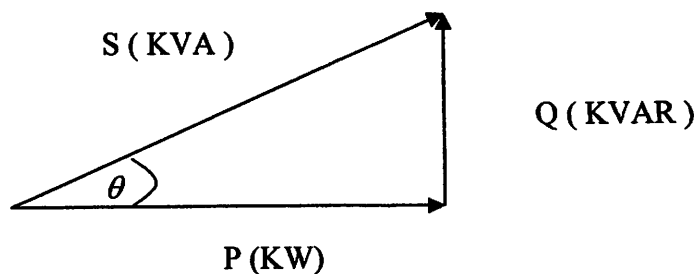
Daya reaktif Q apabila sudut $\alpha - \beta$ antara tegangan dan arus positif yaitu bila $\alpha > \beta$ yang berarti arus tertinggal dari tegangan. Sebaliknya daya reaktif Q akan bernilai negatif apabila $\alpha < \beta$ yang menunjukkan arus mendahului tegangan. Hal ini sesuai dengan pemilihan tanda positif untuk daya reaktif suatu rangkaian induktif dan tanda negatif untuk daya reaktif rangkaian kapasitif. Untuk mendapatkan tanda yang sesuai bagi Q perlu menghitung $S = VI^*$ dan bukan $S = V \cdot I$ yang akan membalik tanda Q.

2.5.4 Faktor Daya ($\cos \theta$)^[1]

Merupakan perbandingan antara daya aktif dengan daya semu, yang dinyatakan dalam persamaan :

$$\cos \theta = \frac{P}{S} \dots\dots\dots (2.8)$$

Pada gambar 2.4. berikut ini dapat dilihat hubungan antara daya aktif, daya reaktif dan daya semu serta faktor daya.



Gambar 2-5
Segitiga Daya ^[1]

Dari gambar 2-4. diatas dapat diketahui, bahwa besarnya daya yang berasal dari sumber listrik tidak seluruhnya sampai ke konsumen, akan tetapi dipengaruhi oleh faktor daya ($\cos \theta$) yang merupakan cosinus sudut antara daya nyata atau aktif (KW) dan daya semu (KVA).

Dengan membesarnya daya reaktif pada keadaan daya aktif konstan sudut antara arus dan tegangan akan bertambah besar pula, sehingga faktor daya akan mengecil. Memburuknya faktor daya akan mengakibatkan bertambahnya KVA .

2.6 Beban Sistem Distribusi^[1]

Secara garis besar beban pada sistem distribusi dapat diklasifikasikan menjadi tiga bagian, yaitu:

1. Beban Perumahan (Rumah Tangga)

Beban perumahan pada umumnya berupa penerangan, alat-alat rumah tangga

2. Beban Komersial

Beban komersial pada umumnya berupa penerangan, reklame dan lain-lain

3. Beban industri

Beban industri pada umumnya berskala besar.

2.7 Rugi-Rugi Daya Saluran Distribusi^[1]

Rugi daya adalah rugi daya yang hilang dalam penyaluran daya elektrik rugi daya terdiri dari rugi daya nyata dan reaktif. Rugi-rugi ini dapat terjadi pada komponen-komponen umum pada sistem tenaga listrik seperti:

1. Rugi pada penyulang utama dan peralatan saluran

2. Rugi pada trafo distribusi.

Proses penyaluran energi listrik ke pelanggan terjadi rugi-rugi teknis (*losses*), yaitu rugi daya dan rugi energi, dimulai dari pembangkit, transmisi dan distribusi. Rugi-rugi teknis adalah pada penghantar saluran, adanya tahanan dari penghantar yang dialiri arus maka akan timbul rugi-rugi teknis (I^2R) pada jaringan tersebut. Rugi-rugi teknis dari jaringan tenaga listrik tergantung dari macam-macam pembebanan pada saluran tersebut.

BAB III
ANALISIS PEMILIHAN KONDUKTOR YANG OPTIMAL
PADA SALURAN DISTRIBUSI TIPE RADIAL DENGAN
MEMPERTIMBANGKAN PERTUMBUHAN BEBAN

3.1 Konduktor

Konduktor adalah media untuk menyalurkan tenaga listrik dari suatu tempat ke tempat lain. Material yang digunakan untuk konduktor pada umumnya adalah tembaga, alumunium, atau campuran alumunium dengan logam lain, sedangkan baja hanya digunakan sebagai tulang kawat (penguat).

3.2 Kriteria Mutu Konduktor

Konduktor yang akan digunakan untuk menyalurkan tenaga listrik harus memenuhi kriteria mutu konduktor, diantaranya konduktivitas logam penghantar yang baik. Konduktivitas logam sangat dipengaruhi oleh uinsur-unsur pemadu, *impurity* atau ketidaksempurnaan dalam kristal logam, yang biasanya banyak berperan dalam proses pembuatan penghantar itu sendiri.

Konduktivitas listrik merupakan sifat daya hantar listrik suatu material yang menyatakan kemudahan-kemudahan suatu material untuk meneruskan arus listrik. Sifat konduktivitas listrik berkebalikan dengan resistivitas atau tahanan jenis penghantar yang dirumuskan dengan:

$$\sigma = \frac{1}{\rho} \dots\dots\dots (3.1)$$

Dimana,

a : Konduktivitas listrik penghantar

Sedangkan resistivitas atau tahanan jenis penghantar dirumuskan:

$$\rho = \frac{R \cdot A}{L} \dots\dots\dots (3.2)$$

Dimana:

ρ : Tahanan jenis penghantar ($\Omega \cdot m$)

R : Tahanan penghantar (Ω)

A : Luas penampang Penghantar (mm^2)

L : Panjang penghantar (m)

Unsur-unsur pemedu selain mempengaruhi konduktivitas listrik akan mempengaruhi sifat mekanika dan sifat fisika lainnya. Logam murni memiliki konduktivitas listrik yang lebih baik dari pada yang rendah kemurniannya, akan tetapi kekuatan mekanis logam murni adalah rendah.

Selain masalah teknis, penggunaan logam sebagai penghantar atau konduktor ternyata ditentukan oleh nilai ekonomis logam tersebut dimasyarakat, sehingga suatu kompromi antara nilai teknis dan ekonomis logam yang akan digunakan adalah mutlak diperhatikan. Nilai kompromi termurahlah yang akan menentukan logam mana yang akan digunakan sebagai penghantar atau konduktor.

Pada umumnya sistem penyaluran tenaga listrik diindonesia terutama saluran distribusi primer menggunakan sistem saluran udara dengan menggunakan konduktor telanjang. Beberapa jenis konduktor udara telanjang yang digunakan pada saluran distribusi primer adalah:

- Bare Copper Conductor (BCC)
- All Aluminium Conductor (AAC)
- All Aluminium Alloy Conductor (AAAC)

3.3 Analisis Aliran Daya Jaringan

Analisis aliran daya adalah analisis yang dilakukan untuk mengetahui kondisi sistem pada saat beroperasi, sehingga dari proses analisis ini diperoleh informasi untuk mengevaluasi performa sistem tenaga listrik dan sebagai analisis efektivitas dari rencana-rencana alternatif untuk pengembangan sistem pada saat terjadi peningkatan permintaan beban.

Tujuan dilakukannya analisis aliran daya adalah untuk mengetahui besarnya tegangan pada setiap node, sudut fasa, daya nyata dan daya reaktif. Semua hasil aliran daya tersebut dapat diketahui juga besarnya jatuh tegangan dan rugi-rugi pada sistem tenaga listrik.

3.3.1 Metode *Newton Raphson*

Secara matematis persamaan aliran daya *Newton Raphson* dapat diselesaikan dengan menggunakan koordinat rektanguler, koordinat polar atau bentuk *hibrid* (gabungan antara bentuk kompleks dengan bentuk polar).

Hubungan antara arus simpul I_p dengan tegangan simpul V_q pada suatu jaringan dengan n simpul dapat dituliskan :

$$I_p = \sum_{q=1}^n Y_{pq} V_{pq} \dots\dots\dots (3.3)$$

Injeksi daya pada simpul p adalah :

$$S_p = p_p - jQ_p = V_p^* \cdot I_p \dots\dots\dots (3.4)$$

$$= V_p^* \sum_{q=1}^n Y_{pq} V_{pq} \dots\dots\dots (3.5)$$

Persamaan aliran daya yang digunakan dalam metode *Newton Raphson* adalah bentuk polar, sehingga persamaan tegangan dalam bentuk polar adalah sebagai berikut:

$$\begin{aligned} V_p^* &= |V_p| e^{-j\delta_p} \\ V_q &= |V_q| e^{j\delta_q} \\ Y_{pq}^* &= |Y_{pq}| e^{-j\theta_{pq}} \dots\dots\dots (3.6) \end{aligned}$$

Maka persamaan (3.1) dapat ditulis :

$$p_p - jQ_p = \sum_{q=1}^n |V_p V_q Y_{pq}| e^{-j(\delta_p - \delta_q + \theta_{pq})} \dots\dots\dots (3.7)$$

Dengan memisahkan bagian riil dan bagian imajiner maka diperoleh :

$$p_p = \sum_{q=1}^n |V_p V_q Y_{pq}| \cos(\delta_p - \delta_q + \theta_{pq}) \dots\dots\dots (3.8)$$

$$Q_p = \sum_{q=1}^n |V_p V_q Y_{pq}| \sin(\delta_p - \delta_q + \theta_{pq}) \dots\dots\dots (3.9)$$

Kedua persamaan diatas akan menghasilkan suatu kumpulan persamaan serempak (simultan) yang tidak linier untuk setiap simpul sistem tenaga listrik. Untuk mengetahui magnitudo tegangan (V) dan sudut fasa tegangan (δ) di setiap simpul dapat diselesaikan dengan persamaan (3.8) dan (3.9) yang di linierkan dengan metode *Newton Rapson* yang dapat dilihat pada persamaan dibawah ini :

$$\begin{bmatrix} \Delta P \\ \Delta Q \end{bmatrix} = \begin{bmatrix} H & N \\ M & L \end{bmatrix} \begin{bmatrix} \Delta \delta \\ \Delta |V| \end{bmatrix} \dots\dots\dots (3.10)$$

Dimana :

ΔP = Selisih injeksi bersih daya nyata dengan penjumlahan aliran daya nyata tiap saluran yang menghubungkan simpul dengan V yang didapat dari perhitungan iterasi ke-k

ΔQ = Selisih injeksi bersih daya reaktif dngan penjumlahan aliran daya reaktif tiap saluran yang menghubungkan simpul dengan V yang didapat dari perhitungan iterasi ke-k

$\Delta \delta$ = Vektor koreksi sudut fasa tegangan

$\Delta |V|$ = Vektor koreksi magnitude tegangan

H,L,M,N merupakan elemen–elemen *off* diagonal dan diagonal dari sub matriks Jaqobian yang dibentuk dengan mendefinisikan persamaan (3.8) dan (3.9),

dimana :

$$H_{pq} = \frac{\partial P_p}{\partial \delta_q} \qquad N_{pq} = \frac{\partial P_p}{\partial |V_q|}$$

$$m_{pq} = \frac{\partial P_p}{\partial \delta_q} \qquad L_{pq} = \frac{\partial Q_p}{\partial |V_q|}$$

Adapun rumus dari elemen matriks jacobian adalah :

Untuk H :

$$\frac{\partial P_p}{\partial \delta_q} = |V_p V_q Y_{pq}| \sin (\delta p - \delta q + \theta_{pq}) \quad q \neq p$$

$$\frac{\partial P_p}{\partial \delta_q} = - \sum_{q=1}^n |V_p V_q Y_{pq}| \sin (\delta p - \delta q + \theta_{pq})$$

Untuk N :

$$\frac{\partial P_p}{\partial |V_q|} = |V_p Y_{pq}| \cos(\delta p - \delta q + \theta_{pq}) \quad q \neq p$$

$$\frac{\partial P_p}{\partial |V_p|} = 2 |V_p Y_{pp}| \cos \theta_{pp} + \sum_{q=1}^n |V_p Y_{pq}| (\delta p - \delta q + \theta_{pq})$$

Untuk M :

$$\frac{\partial Q_p}{\partial \delta_q} = - |V_p V_q Y_{pq}| \cos(\delta p - \delta q + \theta_{pq}) \quad q \neq p$$

$$\frac{\partial Q_p}{\partial \delta_p} = - \sum_{q=1}^n |V_p V_q Y_{pq}| \cos(\delta p - \delta q + \theta_{pq})$$

Untuk L :

$$\frac{\partial Q_p}{\partial |V_q|} = |V_p Y_{pq}| \sin(\delta p - \delta q + \theta_{pq}) \quad q \neq p$$

$$\frac{\partial P_p}{\partial |V_p|} = 2 |V_p Y_{pp}| \sin \theta_{pp} + \sum_{q=1}^n |V_p Y_{pq}| \sin(\delta p - \delta q + \theta_{pq})$$

Untuk menghitung selisih daya, langkah pertama adalah dengan menentukan nilai awal tegangan simpul dan sudut fasanya. Kemudian daya nyata dan daya reaktif dihitung dengan menggunakan persamaan (3.8) dan (3.9). Selisih antara daya yang telah ditentukan dengan daya hasil perhitungan ini merupakan perubahan daya yang terjadi pada simpul.

$$\Delta P = P_{\text{pembangkitan}} - P_{\text{beban}} - P_{\text{perhitungan}} \dots \dots \dots (3.11)$$

$$\Delta Q = Q_{\text{pembangkitan}} - Q_{\text{beban}} - Q_{\text{perhitungan}} \dots \dots \dots (3.12)$$

Magnitude tegangan (V) dan sudut fasa (δ) yang diasumsikan serta selisih daya yang dihitung (ΔP dan ΔQ) digunakan untuk memperoleh elemen-elemen matriks jacobian.

Persamaan (3.7) diselesaikan untuk menghitung vektor koreksi magnitude $\Delta(|V|)$ dan sudut fasa tegangan ($\Delta\delta$) yang baru. Sehingga diperoleh harga magnitude tegangan dan sudut fasa yang baru, yaitu :

$$|V|^{k+1} = |V|^k + \Delta |V|^k$$

$$\delta^{k+1} = \delta^k + \Delta\delta^k$$

Proses perhitungan akan berulang sampai selisih daya nyata dan daya reaktif antara yang dijadwalkan dengan yang dihitung, yaitu (ΔP dan ΔQ) untuk semua simpul mendekati nilai toleransi atau proses perhitungan iterasi mencapai konvergen.

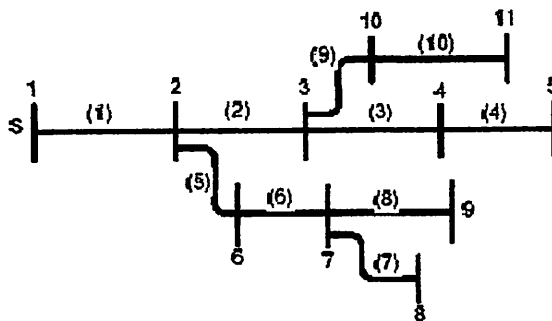
3.3.2 Algoritma Aliran Daya *Newton Raphson*

1. Tentukan $P_{p(\text{ditetapkan})}$ dan $Q_{p(\text{ditetapkan})}$ yang mengalir kedalam sistem pada rel untuk nilai yang ditentukan atau prakiraan dari besar dan sudut tegangan untuk iterasi pertama atau tegangan yang ditentukan paling akhir untuk itrasi berikutnya.
2. Hitung ΔP dan ΔQ pada setiap rel.
3. Hitung nilai nilai matrik jacobian dengan menggunakan nilai-nilai perkiraan atau ditentukan dari besar dan sudut tegangan dalam persamaan untuk turunan parsial yang ditentukan dengan differensial persamaan (3.8) dan (3.9).

4. Balikan jacobian itu dan hitung koreksi-koreksi tegangan $\Delta \delta_p$ dan $\Delta |V_p|$ pada setiap rel.
5. Hitung nilai baru dari δ_p dan $\Delta |V_p|$ dengan menambahkan $\Delta \delta_p$ dan $\Delta |V_p|$ pada nilai sebelumnya.
6. Kembali kelangkah pertama dan ulangi proses itu dengan menggunakan nilai untuk besar dan sudut tegangan yang ditentukan paling akhir sehingga semua nilai ΔP dan ΔQ atau semua nilai $\Delta \delta$ dan $\Delta |V|$ lebih kecil dari suatu indeks ketetapan yang telah dipilih.

3.4 Penomoran Node dan Saluran

Prosedur penomoran node dan saluran yang digunakan dijelaskan pada gambar 3-1:



Gambar 3-1
Sebuah Feeder Jaringan Distribusi Radial Sederhana

Langkah-langkah penomoran node dijelaskan dibawah ini:

1. Node-node pada *feeder* utama (*feeder* yang berawal dari Gardu induk node (1), sebagaimana terlihat pada gambar 3-1. Node-node ini dinomori 1, 2, 3, 4, 5 dan (1), (2), (3), (4) adalah nomor saluran. Penomoran node dan saluran dimulai dari gardu induk yang ditandai dengan node nomor 1.
2. Node-node pada *feeder* utama selain dari gardu induk disebut Lateral. Pada gambar 2, node 2 mempunyai sebuah lateral. Kemudian nomor node dan saluran diawali dari akhir node (node 2) dari lateral 6, 7 dan 8. Ini adalah nomor-nomor node dari lateral pertama dari gardu induk dan (5), (6) dan (7) adalah nomor saluran.
3. Lateral yang ditetapkan mempunyai sub lateral, hal itu terlihat pada node 7 yang memiliki sub lateral. Nomor untuk node sub lateral bermula dari 7 sebagaimana 9 dan nomor saluran adalah (8).
4. Ulangi langkah 2 dan 3 dan node-node serta saluran dinomori secara berurutan.

3.5 Pemilihan Konduktor Yang Optimal Dengan Mempertimbangkan Pertumbuhan Beban

3.5.1 Fungsi Objektif⁷¹

Tujuan pemilihan konduktor dalam skripsi ini adalah untuk meminimalkan biaya investasi konduktor akan tetapi dengan tidak mengabaikan kualitas pelayanan teknis yang harus dipenuhi. Oleh karena itu, fungsi objektif dinyatakan

sebagai fungsi biaya investasi konduktor dan biaya rugi-rugi. Secara matematis dapat ditulis:

$$Z = \sum_{j=1}^{ns} L_j \times C(Con_j) + \sum_{i=1}^N P_{Loss,j} \times C_E \times P_w^i \times 8760 \times LSF_i \dots\dots\dots (3.10)$$

Dimana:

- n_s = Jumlah saluran
- L_j = Panjang saluran (km)
- $C(Con_j)$ = Biaya konduktor saluran (Rp/km)
- N = Umur saluran (Tahun)
- $P_{Loss,j}$ = Rugi daya nyata (kW)
- C_E = Biaya energi (Rp/kWh)
- P_w^i = Present worth factor
- LSF_i = Faktor rugi-rugi

Pada saat dilakukan perhitungan biaya dengan persamaan (3.10), pertumbuhan beban juga diperhitungkan:

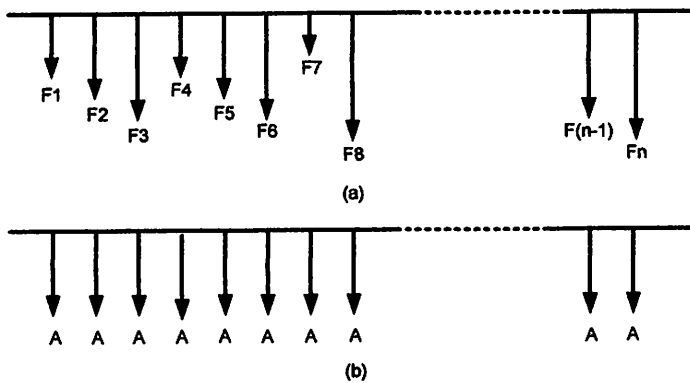
$$Beban_i = \begin{cases} load \times (1+r)^i & i = 1,2,\dots,M \\ load \times (1+r)^M & M = M+1,\dots,N \end{cases} \dots\dots\dots (3.11)$$

Dimana:

- $Beban_i$: Beban pada tahun ke- i
- r : Tingkat pertumbuhan beban pertahun
- M : Periode perencanaan *feeder* untuk dapat memenuhi permintaan beban.

3.5.1.1 Present Worth Factor^[6]

Pada umumnya biaya rugi dari energi dan *demand*, biaya operasi (*Operation*) dan pemeliharaan (*Maintenance*) dari tahun ke tahun berbeda seperti terlihat pada gambar 3-2, dimana F1, F2 dan seterusnya merupakan biaya pengeluaran setiap tahunnya.



Gambar 3-2

(a) Aliran Biaya Yang Tak Seragam (b) Aliran Biaya Yang Seragam^[1]

Sehingga untuk mengkordinasi nilai masa yang akan datang (F1, F2, ..., Fn) ke dalam nilai masa sekarang maka digunakan *Present worth factor*.

Present worth factor adalah jumlah uang yang harus dikeluarkan pada waktu yang akan datang yang dirubah kedalam sejumlah uang yang harus dibayarkan sekarang dengan menghitungnya pada saat ini, dapat ditulis:

$$P_w = \frac{1 + Intr}{1 + Infr} \dots\dots\dots (3.12)$$

Dimana:

P_w = Present worth factor

Intr : Tingkat Suku bunga rata-rata (%)

Infr : Tingkat inflasi rata-rata (%)

3.5.1.2 Tingkat Suku Bunga (*Interest Rate*)^[11]

Tingkat suku bunga (*interest rate*) adalah harga pembayaran pinjaman dari si peminjam atas uang yang digunakannya, yang besarnya pengembalian pada pemberi pinjaman berbeda dengan uang yang dipinjamnya. Tingkat suku bunga biasanya dinyatakan sebagai sebuah persentase dalam periode satu tahun.

Tingkat suku bunga juga merupakan perangkat utama dari kebijakan moneter dan digunakan untuk mengendalikan variable-variabel seperti investasi, inflasi dan pengangguran.

3.5.1.3 Tingkat Inflasi (*Inflation Rate*)^[11]

Tingkat inflasi (*Inflation Rate*) adalah tingkat peningkatan rata-rata level harga (suatu ukuran inflasi). Dengan analogi, ukuran suatu balon seperti ukuran harga, dimana *inflation rate* adalah seberapa cepat tingkat pertumbuhannya. Sebagai alternative, *inflation rate* adalah tingkat penurunan daya beli uang.

Jika P_1 adalah rata-rata tingkatan harga sekarang dan P_0 adalah tingkatan harga pada tahun yang lalu, tingkat inflasi sepanjang tahun bisa diukur sebagai berikut:

$$\text{inflation rate} = (P_1 - P_0)/P_0, \text{ jika dalam persen (x 100\%)}$$

3.5.1.4 Faktor Rugi-rugi (*Loss Factor*)^[11]

Faktor rugi-rugi (*Loss factor*) adalah nilai perbandingan antara rugi daya rata-rata dengan rugi daya pada beban puncak, selama periode waktu tertentu.

Secara matematis dapat ditulis:

$$\text{Faktor Rugi} = Fr = \frac{\text{Rugi Daya Rata-rata}}{\text{Rugi Daya Puncak}} \dots\dots\dots (3.13)$$

3.5.2 Batasan-batasan Dalam Pemilihan Konduktor^[7]

Sehubungan dengan meminimalisasi biaya investasi, terdapat berbagai kendala atau syarat batas sebagai berikut :

3.5.2.1 Jatuh Tegangan

Sesuai dengan definisi, jatuh tegangan adalah:

$$\Delta V = V_s - V_r$$

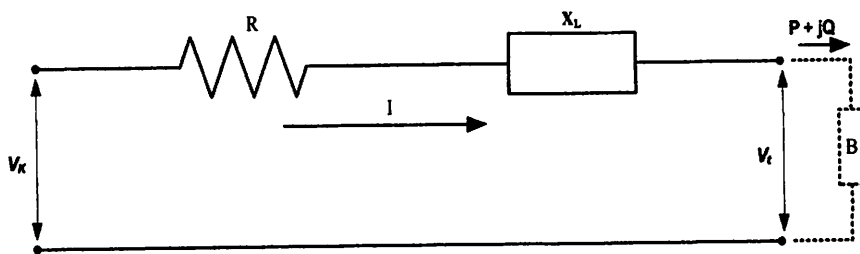
dimana:

ΔV = Jatuh tegangan pada saluran

V_s = Tegangan ujung kirim

V_r = Tegangan ujung terima

Untuk saluran distribusi tegangan menengah (panjang kurang dari 50 km), kapasitansinya dapat diabaikan sehingga rangkaian ekuivalen terdiri dari tahanan dan reaktansi yang tersambung seri seperti terlihat pada gambar 3-2.



Gamnbar 3-3

Rangkaian Ekuivalen Saluran Distribusi

Pada pemilihan konduktor dalam skripsi ini jatuh tegangan pada setiap node pada *feeder* harus kurang dari nilai maksimum yang diizinkan :

$$|\Delta V(i)| \leq \Delta V \quad \text{Untuk semua node(3.13)}$$

3.5.2.2 Kuat Hantar Arus

Arus yang mengalir melalui saluran j dengan tipe konduktor yang ditentukan (Con_j) harus kurang dari kuat hantar maksimum yang diizinkan dari konduktor Con_j :

$$|I(j)| \leq I_{\max}(Con_j) \quad \text{Untuk semua node} \dots\dots\dots(3.14)$$

Dimana arus yang mengalir pada saluran j adalah:

$$I(j) = \frac{P \cdot 10^3}{\sqrt{3} \cdot pf} \dots\dots\dots(3-15)$$

BAB IV

HASIL DAN ANALISA

4.1 Program Komputer Pemilihan Konduktor

Penyelesaian masalah pemilihan konduktor yang optimal ini menggunakan sebuah *software* atau program komputer dalam proses perhitungan yang membutuhkan ketelitian dan keakuratan.

Software yang digunakan untuk analisis data pada skripsi ini adalah software MATLAB 7.0 yang diaplikasikan pada komputer dengan processor Intel Pentium D 2,66 GHz, dengan memori RAM 256 Mb.

4.1.1 Algoritma Program Pemecahan Masalah Secara Umum

1. Memasukkan inputan data beban yang meliputi tegangan dasar (V), sudut fasa tegangan (δ), daya aktif (P), daya reaktif (Q), data impedansi saluran dan data konduktor
2. Lakukan proses *load flow Newton Raphson*.
3. Kemudian Mengecek apakah ada pelanggaran tegangan
 - Jika, Ya lanjutkan kelangkah 4
 - Jika, Tidak langsung kelangkah 5
4. Melakukan proses *Evolutionary Programming*
5. Cetak hasil

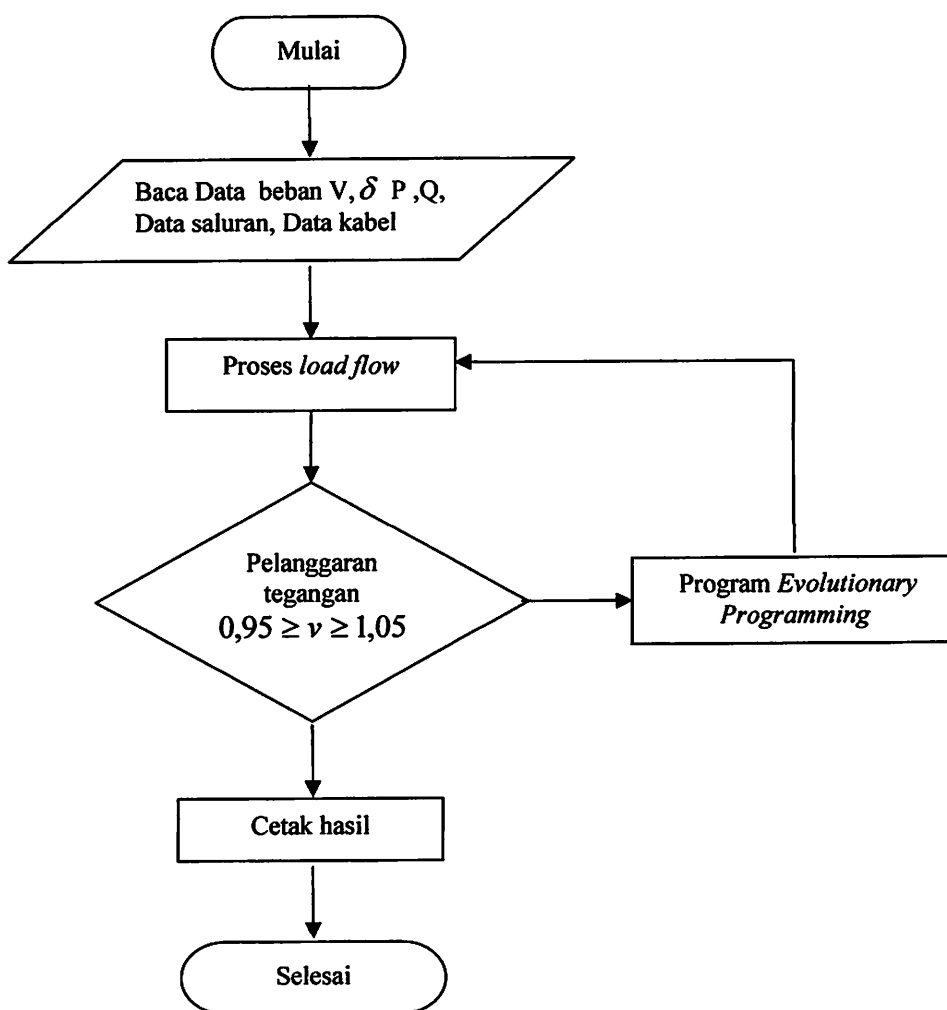
4.1.2 Algoritma Program Pemecahan Masalah Pemilihan Konduktor Yang Optimal di Penyulang Pujon

Langkah-langkah yang diperlukan untuk pemilihan konduktor yang optimal pada penyulang pujon adalah sebagai berikut:

1. Mulai.
2. Baca data
3. Tentukan jenis konduktor didasarkan pada resistansinya per Km dari yang tinggi sampai yang rendah (1 sampai dengan N_c).
4. Set tipe konduktor untuk semua saluran dengan konduktor konduktor ke- n (N_c). ($Con(section) = N_c$ untuk semua section)
5. Gunakan langkah 3-1 sampai 3-7 untuk semua tipe konduktor
 - 3-1 : Asumsikan bahwa tipe konduktor dari $section = Con(section) - 1$, sementara dan jalankan aliran daya untuk menghitung jatuh tegangan pada masing-masing node dan arus yang mengalir pada tiap section dengan level beban pada tahun M .
 - 3-2 : Jika batasan jatuh tegangan dan kapasitas arus yang mengalir dilanggar, maka jangan terima asumsi yang dilakukan pada langkah 3-1 dan lanjutkan pada langkah 4.
 - 3-3 : Hitung keuntungan marginal. Keuntungan marginal diperoleh dari perbedaan pada fungsi objektif dan setelah pengasumsian pada langkah 3-1. ($DIF = Z_{old} - Z_{new}$).
 - 3-4 : Jika ($DIF > 0$), ambil dan simpan asumsi tersebut dan hentikan perhitungan (Injutkan ke langkah 4).

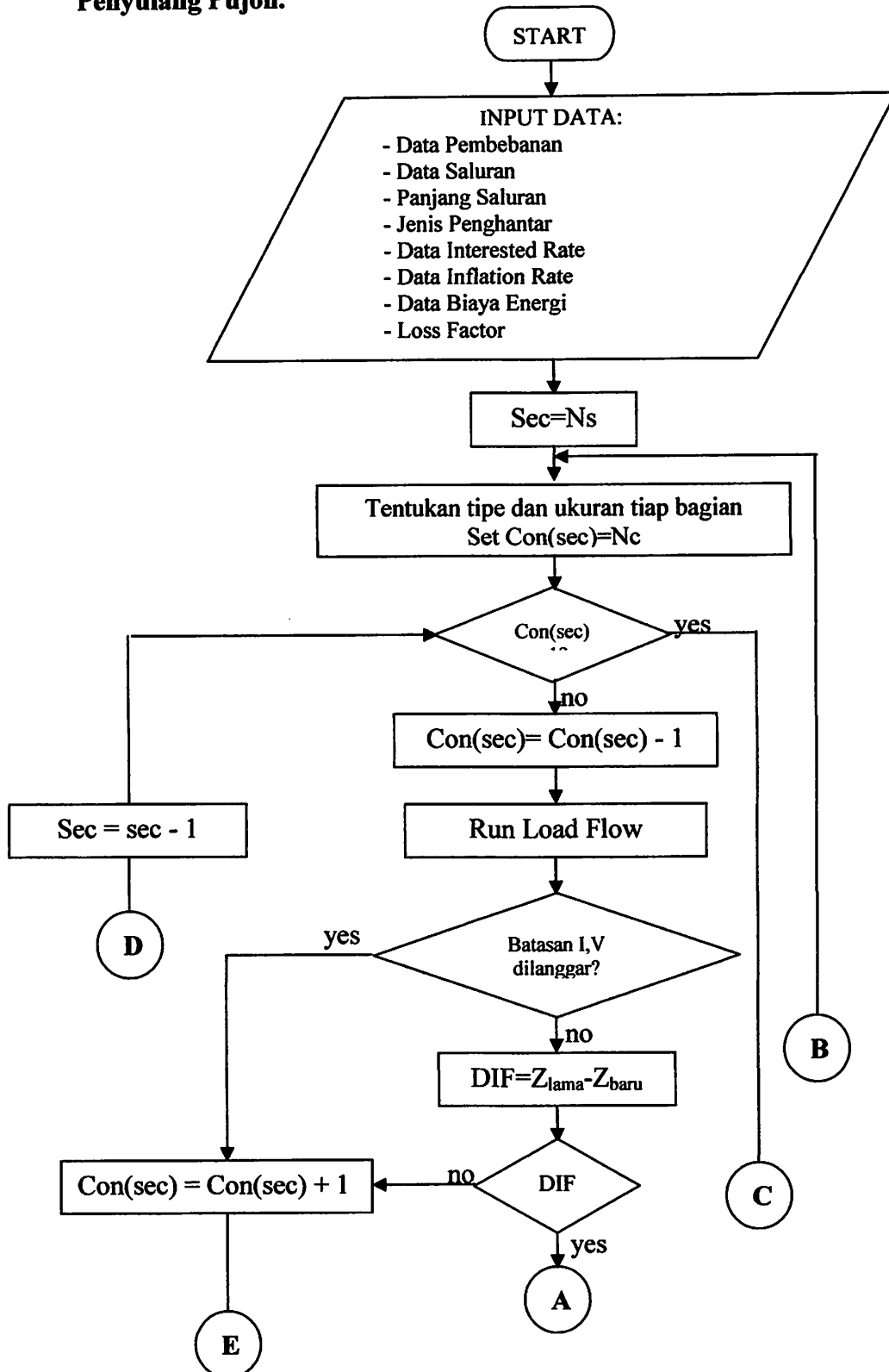
4. Set $section = section - 1$ dan lanjutkan ke langkah 3.
5. Ulangi langkah 3 dan 4 sampai tipe konduktor dari semua section tidak berubah dalam satu iterasi.
6. Tampilkan tipe konduktor terakhir untuk semua saluran ($section$).
7. Stop.

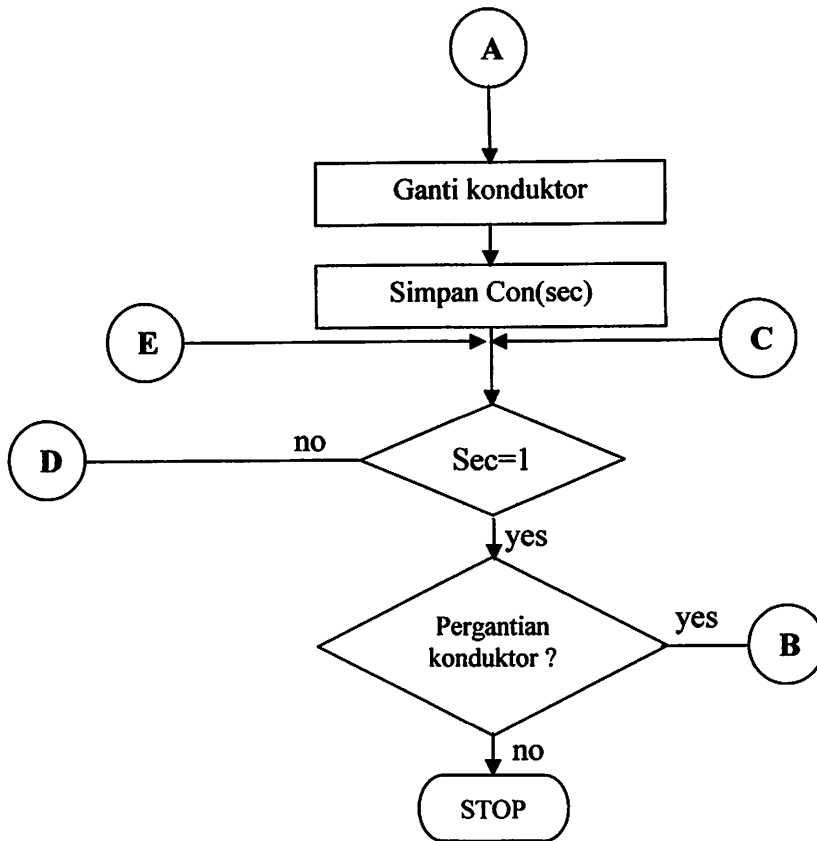
4.1.3 Flowchart Program Pemecahan Masalah Secara Umum



Gambar 4-1
Flowchart Pemecahan Masalah Secara Umum

4.1.4 Flowchart Program Pemilihan Konduktor Yang Optimal di Penyulang Pujon.





Gambar 4-2
Flowchart Pemilihan Konduktor

4.2 Data Perhitungan Penyulang Pujon

Data yang digunakan diperoleh dari UPJ Batu dan Sebagian dari Gardu Induk Sengkaling. Gardu Induk merupakan jaringan distribusi primer 20 kV yang memiliki 6 (enam) buah Penyulang, namun dalam skripsi ini hanya menganalisa satu penyulang saja, yaitu penyulang Pujon.

Untuk mempermudah perhitungan dan analisis pada sistem tenaga, semua data yang ada, terlebih dahulu diubah ke dalam satuan per unit, dengan nilai dasar yang digunakan adalah:

1. Tegangan Dasar = 20 kV

2. Daya Dasar = 30 MVA

Langkah pertama analisis pemilihan konduktor dilakukan dengan menetapkan terlebih dahulu *single line diagram* dari penyulang pujan, serta menetapkan *Busbar* yang ada di Gardu Induk (G.I) Sengkaling sebagai *Slack Bus*, dan *node-node* yang ada di sepanjang saluran radial dianggap sebagai *Load Bus*. Spesifikasi penyulang Pujon adalah sebagai berikut:

- *Slack Bus* = 1
- Jumlah *Bus* = 101
- Jumlah saluran = 100

4.2.1 Data Saluran Penyulang Pujon^[9]

Penyaluran tenaga listrik dari Gardu Induk Sengkaling sampai ke pelanggan pada Penyulang Pujon menggunakan jenis hantaran udara. Spesifikasi jenis konduktor yang digunakan adalah sebagai berikut:

Tabel 4-1
Data Konduktor Penyulang Pujon^[9]

Jenis Konduktor	Penampang Nominal (mm ²)	Impedansi Saluran Ω /km	Kapasitas Arus (Amp)
AAAC	35	0.2127 + j 0.3005	180
AAAC	50	0.2079 + j 0.2913	225
AAAC	70	0.2036 + j 0.2842	270
AAAC	110	0.1943 + j 0.2826	390
AAAC	150	0.1909 + j 0.2815	455

Tabel 4-2
Data Saluran Penyulang Pujon^[9]

Nomor Saluran	Dari Node	Ke Node	Panjang Saluran (m)	Impedansi Saluran (Z)	
				R (Ohm)	X (Ohm)
1	1	2	580,3	0,11078	0,16335
2	2	3	1432,6	0,27348	0,40328
3	3	4	863,9	0,16492	0,24319
4	4	5	683,3	0,13044	0,19235
5	5	6	82,8	0,01581	0,02331
6	6	7	1244,8	0,23763	0,35041
7	7	8	338	0,06567	0,09552
8	8	9	304,3	0,05809	0,08566
9	9	10	1257,4	0,24004	0,35396
10	10	11	868,2	0,16869	0,24535

Tabel 4-2, selengkapnya dapat dilihat pada lampiran

Tabel 4-3
Daftar Harga Konduktor AAAC^[5]

Jenis Konduktor	Penampang Nominal (mm ²)	Daftar harga Konduktor/m (Rp)	Daftar harga 3 Konduktor/m (Rp)
AAAC	35	3972	11.916
AAAC	50	4856	14.568
AAAC	70	6034	18.102
AAAC	110	8390	25.170
AAAC	150	10746	32.238

4.2.2 Data Pembebanan Penyulang Pujon^[9]

Data pembebanan diperoleh dengan mengambil data dari masing-masing trafo distribusi, dengan asumsi bahwa sistem berada pada kondisi normal dengan faktor daya sebesar 0,85 dan rugi-rugi yang terjadi pada trafo diabaikan. Jika besarnya pembebanan adalah nol, maka pada *node* tidak terdapat trafo distribusi tetapi hanya merupakan *node* penghubung. Adapun data pembebanan seperti pada tabel 4-4.

Tabel 4-4
Data Pembebanan Penyulang Pujon^[9]

No. Node	Kode Trafo	Lokasi	Kapasitas (kVA)	Pembebanan (%)	Beban (kVA)	Data Beban		Tipe Node
						P (kW)	Q (kVAR)	
1	-	-	0	0	0	0	0	Slack
2	T55	Jl. Raya Ngandat	150	30	45,00	38,250	23,705	Load
3	T43	Jl. Raya Mojorejo	160	71	113,60	96,560	59,843	Load
4	-	-	0	0	0	0	0	Load
5	T38	Jl. Raya Beji	75	70	52,50	44,625	27,656	Load

Tabel 4-4, selengkapnya dapat dilihat pada lampiran

4.3 Analisis Perhitungan

Analisis pemilihan konduktor yang optimal pada skripsi ini dilakukan dengan menetapkan:

- $M = 5$ Tahun;
- $Intr = 0,11$;
- $Infr = 0,15$;
- $r = 9 \%$;
- $LSF = 0,50$;
- Biaya Energi = 587 Rp/kWh;
- $\Delta V_{max} = 0,05$ pu

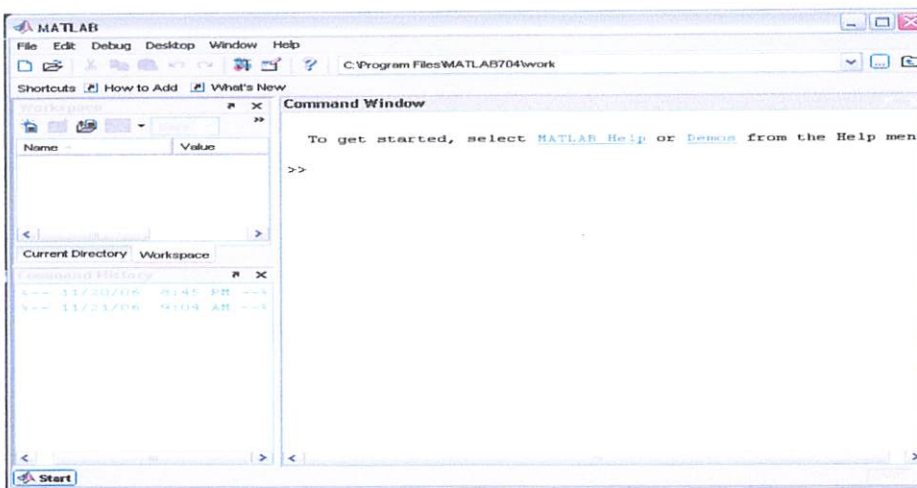
Kemudian program komputer untuk analisis pemilihan konduktor memulai proses perhitungan dengan melakukan analisis aliran daya menggunakan metode *Newton Rapshon* untuk mengetahui besarnya tegangan tiap *node*, sudut fasa, aliran daya nyata dan daya reaktif dan rugi-rugi saluran yang kemudian dilanjutkan pada proses pemilihan konduktor yang optimal.

4.4 Tampilan Program

Program yang digunakan untuk analisis perhitungan adalah program *Matlab* versi 7.0 yang diaplikasikan pada komputer berprosesor Intel Pentium D 2,66 GHz, dengan memori RAM 256 Mb.

Prosedur menjalankan program dan tampilannya adalah sebagai berikut:

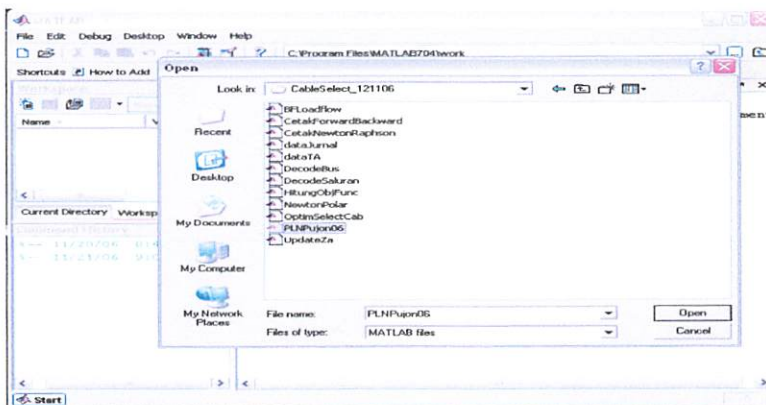
1. Klik icon  untuk masuk ke program *Matlab*



Gambar 4-3

Tampilan *Command Window* pada Software *Matlab*

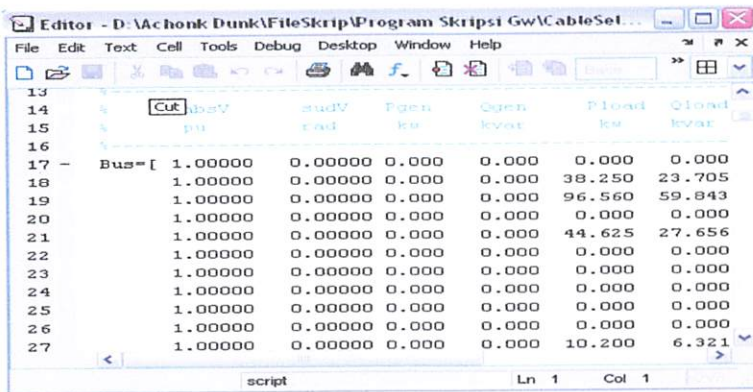
2. klik icon *open file*  untuk membuka *file* data yang tersimpan



Gambar 4-4

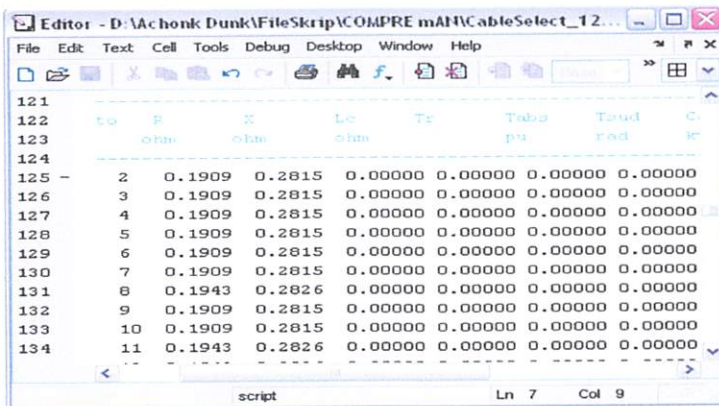
Tampilan *Box Dialog Open File*

3. Tampilan data Bus pada *software* Matlab



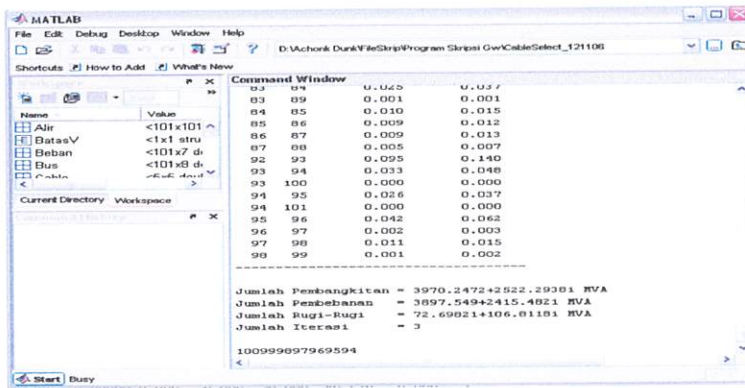
Gambar 4-5
Tampilan Matlab Editor

4. Tampilan data saluran pada *software* Matlab



Gambar 4-6
Tampilan Data Saluran Pada Matlab Editor

5. Jalankan program dengan menekan F5 dan hasilnya terlihat pada Command Window.



Gambar 4-7

Tampilan Command Window Pada Saat Menjalankan Program

4.5 Hasil Perhitungan

4.5.1 Konduktor Penyulang Pujon

Tabel 4-5 menunjukkan perbandingan ukuran konduktor yang terpasang pada penyulang Pujon dan konduktor yang dipilih melalui analisis optimasi.

Tabel 4-5

Perbandingan Konduktor Terpasang di Penyulang Pujon dan Hasil Optimasi

No. Sal	Dari Node	Ke Node	Tipe Konduktor AAAC	
			Terpasang	Optimasi
1	1	2	A3C 150	A3C 150
2	2	3	A3C 150	A3C 150
3	3	4	A3C 150	A3C 150
4	4	5	A3C 150	A3C 150
30	4	31	A3C 110	A3C 35
5	5	6	A3C 150	A3C 150
6	6	7	A3C 150	A3C 150
31	6	32	A3C 150	A3C 150
7	7	8	A3C 110	A3C 150
38	7	39	A3C 150	A3C 150

Tabel 4-5, selengkapnya dapat dilihat pada lampiran

Pada tabel 4-5 terlihat bahwa setelah dilakukan analisis pemilihan konduktor yang optimal terdapat perbedaan ukuran konduktor yang digunakan, yaitu pada saluran: 7, 10, 11, 17, 18, 19, 20, 21, 22, 24, 25, 26, 27, 28, 29, 30, 36, 37, 41, 44, 45, 47, 48, 49, 50, 51, 52, 53, 54, 55, 56, 57, 58, 67, 68, 69, 70, 71, 72, 73, 74, 75, 76, 79, 80, 81, 82, 85, 86, 87, 88, 89, 90, 91, 93, 94, 96, 97, 98, 99, 100.

4.5.2 Tegangan dan Sudut Fasa Tiap *Node* pada Penyulang Pujon

Salah satu penentu kualitas dari sistem tenaga listrik adalah besarnya tegangan dan sudut fasa pada setiap *node*-nya, dimana nilai tegangan dan sudut fasa tiap *node* yang terpasang pada penyulang Pujon dan hasil analisis optimasi di tunjukkan pada tabel 4-6 dan grafik 4-1.

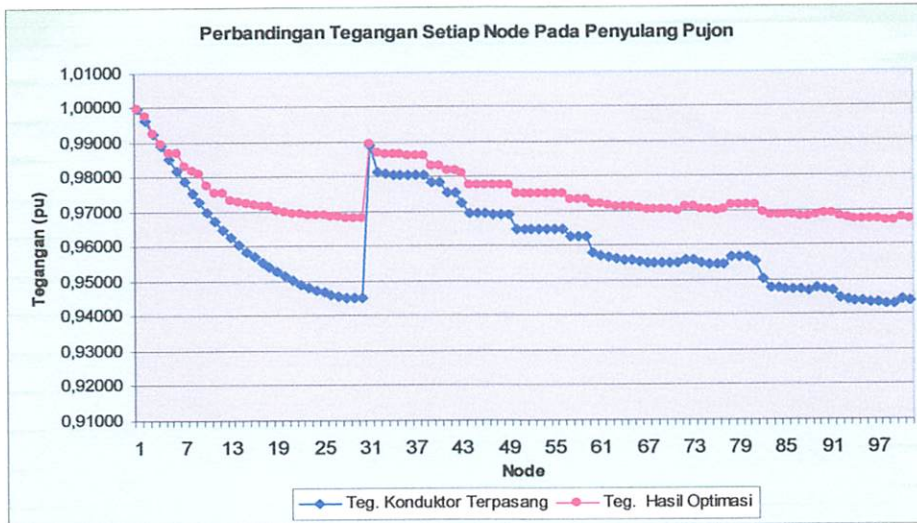
Tabel 4-6

Kondisi Tegangan dan Sudut Fasa Tiap *Node* Yang Terpasang di Penyulang Dan Proses Optimasi

Terpasang			Setelah Optimasi		
No. Node	Tegangan (pu)	sudut V (Deg)	No. Node	Tegangan (pu)	sudut V (Deg)
1	1,00000	0,00000	1	1,00000	0,00000
2	0,99627	-0,00092	2	0,99787	-0,00092
3	0,99258	-0,00320	3	0,99267	-0,00320
4	0,98897	-0,00455	4	0,98961	-0,00455
5	0,98541	-0,00562	5	0,98721	-0,00562
6	0,98188	-0,00574	6	0,98693	-0,00574
7	0,97875	-0,00745	7	0,98311	-0,00745
8	0,97570	-0,00790	8	0,98210	-0,00790
9	0,97279	-0,00829	9	0,98123	-0,00829
10	0,96993	-0,00988	10	0,97771	-0,00988

Tabel 4-6, Selengkapnya dapat dilihat pada lampiran

Grafik 4-1
Tegangan Setiap Node Dengan Yang Terpasang dan Setelah Proses Optimasi



Grafik 4-1 menunjukkan hasil perhitungan tegangan pada setiap *node* terdapat perbedaan antara kondisi yang terpasang dan hasil analisis optimasi, yaitu pada *node* terpasang tegangan minimum adalah 0,94325 pu dan setelah proses optimasi tegangan minimum adalah 0,96715 pu. Ini berarti nilai tegangan pada setiap *node* setelah proses optimasi masih dalam batas-batas yang diijinkan.

4.5.3 Aliran Daya Antar Saluran Penyulang Pujon

Besar aliran daya nyata dan daya reaktif antar saluran pada penyulang Pujonn ditunjukkan pada tabel 4-7.

Tabel 4-7**Besarnya Aliran Daya Antar Saluran Pada Penyulang Pujon**

Terpasang				Optimasi			
Node		Daya		Node		Daya	
Dari	Ke	P (MW)	Q (MVAR)	Dari	Ke	P (MW)	Q (MVAR)
1	2	4011,686	2582,762	1	2	3969,916	2522,193
2	3	3962,571	2543,037	2	3	3925,540	2489,454
3	4	3855,352	2467,475	3	4	3814,144	2407,733
4	5	3811,201	2431,436	4	5	3771,631	2374,110
4	31	34,001	21,072	4	31	34,000	21,071
5	6	3756,604	2389,075	5	6	3720,392	2336,701
6	7	3322,737	2111,592	6	7	3295,668	2072,700
6	32	424,126	263,119	6	32	423,942	262,847
7	8	3202,849	2030,721	7	8	3174,222	1989,532
7	39	112,215	69,557	7	39	112,201	69,536

Tabel 4-7, selengkapnya dapat dilihat pada lampiran

Pada tabel 4-7 aliran daya pada penyulang pujon setiap saluran setelah optimasi mengalami penurunan, hal ini disebabkan karena adanya perubahan konduktor yang digunakan pada saluran-saluran di penyulang Pujon.

4.5.4 Rugi Daya Tiap Saluran Penyulang Pujon

Besar rugi daya nyata dan rugi daya reaktif antar penyulang Pujon ditunjukkan pada tabel 4-8..

Tabel 4-8
Rugi-rugi Daya Tiap Saluran Penyulang Pujon

Terpasang				Setelah Optimasi			
Node		Daya		Node		Daya	
Dari	Ke	P loss (kW)	Q loss (kVAR)	Dari	Ke	P loss (kW)	Q loss (kVAR)
1	2	10,864	16,020	1	2	6,127	9,034
2	3	10,660	15,719	2	3	14,836	21,877
3	4	10,150	14,966	3	4	8,512	12,552
4	5	9,972	14,705	4	5	6,614	9,752
4	31	0,001	0,001	4	31	0,000	0,000
5	6	9,741	14,364	5	6	0,783	1,154
6	7	7,673	11,314	6	7	9,245	13,632
6	32	0,123	0,182	6	32	0,019	0,028
7	8	7,293	10,607	7	8	2,342	3,454
7	39	0,009	0,013	7	39	0,001	0,001

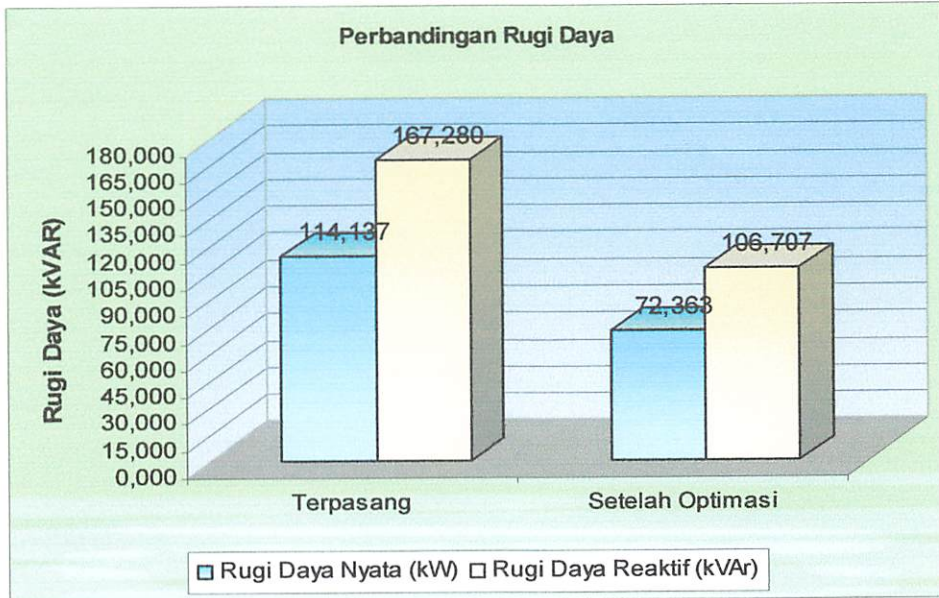
Tabel 4-8, selengkapnya dapat dilihat pada lampiran

Tabel 4-9
Perbandingan Total Rugi Daya, Pembebanan dan Pembangkitan

	Konduktor Terpasang	Analisis Optimasi
Jumlah Node	101	101
Jumlah Pembangkitan	4011.6856 + j2582.762	3969.9159 + j2522.1926
Jumlah Pembebanan	3897.549 + j2415.482	3897.549 + j2415.482
Jumlah Rugi-rugi	114.1366 + j167.28	72.36689 + j106.7106
Iterasi	3	3

Grafik 4-2

Perbandingan Rugi Daya Saluran Yang Terpasang dan Perhitungan Optimasi Pada Penyulang Pujon



Grafik 4-2 memperlihatkan adanya penurunan rugi daya, untuk rugi daya nyata pada saluran yang terpasang pada penyulang pujan adalah sebesar 114,1366 kW dan setelah analisis optimasi rugi daya nyata mengalami penurunan menjadi 72,36689 kW, ini berarti rugi daya nyata menurun sebesar 41,76971 kW, sedangkan rugi daya reaktif sebesar 167,2800 kVAR, setelah analisis optimasi mengalami penurunan menjadi 106,7106 kVAR dan itu berarti rugi daya reaktif menurun sebesar 60,5694 kVAR.

4.5.5 Biaya investasi Konduktor

Tabel 4-10

Rekapitulasi Biaya Investasi Konduktor Yang Terpasang di Penyulang Pujon

Dari Node	Ke Node	Panjang Saluran (m)	Tipe Konduktor	Harga Konduktor (Rp/m)	Biaya Konduktor
1	2	580,3	A3C 150	32.238	18.707.711,40
2	3	1432,6	A3C 150	32.238	46.184.158,80
3	4	863,9	A3C 150	32.238	27.850.408,20
4	5	683,3	A3C 150	32.238	22.028.225,40
4	31	85,4	A3C 110	25.170	2.149.518,00
5	6	82,8	A3C 150	32.238	2.669.306,40

Tabel 4-9, Selengkapnya dapat dilihat lihat pada lampiran

Tabel 4-11

Rekapitulasi Biaya Investasi Konduktor Hasil Analisis Optimasi

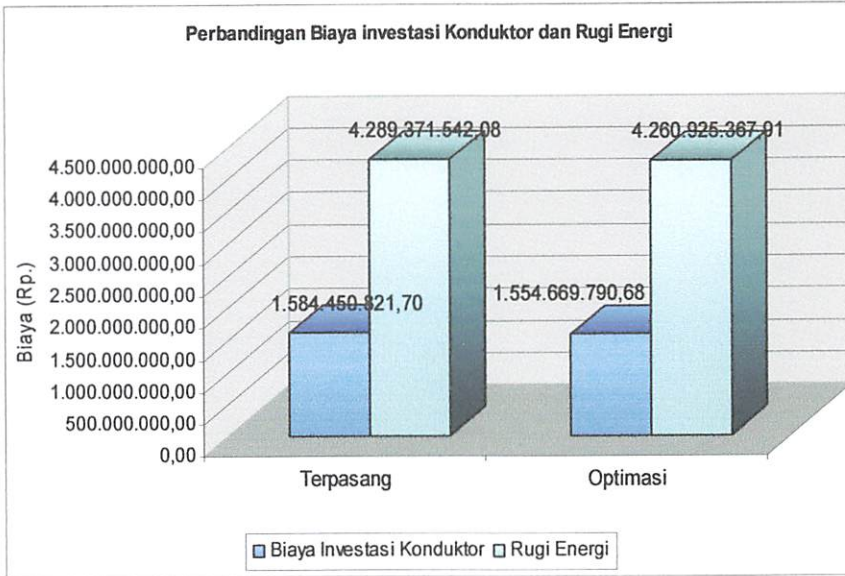
Dari Node	Ke Node	Panjang Saluran (m)	Tipe Konduktor	Harga Konduktor (Rp/m)	Biaya Konduktor
1	2	580,3	A3C 150	32.238	18.707.711,40
2	3	1432,6	A3C 150	32.238	46.184.158,80
3	4	863,9	A3C 150	32.238	27.850.408,20
4	5	683,3	A3C 150	32.238	22.028.225,40
4	31	85,4	A3C 35	11.916	1.017.626,40
5	6	82,8	A3C 150	32.238	2.669.306,40

Tabel 4-12, Selengkapnya dapat dilihat lihat pada lampiran

Berdasarkan pada tabel 4-9 dan tabel 4-10 dapat diketahui bahwa biaya investasi konduktor yang terpasang untuk penyulang Pujon adalah sebesar Rp. 1.584.450.821,70 dan setelah optimasi sebesar Rp. 1.554.669.790,68. Berdasarkan pada persamaan Fungsi tujuan dapat diketahui bahwa biaya rugi-rugi energi dari konduktor yang terpasang dan setelah analisis optimasi adalah sebesar Rp. 4.289.371.542,0786 dan Rp. 4.260.925.367,9070.

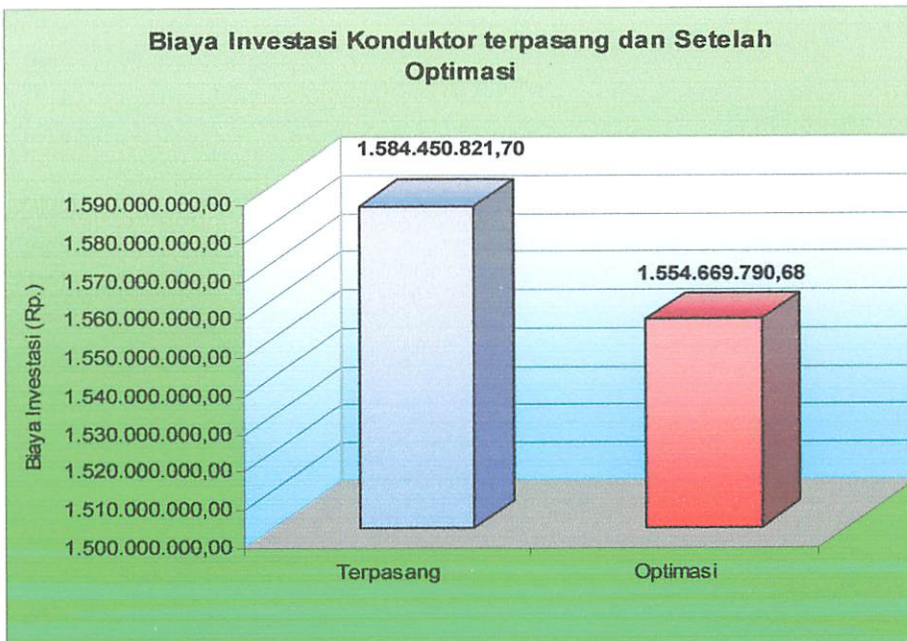
Grafik 4-3

**Perbandingan Biaya Investasi Konduktor Dan Biaya Rugi-rugi Energi
Penyulang Pujon**



Grafik 4-4

**Perbandingan Total Biaya Investasi Konduktor dan Rugi-rugi Energi
Konduktor Yang Terpasang dan Hasil Analisis Optimasi**



Perbedaan penggunaan konduktor pada beberapa saluran di penyulang Pujon menyebabkan biaya investasi konduktor dan biaya rugi-rugi energi juga mengalami perubahan, berdasarkan hasil analisis program untuk biaya investasi konduktor dan rugi-rugi energi pada konduktor yang terpasang dan hasil analisis optimasi adalah sebesar Rp. 5.873.822.363,7786 dan Rp. 5.815.595.158,587. Ini berarti bahwa setelah dilakukan analisis pemilihan konduktor yang optimal terdapat penghematan pada biaya investasi konduktor dan rugi-rugi energi yaitu sebesar Rp. 58,227,205.1916,-.

BAB V

KESIMPULAN

5.1. Kesimpulan

Setelah dilakukan analisis pemilihan konduktor yang optimal pada saluran distribusi tipe radial dipenyulang Pujon dengan mempertimbangkan pertumbuhan beban dapat diambil kesimpulan sebagai berikut :

1. Berdasarkan hasil analisis pemilihan konduktor yang optimal pada saluran distribusi tipe radial di penyulang pujon dengan mempertimbangkan pertumbuhan beban diperoleh, biaya investasi konduktor yang terpasang dan hasil analisis optimasi adalah sebesar Rp. 1.584.450.821,70 dan Rp. 1.554.669.790,68, dan besarnya rugi-rugi energi pada konduktor yang terpasang di penyulang pujon dan setelah proses optimasi adalah sebesar Rp. 4.289.371.542,0786 dan Rp. 4.260.925.367,9070. Ini berarti bahwa setelah dilakukan optimasi pemilihan konduktor biaya investasi konduktor dan biaya rugi-rugi energi mengalami penurunan.
2. Rugi-rugi daya yang terjadi mengalami penurunan yaitu untuk rugi daya nyata konduktor terpasang sebesar 114,1366 kW dan setelah proses optimasi rugi daya nyata menjadi 72,36689 kW, ini berarti rugi daya nyata menurun sebesar 41,76971 kW, sedangkan rugi daya reaktif konduktor terpasang sebesar 167,2800 kVAR, setelah analisis optimasi menjadi 106,7106 kVAR dan itu berarti rugi daya reaktif menurun sebesar 60,5694 kVAR.

3. Berdasarkan hasil perhitungan program komputer tingkat tegangan setiap node di penyulang Pujon, pada konduktor yang terpasang tegangan terendah adalah 0,94325 pu dan setelah proses optimasi terendah adalah 0,96715 pu, hal ini menunjukkan bahwa tingkat tegangan pada setiap node masih mengalami peningkatan dan berada dalam batas-batas yang diijinkan yaitu antara -5 % sampai +5 % dari tegangan nominal 20 kV.

DAFTAR PUSTAKA

- [1]. Hasan Basri “ Sistem Distribusi Tenaga Listrik”.
- [2]. Djiteng Marsudji “ Operasi Sistem Tenaga listrik Listrik”, Balai Penerbit Dan Humas ISTN 1990
- [3]. William D. Stevenson JR, “Analisa Sistem Tenaga”, Edisi keempat, Erlangga 1994, Jakarta.
- [4]. UDIKLAT PANDAAN, ”Penyambungan Dan Terminasi Kabel Tanah Tegangan Menengah”.
- [5]. Agus Hariyanto, “Optimasi Pemilihan Luas Penampang Konduktor AAAC Pada Saluran Distribusi Primer 20 kV Penyulang Pujon Menggunakan Metode Evolutionary Programing “, ITN Malang, 2005
- [6]. G. J. Anders, and et al, “Para meters affecting economic selection of cable size” IEEE Transaction on Power Delivery, vol. 8, pp. 1661-1667, October 1993.
- [7]. H. Falaghi, M. Ramezani, M.-R. Hagifam and K. Roshan Milani, “Optimal Selection Of Conductor in Radial Distribution Systems With Time Varying Load”, 18th International Conference On Electricity Distribution, Turin, 2005.
- [8]. UDIKLAT PANDAAN, ”Teknologi Jaringan Distribusi”.
- [9]. Data PT.PLN (Persero) Distribusi Jawa Timur Area Malang UP-J Batu.
- [10]. Program Komputer MATLAB versi 7.0
- [11]. www.wikipedia.org

LAMPIRAN



PERMOHONAN PERSETUJUAN SKRIPSI

Yang betanda tangan dibawah ini :

Nama : *DIDIN SUPRIYADI*
 NIM : *01.12.124*
 Semester :
 Fakultas : *Teknologi Industri*
 Jurusan : *Teknik Elektro S-1*
 Konsentrasi : *Teknik Energi Listrik*
 Alamat :

Dengan ini kami mengajukan permohonan untuk mendapatkan persetujuan untuk membuat **SKRIPSI Tingkat Sarjana**. Untuk melengkapi permohonan tersebut, bersama kami lampirkan persyaratan-persyaratan yang harus dipenuhi.

Adapun persyaratan-persyaratan pengambilan **SKRIPSI** adalah sebagai berikut :

1. Telah melaksanakan semua praktikum sesuai dengan konsentrasinya (.....)
2. Telah lulus dan menyerahkan Laporan Praktek Kerja (.....)
3. Telah lulus seluruh mata kuliah keahlian (MKB) sesuai konsentrasinya (.....)
4. Telah menempuh mata kuliah ≥ 134 sks dengan IPK ≥ 2 dan tidak ada nilai E (.....)
5. Telah mengikuti secara aktif kegiatan seminar skripsi yang diadakan Jurusan (.....)
6. Memenuhi persyaratan administrasi (.....)

Demikian permohonan ini untuk mendapatkan penyelesaian lebih lanjut dan atas perhatiannya kami ucapkan terima kasih.

Telah diteliti kebenaran data tersebut diatas
 Recording Teknik Elektro

[Signature]
 (.....)

Malang,200

Pemohon

[Signature]
 (DIDIN SUPRIYADI.....)

Disetujui
 Ketua Jurusan Teknik-Elektro

[Signature]
Ir. F. Yudi Limpraptono, MT
 NIP. Y. 1039500274

Mengetahui
 Dosen Wali

[Signature]
 (IR. CHOIRUL SALEH, MT.....)

Catatan :

Bagi mahasiswa yang telah memenuhi persyaratan mengambil SKRIPSI agar membuat proposal dan mendapat persetujuan dari Ketua Jurusan/Sekretaris Jurusan T. Elektro S-1

1. *LPE 4.25/3.15*.....
2. *133*.....
3. *-6 parat 1.24*.....



**LEMBAR PENGAJUAN JUDUL SKRIPSI
JURUSAN TEKNIK ELEKTRO S-1**

Konsentrasi : Teknik Energi Listrik/~~Teknik Elektronika~~ *)

1	Nama Mahasiswa : <i>DIDIA SUPRIYADI</i>	Nim : <i>01.12.124</i>
2	Waktu pengajuan	Tanggal : <i>13</i>
		Bulan : <i>04</i>
		Tahun : <i>2006</i>
3	Spesifikasi judul (berilah tanda silang)	
	<input checked="" type="checkbox"/> a. Sistem Tenaga Elektrik	<input type="checkbox"/> e. Elektronika & Komponen
	<input type="checkbox"/> b. Energi & Konversi Energi	<input type="checkbox"/> f. Elektronika Digital & Komputer
	<input type="checkbox"/> c. Tegangan Tinggi & Pengukuran	<input type="checkbox"/> g. Elektronika Komunikasi
	<input type="checkbox"/> d. Sistem Kendali Industri	<input type="checkbox"/> h. lainnya
4	Konsultasikan judul sesuai materi bidang ilmu kepada Dosen *) : <i>Dr. Teguh Herbanadi, MT</i>	Mengetahui, Ketua Jurusan. Ir. F. Yudi Limpraptono, MT Nip. Y. 1039500274
5	Judul yang diajukan mahasiswa :	<i>Analisis pemilihan konduktor yang optimal pada saluran distribusi tipe radial di penyulang pylon dengan mempertimbangkan pertumbuhan beban.</i>
6	Perubahan Judul yang disetujui Dosen sesuai materi bidang ilmu
7	Catatan :
	Persetujuan Judul Skripsi yang dikonsultasikan kepada Dosen materi bidang ilmu	Disetujui, <i>19-05-2006</i> Dosen

Perhatian :

1. Formulir Pengajuan ini harap dikembalikan kepada jurusan paling lambat satu minggu setelah disetujui kelompok dosen keahlian dengan dilampirkan proposal skripsi beserta persyaratan skripsi sesuai form S-1
2. Keterangan : *) coret yang tidak perlu
**) dilingkari a, b, c, atau g. sesuai bidang keahlian



INSTITUT TEKNOLOGI NASIONAL MALANG
FAKULTAS TEKNOLOGI INDUSTRI
JURUSAN TEKNIK ELEKTRO

Malang, 22 Mei 2005

Lampiran : 1 (Satu) Berkas
Perihal : **Kesediaan Sebagai
Dosen Pembimbing**

Kepada : Yth. Bapak/Ibu. Ir. H Taufik Hidayat, MT.
Dosen Jurusan Elektro S-1/ T.Energi Listrik
Institut Teknologi Nasional Malang
di-
Malang

Yang bertandatangan di bawah ini :

Nama : Didin Supriyadi
Nim : 01.12.124
Semester : X (Sepuluh)
Jurusan : TEKNIK ELEKTRO
Konsentrasi : ENERGI LISTRIK S-1

Dengan ini mengajukan permohonan, kiranya Bapak/Ibu bersedia menjadi Dosen Pembimbing Utama, untuk penyusunan Skripsi dengan judul :

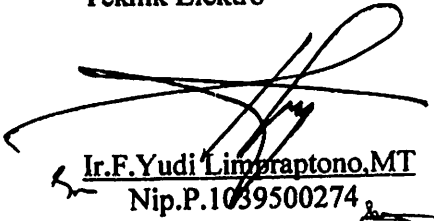
**ANALISIS PEMILIHAN KONDUKTOR YANG OPTIMAL PADA
SALURAN DISTRIBUSI TIPE RADIAL DI PENYULANG PUJON
DENGAN MEMPERTIMBANGKAN PERTUMBUHAN BEBAN**

Seperti proposal terlampir.

Adapun Tugas tersebut sebagai salah satu syarat untuk mendapatkan gelar Sjana Teknik pada jurusan Teknik Elektro.

Demikian permohonan kami, atas kesediaan Bapak / ibu kami ucapkan terimakasih.

Mengetahui,
Ketua Jurusan
Teknik Elektro


Ir. F. Yudi Limpraptono, MT
Nip. P. 1039500274

Malang, 22 Mei 2005

Pemohon,


Didin Supriyadi
Nim : 01.12.124

Form S-3a



INSTITUT TEKNOLOGI NASIONAL MALANG
FAKULTAS TEKNOLOGI INDUSTRI
JURUSAN TEKNIK ELEKTRO

PERNYATAAN KESEDIAAN SEBAGAI DOSEN PEMBIMBING SKRIPSI

Sesuai dengan Permohonan Mahasiswa :

Nama : Didin Supriyadi
Nim : 01.12.124
Semester : X (Sepuluh)
Jurusan : TEKNIK ELEKTRO
Konsentrasi : ENERGI LISTRIK S-1

Dengan ini menyatakan **bersedia** / ~~tidak bersedia~~ " menjadi Dosen Pembimbing Utama/Pendamping ", untuk penyusunan Skripsi Mahasiswa tersebut dengan judul :

ANALISIS PEMILIHAN KONDUKTOR YANG OPTIMAL PADA SALURAN DISTRIBUSI TIPE RADIAL DI PENYULANG PUJON DENGAN MEMPERTIMBANGKAN PERTUMBUHAN BEBAN

Demikian pernyataan ini kami buat untuk dapat dipergunakan sebagaimana mestinya.

Malang, Mei 2005
Yang Membuat Pernyataan,

Ir. H. Taufik Hidayat, MT.
Nip.Y. 101 8700 151

Catatan :

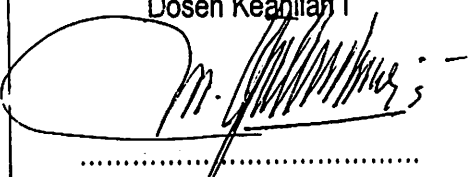
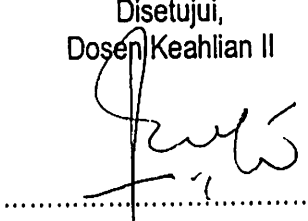
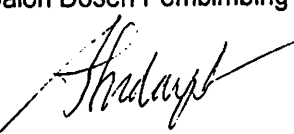
1. Setelah disetujui agar formulir ini diserahkan mahasiswa/I yang bersangkutan kepada jurusan untuk diproses lebih lanjut.
2. " Coret yang tidak perlu

Form. S - 3b



BERITA ACARA SEMINAR PROPOSAL SKRIPSI JURUSAN TEKNIK ELEKTRO S-1

Konsentrasi : Teknik Energi Listrik/Teknik Elektronika*)

1.	Nama Mahasiswa: <u>DIDIN SUPRIYADI</u>	Nim: <u>0112124</u>
2.	Keterangan	Tanggal
	Pelaksanaan	<u>23-6-2006</u>
Waktu		
Tempat		
Ruang:		
Spesifikasi Judul (berilah tanda silang)**)		
3.	<input checked="" type="checkbox"/> a. Sistem Tenaga Elektrik	<input type="checkbox"/> e. Elektronika & Komponen
	<input type="checkbox"/> b. Energi & Konversi Energi	<input type="checkbox"/> f. Elektronika Digital & Komputer
	<input type="checkbox"/> c. Tegangan Tinggi & Pengukuran	<input type="checkbox"/> g. Elektronika Komunikasi
	<input type="checkbox"/> d. Sistem Kendali Industri	<input type="checkbox"/> h. lainnya
4.	Judul Proposal yang diseminarkan Mahasiswa	<u>ANALISA PEMILIHAN KONDUKTOR YANG OPTIMAL PADA SALURAN DISTRIBUSI TIPE RADIAL DI PENYULANG RUYON DENGAN MEMPERTIMBANGKAN PERTUMBUHAN BEBAN</u>
5.	Perubahan Judul yang diusulkan oleh Kelompok Dosen Keahlian
6.	Catatan:	
Catatan:		
Persetujuan Judul Skripsi		
7.	Disetujui, Dosen Keahlian I	Disetujui, Dosen Keahlian II
		
Mengetahui, Ketua Jurusan		Disetujui, Calon Dosen Pembimbing ybs
		
<u>Ir. F. Yudi Limpraptono, MT</u> NIP. P. 1039500274	

Perhatian:

1. Keterangan: *) Coret yang tidak perlu
**) dilingkari a, b, c,atau g sesuai bidang keahlian

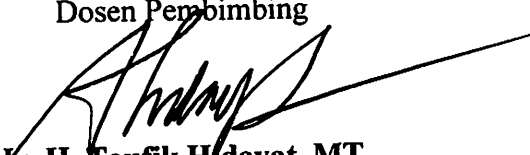


FORMULIR BIMBINGAN SKRIPSI

Nama : Didin Supriyadi
Nim : 01.12.124
Masa Bimbingan : 23 Juni 2006 s/d 23 Desember 2006
Judul Skripsi : Analisis Konduktor yang Optimal Pada Saluran Distribusi Tipe Radial di Penyulang Pujon Dengan Mempertimbangkan Pertumbuhan Beban

No.	Tanggal	Uraian	Paraf Pembimbing
1.	30-11-06	Pelajaran bab IV, lengkapi dengan data pendukung	Ah
2.	02-01-07	- Synchronkan antara kesimpulan di bagian	Ah
3.	16-01-07	Kesimpulan bab V, apakah yang benar, sbg diperoleh pengamatan	Ah
4.	26-01-07	mengapa nya : daya memurun, bulat Rms nya	Ah
5.	20-01-07	lengkapi bab III	Ah
6.	16-02-07	Tambahkan metode yang akan digunakan	Ah
7.	14-02-07	lengkapi bab II	Ah
8.	20-02-07	lengkapi data pertumbuhan beban dan tcr. 2001 - 2006	Ah
9.	24-02-07	lengkapi bab I	Ah
10.	05-03-07	Acce Summori	Ah

Malang,
Dosen Pembimbing


Ir. H. Taufik Hidayat, MT
Nip. Y. 101 8700 151

FORMULIR BIMBINGAN SKRIPSI

Nama : Didin Supriyadi
Nim : 01.12.124
Masa Bimbingan : 23 Desember 2006 s/d 23 Juni 2007
Judul Skripsi : Analisis Konduktor Yang Optimal Pada Saluran Distribusi Tipe Radial di Penyulang Pujon Dengan Mempertimbangkan Pertumbuhan Beban

No.	Tanggal	Uraian	Parap Pembimbing
1.			
2.			
3.			
4.			
5.			
6.			
7.			
8.			
9.			
10.			

Malang,
Dosen Pembimbing,

Ir. H. Taufik Hidayat, MT
Nip. Y. 101 8700 151



PERKUMPULAN PENGELOLA PENDIDIKAN UMUM DAN TEKNOLOGI NASIONAL MALANG
INSTITUT TEKNOLOGI NASIONAL MALANG

FAKULTAS TEKNOLOGI INDUSTRI
FAKULTAS TEKNIK SIPIL DAN PERENCANAAN
PROGRAM PASCASARJANA MAGISTER TEKNIK

(PERSERO) MALANG
K NIAGA MALANG

Kampus I : Jl. Bendungan Sigura-gura No. 2 Telp. (0341) 551431 (Hunting) Fax. (0341) 553015 Malang 65145
Kampus II : Jl. Raya Karanglo, Km 2 Telp. (0341) 417636 Fax. (0341) 417634 Malang

Malang, 29 Juli 2006

Nomor : ITN-1591/I.TA/2/'06
Lampiran :
Perihal : Bimbingan Skripsi

Kepada : Yth. Sdr. Ir. TAUFIK HIDAYAT, MT

Dosen Pembimbing
Jurusan Teknik Elektro S-1
di
Malang

Dengan hormat,
Sesuai dengan permohonan dan persetujuan dalam proposal skripsi
untuk mahasiswa:

Nama : DIDIN SUPRIYADI
Nim : 0112124
Fakultas : Teknologi Industri
Jurusan : Teknik Elektro S-1
Konsentrasi : Teknik Energi listrik

Maka dengan ini pembimbingan tersebut kami serahkan sepenuhnya
kepada Saudara/i selama masa waktu 6 (enam) bulan, terhitung mulai
tanggal:

23 Juni 2006 s/d 23 Des. 2006

Sebagai satu syarat untuk menempuh Ujian Sarjana Teknik,
Jurusan Teknik Elektro
Demikian atas perhatian dan kerjasamanya yang baik kami ucapkan
terima kasih



Ketua Jurusan
Teknik Elektro S-1,

Ir. F. Yudi Limpraptono, MT
NIP. V. 1039500274



PERKUMPULAN PENGELOLA PENDIDIKAN UMUM DAN TEKNOLOGI NASIONAL MALANG
INSTITUT TEKNOLOGI NASIONAL MALANG

FAKULTAS TEKNOLOGI INDUSTRI
FAKULTAS TEKNIK SIPIL DAN PERENCANAAN
PROGRAM PASCASARJANA MAGISTER TEKNIK

Kampus I : Jl. Bendungan Sigura-gura No. 2 Telp. (0341) 551431 (Hunting) Fax. (0341) 553015 Malang 65145
Kampus II : Jl. Raya Karanglo, Km 2 Telp. (0341) 417636 Fax. (0341) 417634 Malang

RSERO) MALANG
IAGA MALANG

Nomor : ITN-100/I.SKP/2/07
Lampiran : Satu Lembar
Perihal : **Bimbingan Skripsi**

Malang, 24 Februari 2007

Kepada : Yth. Sdr. **Ir. H. TAUFIK HIDAYAT, MT***)
Dosen Institut Teknologi Nasional Malang
Di - Malang

Dengan hormat
Sesuai dengan permohonan dan persetujuan dalam perpanjangan masa
bimbingan Skripsi yang telah dilakukan untuk Mahasiswa

Nama : DIDIN SUPRIYADI
Nim : 0112124
Fakultas : Teknologi Industri
Jurusan : Teknik Elektro
Konsentrasi : Teknik Energi Listrik S-1

Dengan ini pembimbingan Skripsi tersebut kami serahkan kembali sepenuhnya
kapada Saudara/I, selama waktu **6 (Enam) bulan** terhitung mulai tanggal:

23 Desember s/d 23 Juni 2007

Adapun tugas tersebut merupakan salah satu syarat untuk memperoleh gelar Sarjana
Teknik, Jurusan Teknik Elektro, apabila lewat dari batas waktu tsb, maka Skripsinya
di gugurkan demikian atas perhatian serta kerjasama yang baik kami ucapkan terima
kasih



Ketua Jurusan
Teknik Elektro S-1

Ir. F. Yudi Yulpraptono, MT
NIP. Y. 1039500274

Tembusan Kepada Yth:

1. Perpanjangan kontrak *)
2. Mahasiswa Yang Bersangkutan
3. Arsip

Form S-4a

PLN (PERSERO)

RIBUSI JAWA TIMUR

A PELAYANAN & JARINGAN MALANG



Certificate No.: QSC
00475

41 - 326034 (Hunting)

Facsimile : 0341 - 362046

r : 0919 /330/ APJ-MLG/ 2006
Sdr.No : ITN – 1763/III.TA/2/06
iran : -
al : Survey

Malang, 27 Juni 2006

Kepada
Fakultas Teknologi Industri
Institut Teknologi Nasional Malang
Jl. Raya Karanglo, Km 2
Di
MALANG

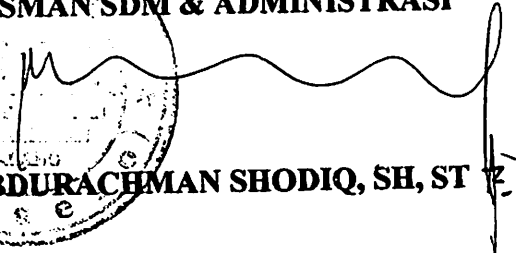
Dengan Hormat,
Menindak lanjuti surat Saudara nomor ITN – 1763/III.TA/2/06 tanggal 15 Juni 2006 perihal tersebut di atas, maka dengan ini kami beritahukan bahwa pada prinsipnya kami tidak keberatan / mengizinkan mahasiswa saudara atas nama :

DIDIN SUPRIYADI NIM : 01.12.124

Untuk melaksanakan Survey di PT. PLN (PERSERO) Area Pelayanan dan Jaringan Malang mulai tanggal 03 Juli 2006 sampai dengan 31 Juli 2006 dengan catatan PLN hanya memberikan data yang **TIDAK BERSIFAT RAHASIA**.

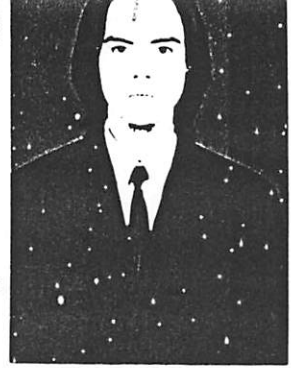
Sebelumnya diminta agar mahasiswa tersebut mengisi surat pernyataan, dilengkapi dengan pas photo ukuran 3 X 4 Cm di SDM & Administrasi PT. PLN (Persero) Area Pelayanan dan Jaringan Malang.

Demikian agar menjadikan maklum.

ASMAN SDM & ADMINISTRASI

ABDURACHMAN SHODIQ, SH, ST

Tembusan

1. Supervisor Terkait
2. Manajer UPJ Batu



JL. BASUKI RAHMAD NO. 100 MALANG 65111

Telepon : (0341) 326034-03 Facsimile : (0341) 362046
Kotak Pos : 18 E-mail : plnmlg@pln-jatim.co.id

SURAT PERNYATAAN

Yang bertanda tangan dibawah ini :

Surat balasan No. / Tgl :
Nama : Didin Supriyadi
Tempat, tanggal lahir : Kuningan, 19 April 1983
Jenis kelamin : Laki-laki
Agama : Islam
Alamat asal : Jl. Eyang Weri 263 Kuningan Jawa Barat
Alamat : Jl. Sumbersari IV/62i Malang
Pendidikan : Mahasiswa
Nama Sekolah/Universitas : Institut Teknologi Nasional Malang
No. Nim / Telp / HP : 01.12.118 / (0341) 574 994

Dengan ini kami menyatakan bahwa :

1. Saya akan mematuhi semua peraturan yang berlaku di PT. PLN (Persero) termasuk larangan melakukan pemotretan data-data spesifikasi peralatan PT. PLN (Persero).
2. Saya akan mematuhi semua petunjuk yang diberikan oleh Pejabat/Pegawai PT. PLN (Persero) yang ditugaskan pembimbing saya.
3. Saya setuju PT. PLN (Persero) tidak menanggung sesuatu apapun bila terjadi kecelakaan yang mungkin menimpa diri saya atau kerugian yang mungkin saya derita atas barang-barang saya pada saat melakukan Training/Kerja Praktek/Reset di PT. PLN (Persero) yang langsung maupun tidak langsung yang terjadi karena keadaan ruangan, halaman, instansi dan peralatan PT. PLN (Persero).
4. Saya sanggup segera membayar sepenuhnya segala biaya yang langsung menimbulkan kerugian atau kecelakaan yang disebabkan oleh kelalian saya.
5. Saya sanggup menanggung sendiri segala keperluan Training/Praktek Kerja/Reset, termasuk biaya perjalanan, penginapan dan sebagainya yang tidak menjadi tanggungan PT. PLN (Persero).
6. Saya sanggup tidak membocorkan hal-hal yang bersifat rahasia PT. PLN (Persero), dan bahan-bahan yang saya peroleh dalam melakukan Training/Kerja Praktek/Reset di PT. PLN (Persero) ini dan tidak saya pergunakan untuk hal-hal yang dapat merugikan PT. PLN (Persero).

Malang, 29 Juni 2006

Yang Membuat Pernyataan

(Didin Supriyadi)

**PT. PLN (PERSERO) DISTRIBUSI JAWA TIMUR
AREA PELAYANAN MALANG - UPJ BATU**
Jalan Trunojoyo Nomor 14 A- BATU

Telepon : 0341- 593045

Fac: 0341- 595245

E-mail : www.uptrbatu@pln-jatim.co.id

Nomor : 150 / 152 / BTU / 2006
Lampiran : 1 Set
Perihal : Surat pengantar Survey

Batu, 11 Juli 2006

KEPADA :

Yth. KEPALA G.I. SENGKALING
JL. RAYA PEMDEM

di Malang

Sehubungan dengan adanya Maha Siswa Fakultas Teknologi Industri dari ITN-Malang yang melakukan survey di PT.PLN (Persero) UPJ.Batu dari Tgl. 03 Juli s/d 31 Juli 2006 sesuai surat dari ITN Malang No. 1763/III.TA/2/06 dan dari PT.PLN (Persero) APJ.Malang No. 0919/330/APJ-MLG/2006 Tgl. 27 Juni 2006 dengan data-data sebagai berikut :

Nama : DIDIN SUPRIYADI
NIM : 01.12.124

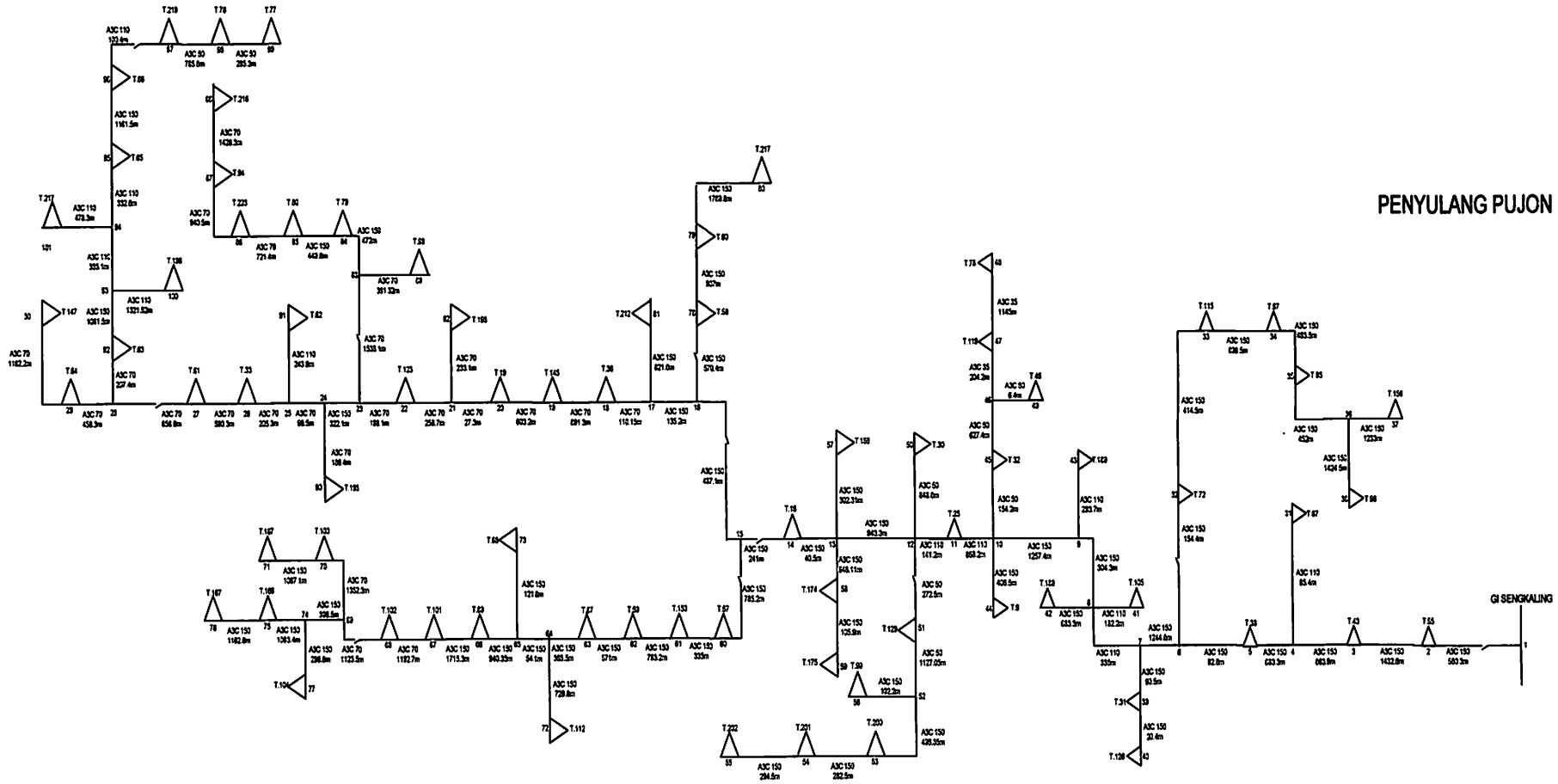
Mengingat kebutuhan data-data untuk distribusi tenaga listrik yang mensuplay PT. PLN (Persero) UPJ.Batu, mohon bantuan kepada yang bersangkutan diberikan data-data yang diperlukan hanya yang bersifat **TIDAK RAHASIA**.

Demikian permohonan kami, atas perhatian dan kerjasamanya kami ucapkan terima kasih.

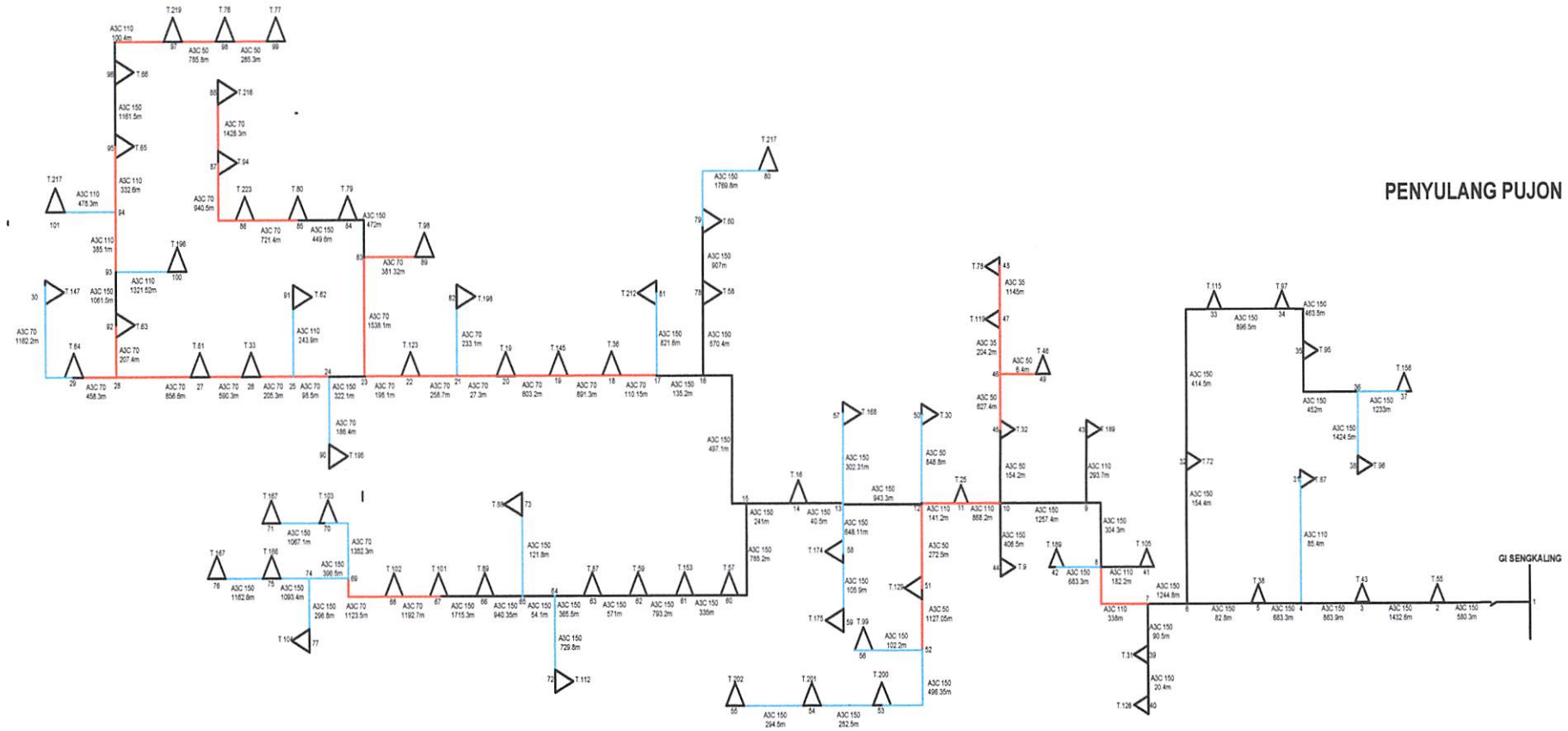
Acc 13/7/06
1
Agus Purwana
G.I. Sengkaling

MANAJER
ABDUL WAHID

Single Line Penyulang Pujon Dengan Konduktor Terpasang



Single Line Penyulang Pujon Setelah Optimasi



Keterangan:

— : Konduktor yang tidak diganti

— : Pergantian konduktor dengan luas penampang yang lebih besar

— : Pergantian konduktor dengan luas penampang yang lebih kecil

A. Data Saluran Penyulang Pujon.

Nomor Saluran	Dari Node	Ke Node	Panjang Saluran (m)	Impedansi Saluran (Z)	
				R (Ohm)	X (Ohm)
1	1	2	580,3	0,11078	0,16335
2	2	3	1432,6	0,27348	0,40328
3	3	4	863,9	0,16492	0,24319
4	4	5	683,3	0,13044	0,19235
5	5	6	82,8	0,01581	0,02331
6	6	7	1244,8	0,23763	0,35041
7	7	8	338	0,06567	0,09552
8	8	9	304,3	0,05809	0,08566
9	9	10	1257,4	0,24004	0,35396
10	10	11	868,2	0,16869	0,24535
11	11	12	141,2	0,02744	0,0399
12	12	13	943,3	0,18008	0,26554
13	13	14	40,5	0,00773	0,0114
14	14	15	241	0,04601	0,06784
15	15	16	497,1	0,0949	0,13993
16	16	17	135,2	0,02581	0,03806
17	17	18	110,15	0,02243	0,0313
18	18	19	891,3	0,18147	0,25331
19	19	20	603,2	0,12281	0,17143
20	20	21	27,3	0,00556	0,00776
21	21	22	258,7	0,05267	0,07352
22	22	23	198,1	0,04033	0,0563
23	23	24	322,1	0,06149	0,09067
24	24	25	98,5	0,02005	0,02799
25	25	26	205,3	0,0418	0,05835
26	26	27	590,3	0,12019	0,16776
27	27	28	856,6	0,1744	0,24345
28	28	29	458,3	0,09331	0,13025
29	29	30	1162,2	0,23662	0,3303
30	4	31	85,4	0,01659	0,02413
31	6	32	154,4	0,02947	0,04346
32	32	33	414,5	0,07913	0,11668
33	33	34	896,5	0,17114	0,25236
34	34	35	463,5	0,08848	0,13048
35	35	36	452	0,08629	0,12724
36	36	37	1233	0,23538	0,34709
37	36	38	1424,5	0,27194	0,401
38	7	39	90,5	0,01728	0,02548
39	39	40	20,4	0,00389	0,00574
40	8	41	182,2	0,0354	0,05149
41	8	42	683,3	0,13044	0,19235
42	9	43	293,7	0,05707	0,083
43	10	44	406,5	0,0776	0,11443
44	10	45	154,2	0,03206	0,04492
45	45	46	627,4	0,13044	0,18276
46	46	47	204,2	0,04343	0,06136
47	47	48	1145	0,24354	0,34407
48	46	49	6,4	0,00133	0,00186

49	12	50	848,8	0,17647	0,24726
50	12	51	272,5	0,05665	0,07938
51	51	52	1127,05	0,23431	0,32831
52	52	53	496,35	0,09475	0,13972
53	53	54	282,5	0,05393	0,07952
54	54	55	294,5	0,05622	0,0829
55	52	56	102,2	0,01951	0,02877
56	13	57	302,31	0,05771	0,0851
57	13	58	648,11	0,12372	0,18244
58	58	59	105,9	0,02022	0,02981
59	15	60	785,2	0,14989	0,22103
60	60	61	335	0,06395	0,0943
61	61	62	793,2	0,15142	0,22329
62	62	63	571	0,10900	0,16074
63	63	64	365,5	0,08977	0,10289
64	64	65	54,1	0,01033	0,01523
65	65	66	940,35	0,17951	0,26471
66	66	67	1715,3	0,32745	0,48286
67	67	68	1192,7	0,24283	0,33897
68	68	69	1123,5	0,22874	0,3193
69	69	70	1352,3	0,27533	0,38432
70	70	71	1097,1	0,20944	0,30883
71	64	72	729,8	0,13932	0,20544
72	65	73	121,8	0,02325	0,03429
73	69	74	396,5	0,07569	0,11161
74	74	75	1093,4	0,20873	0,30779
75	75	76	1162,6	0,22194	0,32727
76	74	77	296,8	0,05666	0,08355
77	16	78	570,4	0,10889	0,16057
78	78	79	907	0,17315	0,25532
79	79	80	1769,8	0,33785	0,4982
80	17	81	821,6	0,15684	0,23128
81	21	82	233,1	0,04746	0,06625
82	23	83	1538,1	0,31316	0,43713
83	83	84	472	0,0901	0,13287
84	84	85	449,6	0,08583	0,12656
85	85	86	721,4	0,14888	0,20502
86	86	87	940,5	0,19149	0,26729
87	87	88	1428,3	0,2908	0,40592
88	83	89	381,32	0,07764	0,10837
89	24	90	186,4	0,03795	0,05297
90	25	91	243,9	0,04739	0,06893
91	28	92	207,4	0,04223	0,05894
92	92	93	1061,5	0,20264	0,29881
93	93	94	395,1	0,07677	0,11166
94	94	95	332,6	0,06462	0,09399
95	95	96	1161,5	0,22173	0,32696
96	96	97	100,4	0,01951	0,02837
97	97	98	785,8	0,16337	0,2289
98	98	99	285,3	0,05931	0,08311
99	93	100	1321,52	0,25677	0,37346
100	94	101	478,3	0,09293	0,13517

B. Data Pembebanan Penyalang Pujon.

No.	Kode	Lokasi	Kapasitas	Pembebanan	Beban	Data Beban		Tipe Node
Node	Trafo		(kVA)	(%)	(kVA)	P (kW)	Q (kVAR)	
1	-	-	-	-	-	-	-	Slack
2	T55	Jl. Raya Ngandat	150	30	45,00	38,250	20,149	Load
3	T43	Jl. Raya Mojorejo	160	71	113,60	96,560	50,866	Load
4	-	-	-	-	-	-	-	Load
5	T38	Jl. Raya Beji	75	70	52,50	44,625	23,508	Load
6	-	-	-	-	-	-	-	Load
7	-	-	-	-	-	-	-	Load
8	-	-	-	-	-	-	-	Load
9	-	-	-	-	-	-	-	Load
10	-	-	-	-	-	-	-	Load
11	T25	Jl. Trunojoyo	75	16	12,00	10,200	5,373	Load
12	-	-	-	-	-	-	-	Load
13	-	-	-	-	-	-	-	Load
14	T16	Jl. Songgoriti	200	47	94,00	79,900	42,090	Load
15	-	-	-	-	-	-	-	Load
16	-	-	-	-	-	-	-	Load
17	-	-	-	-	-	-	-	Load
18	T36	Ds. Pandesari	150	69	103,50	87,975	46,344	Load
19	T145	Dk. Watugong	100	58	58,00	49,300	25,970	Load
20	T19	Jl. Raya Pujon	160	53	84,80	72,080	37,970	Load
21	-	-	-	-	-	-	-	Load
22	T123	Jl. Raya Pujon	150	69	103,50	87,975	46,344	Load
23	-	-	-	-	-	-	-	Load
24	-	-	-	-	-	-	-	Load
25	-	-	-	-	-	-	-	Load
26	T33	Ds. Ngroto	250	45	112,50	95,625	50,374	Load
27	T61	Ds. Ngroto	160	55	88,00	74,800	39,403	Load
28	-	-	-	-	-	-	-	Load
29	T64	Dk. Lebaksari	100	40	40,00	34,000	17,911	Load
30	T94	Dk. Delik	100	52	52,00	44,200	23,284	Load
31	T67	Ds. Beji (KUD Batu	160	25	40,00	34,000	17,911	Load
32	T72	Emanuel Temas	100	45	45,00	38,250	20,149	Load
33	T115	Ds. Wukir Temas	150	70	105,00	89,250	47,015	Load
34	T97	Ds. Temas. Klerek	200	73	146,00	124,100	65,374	Load
35	T95	Ds. Torongrejo	160	58	92,80	78,880	41,553	Load
36	-	-	-	-	-	-	-	Load
37	T156	Ds. Wukir	50	50	25,00	21,250	11,194	Load
38	T96	Ds. Torongrejo Tutup	160	53	84,80	72,080	37,970	Load
39	T31	Jl. Sudiro	75	28	21,00	17,850	9,403	Load
40	T126	Jl. Sudiro	150	74	111,00	94,350	49,702	Load
41	T105	R. S. Paru-paru	100	60	60,00	51,000	26,866	Load
42	T189	Jl. Kasiman	160	46	73,60	62,560	32,956	Load
43	T188	Jl. Lesti	160	46	73,60	62,560	32,956	Load
44	T9	Jl. Hasanudin	250	78	195,00	165,750	87,314	Load
45	T32	Jl. Indragiri	160	61	97,60	82,960	43,702	Load
46	-	-	-	-	-	-	-	Load
47	T119	Ds. Sumber Rejo	75	40	30,00	25,500	13,433	Load
48	T78	Ds. Santrehan	160	54	86,40	73,440	38,687	Load
49	T46	Ds. Sumber Rejo	160	79	126,40	107,440	56,598	Load

50	T30	Ds. Songgoriti	160	23	36,80	31,280	16,478	Load
51	T129	Jl. Flamboyan	160	72	115,20	97,920	51,583	Load
52	-	-	-	-	-	-	-	Load
53	T200	Ds. Tanbuh	100	-	-	-	-	Load
54	T201	Ds. Tanbuh	25	7	1,75	1,488	0,784	Load
55	T202	Ds. Tanbuh	25	2	0,50	0,425	0,224	Load
56	T99	Jl. Flamboyan	100	58	58,00	49,300	25,970	Load
57	T168	Bukit Pinus	25	39	9,75	8,288	4,366	Load
58	T174	Jl. Arumdalu	160	42	67,20	57,120	30,090	Load
59	T175	Jl. Songgoriti (Air Panas)	160	9	14,40	12,240	6,448	Load
60	T57	Dk. Sebaluh	150	49	73,50	62,475	32,911	Load
61	T153	Dk. Sebaluh	160	45	72,00	61,200	32,239	Load
62	T59	Dk. Maron	100	58	58,00	49,300	25,970	Load
63	T87	Dk. Maron	100	73	73,00	62,050	32,687	Load
64	-	-	-	-	-	-	-	Load
65	-	-	-	-	-	-	-	Load
66	T89	Ds. Pujon Kidul	160	71	113,60	96,560	50,866	Load
67	T101	Dk. Biyan	100	43	43,00	36,550	19,254	Load
68	T102	Dk. Bakir	160	47	75,20	63,920	33,672	Load
69	-	-	-	-	-	-	-	Load
70	T103	Dk. Cukal	100	41	41,00	34,850	18,358	Load
71	T167	Dk. Dadapan	25	52	13,00	11,050	5,821	Load
72	T112	Ds. Gunung Sari	100	37	37,00	31,450	16,567	Load
73	T88	Ds. Pujon Kidul	100	34	34,00	28,900	15,224	Load
74	-	-	-	-	-	-	-	Load
75	T166	Dk. Tretes	50	49	24,50	20,825	10,970	Load
76	T167	Dk. Dadapan	25	52	13,00	11,050	5,821	Load
77	T104	Dk. Cukal	100	57	57,00	48,450	25,523	Load
78	T58	Dk. Pandemas	100	41	41,00	34,850	18,358	Load
79	T60	Dk. Jurangrejo	160	67	107,20	91,120	48,000	Load
80	T217	Ds. Brau	50	28	14,00	11,900	6,269	Load
81	T212	Dk. Bon Bayi	50	28	14,00	11,900	6,269	Load
82	T198	Pasar Baru Pujon	100	56	56,00	47,600	25,075	Load
83	-	-	-	-	-	-	-	Load
84	T79	Ds. Wiyurejo	160	71	113,60	96,560	50,866	Load
85	T80	Ds. Madirejo	75	79	59,25	50,363	26,530	Load
86	T223	Dk. Sobo	50	34	17,00	14,450	7,612	Load
87	T94	Dk. Delik	100	52	52,00	44,200	23,284	Load
88	T216	Dk. Delik	160	51	81,60	69,360	36,538	Load
89	T98	Dk. Kalangan	100	70	70,00	59,500	31,344	Load
90	T195	KOP SAE	160	24	38,40	32,640	17,194	Load
91	T62	KOP SAE	315	18	56,70	48,195	25,388	Load
92	T63	Dk. Mantung	100	42	42,00	35,700	18,806	Load
93	-	-	-	-	-	-	-	Load
94	-	-	-	-	-	-	-	Load
95	T65	Ds. Ngabab	160	74	118,40	100,640	53,015	Load
96	T66	Ds. Ngabab	100	68	68,00	57,800	30,448	Load
97	T219	Dk. Manting	100	42	42,00	35,700	18,806	Load
98	T76	Dk. Manting	100	66	66,00	56,100	29,553	Load
99	T77	Dk. Gerih	160	57	91,20	77,520	40,836	Load
100	T196	Dk. Bunder	25	68	17,00	14,450	7,612	Load
101	T197	Dk. Ngebrong	25	64	16,00	13,600	7,164	Load

C. Data konduktor

No. Sal	Dari Node	Ke Node	Tipe Konduktor AAAC	
			Terpasang	Setelah Optimasi
1	1	2	A3C 150	A3C 150
2	2	3	A3C 150	A3C 150
3	3	4	A3C 150	A3C 150
4	4	5	A3C 150	A3C 150
30	4	31	A3C 110	A3C 35
5	5	6	A3C 150	A3C 150
6	6	7	A3C 150	A3C 150
31	6	32	A3C 150	A3C 150
7	7	8	A3C 110	A3C 150
38	7	39	A3C 150	A3C 150
8	8	9	A3C 150	A3C 150
40	8	41	A3C 110	A3C 110
41	8	42	A3C 150	A3C 110
9	9	10	A3C 150	A3C 150
42	9	43	A3C 110	A3C 110
10	10	11	A3C 110	A3C 150
43	10	44	A3C 150	A3C 150
44	10	45	A3C 50	A3C 150
11	11	12	A3C 110	A3C 150
12	12	13	A3C 150	A3C 150
49	12	50	A3C 50	A3C 35
50	12	51	A3C 50	A3C 150
13	13	14	A3C 150	A3C 150
56	13	57	A3C 150	A3C 35
57	13	58	A3C 150	A3C 110
14	14	15	A3C 150	A3C 150
15	15	16	A3C 150	A3C 150
59	15	60	A3C 150	A3C 150
16	16	17	A3C 150	A3C 150
77	16	78	A3C 150	A3C 150
17	17	18	A3C 70	A3C 150
80	17	81	A3C 150	A3C 35
18	18	19	A3C 70	A3C 150
19	19	20	A3C 70	A3C 150
20	20	21	A3C 70	A3C 150
21	21	22	A3C 70	A3C 150
81	21	82	A3C 70	A3C 50
22	22	23	A3C 70	A3C 150
23	23	24	A3C 150	A3C 150
82	23	83	A3C 70	A3C 150
24	24	25	A3C 70	A3C 150
89	24	90	A3C 70	A3C 35
25	25	26	A3C 70	A3C 150
90	25	91	A3C 110	A3C 50
26	26	27	A3C 70	A3C 150
27	27	28	A3C 70	A3C 150
28	28	29	A3C 70	A3C 110
91	28	92	A3C 70	A3C 150

29	29	30	A3C 70	A3C 50
32	32	33	A3C 150	A3C 150
33	33	34	A3C 150	A3C 150
34	34	35	A3C 150	A3C 150
35	35	36	A3C 150	A3C 150
36	36	37	A3C 150	A3C 35
37	36	38	A3C 150	A3C 110
39	39	40	A3C 150	A3C 150
45	45	46	A3C 50	A3C 150
46	46	47	A3C 35	A3C 150
48	46	49	A3C 50	A3C 150
47	47	48	A3C 35	A3C 110
51	51	52	A3C 50	A3C 110
52	52	53	A3C 150	A3C 35
55	52	56	A3C 150	A3C 50
53	53	54	A3C 150	A3C 35
54	54	55	A3C 150	A3C 35
58	58	59	A3C 150	A3C 35
60	60	61	A3C 150	A3C 150
61	61	62	A3C 150	A3C 150
62	62	63	A3C 150	A3C 150
63	63	64	A3C 150	A3C 150
64	64	65	A3C 150	A3C 150
71	64	72	A3C 150	A3C 35
65	65	66	A3C 150	A3C 150
72	65	73	A3C 150	A3C 35
66	66	67	A3C 150	A3C 150
67	67	68	A3C 70	A3C 150
68	68	69	A3C 70	A3C 150
69	69	70	A3C 70	A3C 50
73	69	74	A3C 150	A3C 110
70	70	71	A3C 150	A3C 35
74	74	75	A3C 150	A3C 35
76	74	77	A3C 150	A3C 50
75	75	76	A3C 150	A3C 35
78	78	79	A3C 150	A3C 150
79	79	80	A3C 150	A3C 35
83	83	84	A3C 150	A3C 150
88	83	89	A3C 70	A3C 110
84	84	85	A3C 150	A3C 150
85	85	86	A3C 70	A3C 150
86	86	87	A3C 70	A3C 150
87	87	88	A3C 70	A3C 110
92	92	93	A3C 150	A3C 150
93	93	94	A3C 110	A3C 150
99	93	100	A3C 110	A3C 35
94	94	95	A3C 110	A3C 150
100	94	101	A3C 110	A3C 35
95	95	96	A3C 150	A3C 150
96	96	97	A3C 110	A3C 150
97	97	98	A3C 50	A3C 150
98	98	99	A3C 50	A3C 110

D. Kondisi Tegangan dan Sudut Fasa Tegangan Tiap Node Penyulang Pujon.

Kondisi Tegangan Dan Sudut Fasa

Kondisi Tegangan Dan Sudut Fasa

Terpasang

Optimasi

No. Node	Tegangan (pu)	sudut V (Deg)	No. Node	Tegangan (pu)	sudut V (Deg)	No. Node	Tegangan (pu)	sudut V (Deg)	No. Node	Tegangan (pu)	sudut V (Deg)
1	1,00000	0,00000	52	0,96484	0,01100	1	1,00000	0,00000	52	0,97523	0,01101
2	0,99627	-0,00092	53	0,96484	0,01100	2	0,99787	0,00092	53	0,97522	0,01101
3	0,99258	-0,00320	54	0,96484	0,01100	3	0,99267	0,00320	54	0,97522	0,01101
4	0,98897	-0,00455	55	0,96484	0,01100	4	0,98961	0,00455	55	0,97522	0,01101
5	0,98541	-0,00562	56	0,96480	0,01100	5	0,98721	0,00562	56	0,97522	0,01101
6	0,98188	-0,00574	57	0,96280	0,01190	6	0,98693	0,00574	57	0,97325	0,01191
7	0,97875	-0,00745	58	0,96274	0,01192	7	0,98311	0,00745	58	0,97321	0,01193
8	0,97570	-0,00790	59	0,96273	0,01192	8	0,98210	0,00790	59	0,97321	0,01193
9	0,97279	-0,00829	60	0,95796	0,01238	9	0,98123	0,00829	60	0,97222	0,01238
10	0,96993	-0,00988	61	0,95743	0,01246	10	0,97771	0,00988	61	0,97204	0,01246
11	0,96748	-0,01081	62	0,95696	0,01263	11	0,97565	0,01081	62	0,97167	0,01263
12	0,96505	-0,01096	63	0,95653	0,01274	12	0,97532	0,01097	63	0,97143	0,01274
13	0,96281	-0,01190	64	0,95616	0,01280	13	0,97325	0,01191	64	0,97130	0,01280
14	0,96064	-0,01194	65	0,95583	0,01280	14	0,97317	0,01195	65	0,97128	0,01281
15	0,95855	-0,01217	66	0,95552	0,01294	15	0,97267	0,01217	66	0,97100	0,01294
16	0,95706	-0,01250	67	0,95530	0,01310	16	0,97195	0,01251	67	0,97063	0,01311
17	0,95569	-0,01258	68	0,95511	0,01320	17	0,97177	0,01259	68	0,97042	0,01321
18	0,95429	-0,01265	69	0,95499	0,01326	18	0,97162	0,01266	69	0,97028	0,01327
19	0,95297	-0,01314	70	0,95494	0,01328	19	0,97052	0,01316	70	0,97022	0,01330
20	0,95170	-0,01346	71	0,95493	0,01329	20	0,96980	0,01349	71	0,97021	0,01330
21	0,95050	-0,01347	72	0,95613	0,01281	21	0,96977	0,01351	72	0,97128	0,01281
22	0,94936	-0,01359	73	0,95580	0,01281	22	0,96949	0,01363	73	0,97128	0,01281
23	0,94830	-0,01368	74	0,95491	0,01327	23	0,96929	0,01372	74	0,97025	0,01329
24	0,94760	-0,01378	75	0,95488	0,01329	24	0,96907	0,01383	75	0,97022	0,01330
25	0,94691	-0,01381	76	0,95487	0,01329	25	0,96901	0,01386	76	0,97020	0,01331
26	0,94626	-0,01387	77	0,95486	0,01328	26	0,96888	0,01391	77	0,97024	0,01329
27	0,94572	-0,01400	78	0,95692	0,01253	27	0,96858	0,01405	78	0,97187	0,01254
28	0,94524	-0,01417	79	0,95683	0,01257	28	0,96820	0,01423	79	0,97178	0,01258
29	0,94516	-0,01419	80	0,95681	0,01258	29	0,96817	0,01424	80	0,97176	0,01259
30	0,94512	-0,01421	81	0,95568	0,01259	30	0,96811	0,01427	81	0,97176	0,01259
31	0,98894	-0,00455	82	0,95046	0,01347	31	0,98961	0,00455	82	0,96976	0,01351
32	0,98149	-0,00577	83	0,94796	0,01390	32	0,98687	0,00577	83	0,96881	0,01395
33	0,98113	-0,00584	84	0,94770	-	33	0,98672	-	84	0,96868	-

					0,01395			0,00584			0,01400
34	0,98085	-0,00595	85	0,94752	0,01399	34	0,98647	0,00595	85	0,96861	0,01404
35	0,98069	-0,00598	86	0,94740	0,01403	35	0,98640	0,00598	86	0,96852	0,01408
36	0,98060	-0,00600	87	0,94728	0,01407	36	0,98636	0,00600	87	0,96842	0,01413
37	0,98058	-0,00601	88	0,94721	0,01411	37	0,98633	0,00601	88	0,96833	0,01417
38	0,98054	-0,00604	89	0,94790	0,01391	38	0,98626	0,00604	89	0,96878	0,01396
39	0,97865	-0,00746	90	0,94757	0,01378	39	0,98310	0,00745	90	0,96907	0,01383
40	0,97856	-0,00746	91	0,94686	0,01382	40	0,98309	0,00746	91	0,96900	0,01386
41	0,97565	-0,00790	92	0,94485	0,01421	41	0,98209	0,00790	92	0,96812	0,01426
42	0,97564	-0,00792	93	0,94450	0,01437	42	0,98206	0,00792	93	0,96777	0,01443
43	0,97273	-0,00830	94	0,94417	0,01443	43	0,98122	0,00830	94	0,96764	0,01449
44	0,96978	-0,00991	95	0,94385	0,01448	44	0,97765	0,00991	95	0,96754	0,01453
45	0,96964	-0,00990	96	0,94363	0,01459	45	0,97767	0,00990	96	0,96729	0,01465
46	0,96944	-0,00995	97	0,94346	0,01460	46	0,97755	0,00995	97	0,96727	0,01466
47	0,96934	-0,00996	98	0,94333	0,01464	47	0,97753	0,00996	98	0,96717	0,01470
48	0,96926	-0,01000	99	0,94325	0,01465	48	0,97745	0,01000	99	0,96715	0,01471
49	0,96933	-0,00995	100	0,94449	0,01438	49	0,97755	0,00995	100	0,96775	0,01444
50	0,96501	-0,01097	101	0,94416	0,01443	50	0,97529	0,01098	101	0,96763	0,01449
51	0,96490	-0,01098				51	0,97528	0,01098			

E. Besarnya Rugi-Rugi Daya Tiap Saluran Penyulang Pujon

Terpasang				Optimasi			
Node		Daya		Node		Daya	
From	To	P (kW)	Q (kVAR)	From	To	P (kW)	Q (kVAR)
1	2	10,864	16,020	1	2	6,127	9,034
2	3	10,660	15,719	2	3	14,836	21,877
3	4	10,150	14,966	3	4	8,512	12,552
4	5	9,972	14,705	4	5	6,614	9,752
4	31	0,001	0,001	4	31	0,000	0,000
5	6	9,741	14,364	5	6	0,783	1,154
6	7	7,673	11,314	6	7	9,245	13,632
6	32	0,123	0,182	6	32	0,019	0,028
7	8	7,293	10,607	7	8	2,342	3,454
7	39	0,009	0,013	7	39	0,001	0,001
8	9	6,668	9,832	8	9	1,961	2,892
8	41	0,002	0,003	8	41	0,000	0,000
8	42	0,003	0,004	8	42	0,002	0,003
9	10	6,400	9,438	9	10	7,775	11,465
9	43	0,003	0,004	9	43	0,001	0,001
10	11	4,698	6,833	10	11	3,859	5,691
10	44	0,019	0,028	10	44	0,008	0,011
10	45	0,064	0,090	10	45	0,009	0,013
11	12	4,661	6,778	11	12	0,623	0,918
12	13	3,952	5,827	12	13	3,585	5,286

12	50	0,001	0,001	12	50	0,001	0,001
12	51	0,017	0,024	12	51	0,004	0,006
13	14	3,895	5,449	13	14	0,144	0,212
13	57	0,000	0,000	13	57	0,000	0,000
13	58	0,003	0,005	13	58	0,002	0,003
14	15	3,440	5,073	14	15	0,796	1,174
15	16	1,766	2,604	15	16	0,840	1,239
15	60	0,277	0,408	15	60	0,210	0,310
16	17	1,468	2,165	16	17	0,190	0,280
16	78	0,014	0,020	16	78	0,008	0,011
17	18	1,540	2,150	17	18	0,152	0,224
17	81	0,000	0,000	17	81	0,000	0,000
18	19	1,354	1,890	18	19	1,081	1,594
19	20	1,255	1,751	19	20	0,678	0,999
20	21	1,116	1,558	20	21	0,027	0,040
21	22	1,029	1,437	21	22	0,238	0,351
21	82	0,002	0,002	21	82	0,000	0,001
22	23	0,877	1,225	22	23	0,155	0,229
23	24	0,385	0,567	23	24	0,118	0,174
23	83	0,088	0,123	23	83	0,121	0,179
24	25	0,374	0,522	24	25	0,033	0,049
24	90	0,001	0,001	24	90	0,000	0,000
25	26	0,324	0,452	25	26	0,059	0,087
25	91	0,002	0,003	25	91	0,000	0,001
26	27	0,234	0,327	26	27	0,123	0,182
27	28	0,174	0,243	27	28	0,133	0,197
28	29	0,005	0,007	28	29	0,002	0,003
28	92	0,121	0,169	28	92	0,022	0,033
29	30	0,002	0,002	29	30	0,002	0,003
32	33	0,102	0,151	32	33	0,042	0,062
33	34	0,060	0,089	33	34	0,053	0,079
34	35	0,020	0,030	34	35	0,009	0,014
35	36	0,006	0,009	35	36	0,003	0,004
36	37	0,000	0,000	36	37	0,000	0,001
36	38	0,004	0,005	36	38	0,005	0,007
39	40	0,006	0,009	39	40	0,000	0,000
45	46	0,033	0,046	45	46	0,018	0,027
46	47	0,008	0,011	46	47	0,001	0,002
46	49	0,009	0,012	46	49	0,000	0,000
47	48	0,004	0,006	47	48	0,004	0,006
51	52	0,002	0,003	51	52	0,002	0,003
52	53	0,000	0,000	52	53	0,000	0,000
52	56	0,002	0,003	52	56	0,000	0,000
53	54	0,000	0,000	53	54	0,000	0,000
54	55	0,000	0,000	54	55	0,000	0,000
58	59	0,000	0,000	58	59	0,000	0,000
60	61	0,224	0,330	60	61	0,073	0,107
61	62	0,177	0,261	61	62	0,136	0,201
62	63	0,144	0,212	62	63	0,079	0,117
63	64	0,107	0,157	63	64	0,038	0,056
64	65	0,090	0,132	64	65	0,005	0,007
64	72	0,001	0,001	64	72	0,001	0,001

65	66	0,076	0,112	65	66	0,069	0,102
65	73	0,001	0,001	65	73	0,000	0,000
66	67	0,037	0,055	66	67	0,062	0,091
67	68	0,028	0,039	67	68	0,030	0,045
68	69	0,012	0,017	68	69	0,013	0,019
69	70	0,002	0,002	69	70	0,002	0,003
69	74	0,005	0,007	69	74	0,002	0,003
70	71	0,000	0,000	70	71	0,000	0,000
74	75	0,001	0,001	74	75	0,001	0,001
74	77	0,002	0,003	74	77	0,001	0,001
75	76	0,000	0,000	75	76	0,000	0,000
78	79	0,008	0,011	78	79	0,007	0,010
79	80	0,000	0,000	79	80	0,000	0,000
83	84	0,056	0,082	83	84	0,025	0,037
83	89	0,003	0,004	83	89	0,001	0,001
84	85	0,023	0,035	84	85	0,010	0,015
85	86	0,013	0,018	85	86	0,008	0,012
86	87	0,010	0,014	86	87	0,009	0,013
87	88	0,004	0,005	87	88	0,005	0,007
92	93	0,094	0,138	92	93	0,095	0,140
93	94	0,088	0,128	93	94	0,033	0,048
93	100	0,000	0,000	93	100	0,000	0,000
94	95	0,081	0,118	94	95	0,025	0,037
94	101	0,000	0,000	94	101	0,000	0,000
95	96	0,038	0,056	95	96	0,042	0,062
96	97	0,022	0,032	96	97	0,002	0,003
97	98	0,014	0,020	97	98	0,010	0,015
98	99	0,005	0,007	98	99	0,001	0,002

F. Rekapitulasi Biaya Investasi Konduktor Terpasang

Dari Node	Ke Node	Panjang Saluran (m)	Tipe Konduktor	Harga Konduktor (Rp/m)	Biaya Konduktor
1	2	580,3	A3C 150	32.238	18.707.711,40
2	3	1432,6	A3C 150	32.238	46.184.158,80
3	4	863,9	A3C 150	32.238	27.850.408,20
4	5	683,3	A3C 150	32.238	22.028.225,40
4	31	85,4	A3C 110	25.170	2.149.518,00
5	6	82,8	A3C 150	32.238	2.669.306,40
6	7	1244,8	A3C 150	32.238	40.129.862,40
6	32	154,4	A3C 150	32.238	4.977.547,20
7	8	338	A3C 110	25.170	8.507.460,00
7	39	90,5	A3C 150	32.238	2.917.539,00
8	9	304,3	A3C 150	32.238	9.810.023,40
8	41	182,2	A3C 110	25.170	4.585.974,00
8	42	683,3	A3C 150	32.238	22.028.225,40
9	10	1257,4	A3C 150	32.238	40.536.061,20
9	43	293,7	A3C 110	25.170	7.392.429,00
10	11	868,2	A3C 110	25.170	21.852.594,00
10	44	406,5	A3C 150	32.238	13.104.747,00
10	45	154,2	A3C 50	14.568	2.246.385,60
11	12	141,2	A3C 110	25.170	3.554.004,00

12	13	943,3	A3C 150	32.238	30.410.105,40
12	50	848,8	A3C 50	14.568	12.365.318,40
12	51	272,5	A3C 50	14.568	3.969.780,00
13	14	40,5	A3C 150	32.238	1.305.639,00
13	57	302,31	A3C 150	32.238	9.745.869,78
13	58	648,11	A3C 150	32.238	20.893.770,18
14	15	241	A3C 150	32.238	7.769.358,00
15	16	497,1	A3C 150	32.238	16.025.509,80
15	60	785,2	A3C 150	32.238	25.313.277,60
16	17	135,2	A3C 150	32.238	4.358.577,60
16	78	570,4	A3C 150	32.238	18.388.555,20
17	18	110,15	A3C 70	18.102	1.993.935,30
17	81	821,6	A3C 150	32.238	26.486.740,80
18	19	891,3	A3C 70	18.102	16.134.312,60
19	20	603,2	A3C 70	18.102	10.919.126,40
20	21	27,3	A3C 70	18.102	494.184,60
21	22	258,7	A3C 70	18.102	4.682.987,40
21	82	233,1	A3C 70	18.102	4.219.576,20
22	23	198,1	A3C 70	18.102	3.586.006,20
23	24	322,1	A3C 150	32.238	10.383.859,80
23	83	1538,1	A3C 70	18.102	27.842.686,20
24	25	98,5	A3C 70	18.102	1.783.047,00
24	90	186,4	A3C 70	18.102	3.374.212,80
25	26	205,3	A3C 70	18.102	3.716.340,60
25	91	243,9	A3C 110	25.170	6.138.963,00
26	27	590,3	A3C 70	18.102	10.685.610,60
27	28	856,6	A3C 70	18.102	15.506.173,20
28	29	458,3	A3C 70	18.102	8.296.146,60
28	92	207,4	A3C 70	18.102	3.754.354,80
29	30	1162,2	A3C 70	18.102	21.038.144,40
32	33	414,5	A3C 150	32.238	13.362.651,00
33	34	896,5	A3C 150	32.238	28.901.367,00
34	35	463,5	A3C 150	32.238	14.942.313,00
35	36	452	A3C 150	32.238	14.571.576,00
36	37	1233	A3C 150	32.238	39.749.454,00
36	38	1424,5	A3C 150	32.238	45.923.031,00
39	40	20,4	A3C 150	32.238	657.655,20
45	46	627,4	A3C 50	14.568	9.139.963,20
46	47	204,2	A3C 35	11.916	2.433.247,20
46	49	6,4	A3C 50	14.568	93.235,20
47	48	1145	A3C 35	11.916	13.643.820,00
51	52	1127,05	A3C 50	14.568	16.418.864,40
52	53	496,35	A3C 150	32.238	16.001.331,30
52	56	102,2	A3C 150	32.238	3.294.723,60
53	54	282,5	A3C 150	32.238	9.107.235,00
54	55	294,5	A3C 150	32.238	9.494.091,00
58	59	105,9	A3C 150	32.238	3.414.004,20
60	61	335	A3C 150	32.238	10.799.730,00
61	62	793,2	A3C 150	32.238	25.571.181,60
62	63	571	A3C 150	32.238	18.407.898,00
63	64	365,5	A3C 150	32.238	11.782.989,00
64	65	54,1	A3C 150	32.238	1.744.075,80

64	72	729,8	A3C 150	32.238	23.527.292,40
65	66	940,35	A3C 150	32.238	30.315.003,30
65	73	121,8	A3C 150	32.238	3.926.588,40
66	67	1715,3	A3C 150	32.238	55.297.841,40
67	68	1192,7	A3C 70	18.102	21.590.255,40
68	69	1123,5	A3C 70	18.102	20.337.597,00
69	70	1352,3	A3C 70	18.102	24.479.334,60
69	74	396,5	A3C 150	32.238	12.782.367,00
70	71	1097,1	A3C 150	32.238	35.368.309,80
74	75	1093,4	A3C 150	32.238	35.249.029,20
74	77	296,8	A3C 150	32.238	9.568.238,40
75	76	1162,6	A3C 150	32.238	37.479.898,80
78	79	907	A3C 150	32.238	29.239.866,00
79	80	1769,8	A3C 150	32.238	57.054.812,40
83	84	472	A3C 150	32.238	15.216.336,00
83	89	381,32	A3C 70	18.102	6.902.654,64
84	85	449,6	A3C 150	32.238	14.494.204,80
85	86	721,4	A3C 70	18.102	13.058.782,80
86	87	940,5	A3C 70	18.102	17.024.931,00
87	88	1428,3	A3C 70	18.102	25.855.086,60
92	93	1061,5	A3C 150	32.238	34.220.637,00
93	94	395,1	A3C 110	25.170	9.944.667,00
93	100	1321,52	A3C 110	25.170	33.262.658,40
94	95	332,6	A3C 110	25.170	8.371.542,00
94	101	478,3	A3C 110	25.170	12.038.811,00
95	96	1161,5	A3C 150	32.238	37.444.437,00
96	97	100,4	A3C 110	25.170	2.527.068,00
97	98	785,8	A3C 50	14.568	11.447.534,40
98	99	285,3	A3C 50	14.568	4.156.250,40
Biaya Investasi Konduktor					1.584.450.821,70

G. Rekapitulasi Biaya Investasi Konduktor Dengan Optimasi

Dari Node	Ke Node	Panjang Saluran (m)	Tipe Konduktor	Harga Konduktor (Rp/m)	Biaya Konduktor
1	2	580,3	A3C 150	32.238	18.707.711,40
2	3	1432,6	A3C 150	32.238	46.184.158,80
3	4	863,9	A3C 150	32.238	27.850.408,20
4	5	683,3	A3C 150	32.238	22.028.225,40
4	31	85,4	A3C 35	11.916	1.017.626,40
5	6	82,8	A3C 150	32.238	2.669.306,40
6	7	1244,8	A3C 150	32.238	40.129.862,40
6	32	154,4	A3C 150	32.238	4.977.547,20
7	8	338	A3C 150	32.238	10.896.444,00
7	39	90,5	A3C 150	32.238	2.917.539,00
8	9	304,3	A3C 150	32.238	9.810.023,40
8	41	182,2	A3C 110	25.170	4.585.974,00
8	42	683,3	A3C 110	25.170	17.198.661,00
9	10	1257,4	A3C 150	32.238	40.536.061,20
9	43	293,7	A3C 110	25.170	7.392.429,00
10	11	868,2	A3C 150	32.238	27.989.031,60
10	44	406,5	A3C 150	32.238	13.104.747,00

10	45	154,2	A3C 150	32.238	4.971.099,60
11	12	141,2	A3C 150	32.238	4.552.005,60
12	13	943,3	A3C 150	32.238	30.410.105,40
12	50	848,8	A3C 35	11.916	10.114.300,80
12	51	272,5	A3C 150	32.238	8.784.855,00
13	14	40,5	A3C 150	32.238	1.305.639,00
13	57	302,31	A3C 35	11.916	3.602.325,96
13	58	648,11	A3C 110	25.170	16.312.928,70
14	15	241	A3C 150	32.238	7.769.358,00
15	16	497,1	A3C 150	32.238	16.025.509,80
15	60	785,2	A3C 150	32.238	25.313.277,60
16	17	135,2	A3C 150	32.238	4.358.577,60
16	78	570,4	A3C 150	32.238	18.388.555,20
17	18	110,15	A3C 150	32.238	3.551.015,70
17	81	821,6	A3C 35	11.916	9.790.185,60
18	19	891,3	A3C 150	32.238	28.733.729,40
19	20	603,2	A3C 150	32.238	19.445.961,60
20	21	27,3	A3C 150	32.238	880.097,40
21	22	258,7	A3C 150	32.238	8.339.970,60
21	82	233,1	A3C 50	14.568	3.395.800,80
22	23	198,1	A3C 150	32.238	6.386.347,80
23	24	322,1	A3C 150	32.238	10.383.859,80
23	83	1538,1	A3C 150	32.238	49.585.267,80
24	25	98,5	A3C 150	32.238	3.175.443,00
24	90	186,4	A3C 35	11.916	2.221.142,40
25	26	205,3	A3C 150	32.238	6.618.461,40
25	91	243,9	A3C 50	14.568	3.553.135,20
26	27	590,3	A3C 150	32.238	19.030.091,40
27	28	856,6	A3C 150	32.238	27.615.070,80
28	29	458,3	A3C 110	25.170	11.535.411,00
28	92	207,4	A3C 150	32.238	6.686.161,20
29	30	1162,2	A3C 50	14.568	16.930.929,60
32	33	414,5	A3C 150	32.238	13.362.651,00
33	34	896,5	A3C 150	32.238	28.901.367,00
34	35	463,5	A3C 150	32.238	14.942.313,00
35	36	452	A3C 150	32.238	14.571.576,00
36	37	1233	A3C 35	11.916	14.692.428,00
36	38	1424,5	A3C 110	25.170	35.854.665,00
39	40	20,4	A3C 150	32.238	657.655,20
45	46	627,4	A3C 150	32.238	20.226.121,20
46	47	204,2	A3C 150	32.238	6.582.999,60
46	49	6,4	A3C 150	32.238	206.323,20
47	48	1145	A3C 110	25.170	28.819.650,00
51	52	1127,05	A3C 110	25.170	28.367.848,50
52	53	498,35	A3C 35	11.916	5.914.506,60
52	56	102,2	A3C 50	14.568	1.488.849,60
53	54	282,5	A3C 35	11.916	3.366.270,00
54	55	294,5	A3C 35	11.916	3.509.262,00
58	59	105,9	A3C 35	11.916	1.261.904,40
60	61	335	A3C 150	32.238	10.799.730,00
61	62	793,2	A3C 150	32.238	25.571.181,60
62	63	571	A3C 150	32.238	18.407.898,00

63	64	365,5	A3C 150	32.238	11.782.989,00
64	65	54,1	A3C 150	32.238	1.744.075,80
64	72	729,8	A3C 35	11.916	8.696.296,80
65	66	940,35	A3C 150	32.238	30.315.003,30
65	73	121,8	A3C 35	11.916	1.451.368,80
66	67	1715,3	A3C 150	32.238	55.297.841,40
67	68	1192,7	A3C 150	32.238	38.450.262,60
68	69	1123,5	A3C 150	32.238	36.219.393,00
69	70	1352,3	A3C 50	14.568	19.700.306,40
69	74	396,5	A3C 110	25.170	9.979.905,00
70	71	1097,1	A3C 35	11.916	13.073.043,60
74	75	1093,4	A3C 35	11.916	13.028.954,40
74	77	296,8	A3C 50	14.568	4.323.782,40
75	76	1162,6	A3C 35	11.916	13.853.541,60
78	79	907	A3C 150	32.238	29.239.866,00
79	80	1769,8	A3C 35	11.916	21.088.936,80
83	84	472	A3C 150	32.238	15.216.336,00
83	89	381,32	A3C 110	25.170	9.597.824,40
84	85	449,6	A3C 150	32.238	14.494.204,80
85	86	721,4	A3C 150	32.238	23.256.493,20
86	87	940,5	A3C 150	32.238	30.319.839,00
87	88	1428,3	A3C 110	25.170	35.950.311,00
92	93	1061,5	A3C 150	32.238	34.220.637,00
93	94	395,1	A3C 150	32.238	12.737.233,80
93	100	1321,52	A3C 35	11.916	15.747.232,32
94	95	332,6	A3C 150	32.238	10.722.358,80
94	101	478,3	A3C 35	11.916	5.699.422,80
95	96	1161,5	A3C 150	32.238	37.444.437,00
96	97	100,4	A3C 150	32.238	3.236.695,20
97	98	785,8	A3C 150	32.238	25.332.620,40
98	99	285,3	A3C 110	25.170	7.181.001,00
Biaya Investasi Konduktor					1.554.669.790,68

H. Aliran Daya Tiap Saluran di Penyulang Pujon

Terpasang				Optimasi			
Node		Daya		Node		Daya	
Dari	Ke	P (MW)	Q (MVAR)	Dari	Ke	P (MW)	Q (MVAR)
1	2	4011,686	2582,762	1	2	3969,916	2522,193
2	3	3962,571	2543,037	2	3	3925,540	2489,454
3	4	3855,352	2467,475	3	4	3814,144	2407,733
4	5	3811,201	2431,436	4	5	3771,631	2374,110
4	31	34,001	21,072	4	31	34,000	21,071
5	6	3756,604	2389,075	5	6	3720,392	2336,701
6	7	3322,737	2111,592	6	7	3295,668	2072,700
6	32	424,126	263,119	6	32	423,942	262,847
7	8	3202,849	2030,721	7	8	3174,222	1989,532
7	39	112,215	69,557	7	39	112,201	69,536
8	9	3081,992	1949,730	8	9	3058,318	1915,696
8	41	51,002	31,610	8	41	51,000	31,607
8	42	62,563	38,775	8	42	62,562	38,774
9	10	3012,762	1901,123	9	10	2993,796	1874,033

9	43	62,563	38,775	9	43	62,561	38,772
10	11	2551,135	1609,453	10	11	2530,890	1580,468
10	44	165,769	102,751	10	44	165,758	102,734
10	45	289,457	179,481	10	45	289,373	179,365
11	12	2536,237	1596,299	11	12	2516,831	1568,457
12	13	2351,142	1477,681	12	13	2335,788	1455,719
12	50	31,281	19,387	12	50	31,281	19,387
12	51	149,154	92,452	12	51	149,140	92,433
13	14	2269,538	1423,726	13	14	2254,553	1402,308
13	57	8,288	5,136	13	57	8,288	5,136
13	58	69,364	42,991	13	58	69,362	42,989
14	15	2185,943	1368,759	14	15	2174,509	1352,577
15	16	1562,692	978,555	15	16	1554,361	966,947
15	60	619,811	385,131	15	60	619,351	384,456
16	17	1423,035	890,476	16	17	1415,637	880,243
16	78	137,891	85,476	16	78	137,885	85,465
17	18	1409,666	880,936	17	18	1403,547	872,588
17	81	11,900	7,375	17	81	11,900	7,375
18	19	1320,152	824,264	18	19	1315,420	817,841
19	20	1269,498	791,821	19	20	1265,039	785,694
20	21	1196,163	745,399	20	21	1192,281	740,024
21	22	1147,445	714,338	21	22	1144,653	710,483
21	82	47,602	29,502	21	82	47,600	29,501
22	23	1058,440	658,379	22	23	1056,440	655,610
23	24	722,934	449,611	23	24	721,672	447,853
23	83	334,629	207,543	23	83	334,612	207,527
24	25	689,908	428,815	24	25	688,914	427,451
24	90	32,641	20,229	24	90	32,640	20,228
25	26	641,338	398,421	25	26	640,686	397,533
25	91	48,197	29,872	25	91	48,195	29,870
26	27	545,389	338,707	26	27	545,001	338,182
27	28	470,355	292,023	27	28	470,078	291,643
28	29	78,206	48,473	28	29	78,204	48,469
28	92	391,974	243,306	28	92	391,741	242,977
29	30	44,202	27,395	29	30	44,202	27,396
32	33	385,753	239,232	32	33	385,673	239,114
33	34	296,401	183,770	33	34	296,381	183,741
34	35	172,240	106,771	34	35	172,228	106,752
35	36	93,340	57,856	35	36	93,338	57,853
36	37	21,250	13,170	36	37	21,250	13,171
36	38	72,084	44,676	36	38	72,085	44,678
39	40	94,356	58,482	39	40	94,350	58,473
45	46	206,433	127,977	45	46	206,404	127,938
46	47	98,952	61,334	46	47	98,946	61,325
46	49	107,449	66,597	46	49	107,440	66,585
47	48	73,444	45,520	47	48	73,444	45,520
51	52	51,217	31,743	51	52	51,215	31,741
52	53	1,913	1,185	52	53	1,913	1,185
52	56	49,302	30,556	52	56	49,300	30,553
53	54	1,913	1,185	53	54	1,913	1,185
54	55	0,425	0,263	54	55	0,425	0,263
58	59	12,240	7,586	58	59	12,240	7,586

60	61	557,059	346,004	60	61	556,666	345,427
61	62	495,636	307,746	61	62	495,393	307,392
62	63	446,158	276,932	62	63	445,957	276,638
63	64	383,965	238,265	63	64	383,827	238,065
64	65	352,407	218,616	64	65	352,339	218,518
64	72	31,451	19,492	64	72	31,451	19,492
65	66	323,417	200,572	65	66	323,434	200,600
65	73	28,901	17,912	65	73	28,900	17,911
66	67	226,781	140,617	66	67	226,805	140,655
67	68	190,194	117,910	67	68	190,194	117,912
68	69	126,246	78,257	68	69	126,243	78,254
69	70	45,902	28,448	69	70	45,902	28,449
69	74	80,332	49,792	69	74	80,328	49,786
70	71	11,050	6,848	70	71	11,050	6,848
74	75	31,876	19,755	74	75	31,876	19,755
74	77	48,452	30,030	74	77	48,451	30,028
75	76	11,050	6,848	75	76	11,050	6,848
78	79	103,028	63,857	78	79	103,027	63,856
79	80	11,900	7,375	79	80	11,900	7,375
83	84	275,039	170,542	83	84	274,990	170,472
83	89	59,503	36,879	83	89	59,501	36,876
84	85	178,423	110,617	84	85	178,405	110,592
85	86	128,037	79,370	85	86	128,032	79,365
86	87	113,574	70,397	86	87	113,573	70,398
87	88	69,364	42,990	87	88	69,365	42,992
92	93	356,153	221,012	92	93	356,018	220,819
93	94	341,609	211,918	93	94	341,473	211,724
93	100	14,450	8,955	93	100	14,450	8,955
94	95	327,920	203,361	94	95	327,841	203,247
94	101	13,600	8,429	94	101	13,600	8,429
95	96	227,199	140,872	95	96	227,175	140,839
96	97	169,361	104,995	96	97	169,333	104,955
97	98	133,639	82,838	97	98	133,631	82,827
98	99	77,525	48,050	98	99	77,521	48,045

- Newton Polar

```
function
[V,ite,Alir,Sg,SL,SumG,SumL,Rr,RugiS]=NewtonPolar(N,z,Lc,Tr,Ts,Cap,Beban,Pbase,Zbase,
TypSal)
%Loadflow Metode Newton Raphson Polar
%Copyright (c) 2002 by Ugro Software
```

```
%Baca Data-----
ite=0;
[V,Sg,SL,TypeBus]=BacaData(N,Beban,Pbase);
[z,Lc]=UpdateSaluran(N,z,Lc,Zbase,TypSal);
[Y]=Admitansi(N,z,Lc,Tr,Ts,Cap);
for i=1:15
    [dS]=PowerMismatch(N,Y,Lc,Sg,SL,TypeBus,V);
    [Cek]=CekKonvergen(N,dS,TypeBus);
    if Cek==1
        break;
    end
    [Jq]=Jacobian(N,V,Y,TypeBus);
    [V]=UpdateTegangan(N,V,Jq,dS,TypeBus);
    ite=ite+1;
end
[Vr]=UbahRectangular(N,V);
[Alir]=AlirDaya(N,Vr,Y,Lc,Pbase);
[Sg]=Daya(N,Vr,TypeBus,Sg,SL,Y,Pbase,Alir);
SL=Pbase*SL;
[SumG,SumL,Rr]=RugiRugi(N,Sg,SL);
[RugiS]=RugiSaluran(N,z,Alir);
```

```
function [V,Sg,SL,TypeBus]=BacaData(N,Beban,Pbase)
V=zeros(N,1);
Sg=zeros(N,1);
SL=zeros(N,1);
TypeBus=zeros(N,1);
for i=1:N
    V(i)=complex(Beban(i,1),Beban(i,2));
    Sg(i)=complex(Beban(i,3)/Pbase,Beban(i,4)/Pbase);
    SL(i)=complex(Beban(i,5)/Pbase,Beban(i,6)/Pbase);
    TypeBus(i)=Beban(i,7);
end
```

```
function [z,Lc]=UpdateSaluran(N,z,Lc,Zbase,TypSal)
if TypSal==2
    for i=1:N
        for j=1:N
            r=real(z(i,j));
            x=imag(z(i,j));
            if x~=0
                z(i,j)=complex(r/Zbase,x/Zbase);
                Lc(i,j)=Lc(i,j)/Zbase;
            end
        end
    end
end
end
```

```

function [Y]=Admitansi(N,z,Lc,Tr,Ts,Cap)
Y=zeros(N,N);
C=zeros(N,N);
for i=1:N
    for j=1:N
        xa=imag(z(i,j));
        if xa~=0
            z(j,i)=z(i,j);
            Lc(j,i)=Lc(i,j);
        end
    end
end
for i=1:N
    for j=1:N
        xa=imag(z(i,j));
        if xa~=0
            C(i,j)=1/z(i,j);
        end
    end
end
for i=1:N
    for j=1:N
        if i==j
            sumA=0;
            sumB=0;
            for k=1:N
                if i~=k
                    sumA=sumA+real(C(i,k));
                    sumB=sumB+imag(C(i,k))+Lc(i,k);
                end
            end
            if Cap(i)~=0
                sumB=sumB+Cap(i);
            end
            Y(i,j)=complex(sumA,sumB);
        else
            Y(i,j)=complex(-real(C(i,j)),-imag(C(i,j)));
        end
    end
end
for i=1:N
    for j=1:N
        if Tr(i,j)~=0
            Tr(i,j)=1/Tr(i,j);
            Y(i,i)=Y(i,i)-C(i,j);
            Y(i,i)=Y(i,i)+C(i,j)*Tr(i,j)^2;
            Y(i,j)=Tr(i,j)*Y(i,j);
            Y(j,i)=Y(i,j);
        end
    end
end
for i=1:N
    for j=1:N
        ax=real(Ts(i,j));
        if ax~=0
            ax=real(Ts(i,j))*cos(imag(Ts(i,j)));
            bx=real(Ts(i,j))*sin(imag(Ts(i,j)));
            ts=complex(ax,bx);

```

```

        Y(i,j)=-C(i,j)/ts;
        Y(j,i)=-C(i,j)/conj(ts);
        Y(i,i)=Y(i,i)-C(i,j);
        Y(i,i)=Y(i,i)+C(i,j)/(ax^2+bx^2);
    end
end
end
for i=1:N
    if Cap(i)~=0
        re=real(Y(i,i));
        im=imag(Y(i,i))+Cap(i);
        Y(i,i)=complex(re,im);
    end
end
end

```

```

function [dS]=PowerMismatch(N,Y,Lc,Sg,SL,TypBus,V)

```

```

%Fungsi ini untuk menghitung selisih daya

```

```

PV=0;

```

```

for i=1:N

```

```

    if TypBus(i)==2

```

```

        PV=PV+1;

```

```

    end

```

```

end

```

```

n=N-1+N-1-PV;

```

```

dS=zeros(n,1);

```

```

Pc=zeros(N,1);

```

```

Qc=zeros(N,1);

```

```

sp=0;

```

```

sq=0;

```

```

for i=1:N

```

```

    if TypBus(i)~=1

```

```

        sum1=0;

```

```

        for j=1:N

```

```

            Gij=real(Y(i,j));

```

```

            Bij=imag(Y(i,j));

```

```

            Ui=real(V(i));

```

```

            Uj=real(V(j));

```

```

            dij=imag(V(i))-imag(V(j));

```

```

            sum1=sum1+Ui*Uj*(Gij*cos(dij)+Bij*sin(dij));

```

```

        end

```

```

        Pc(i)=sum1;

```

```

    end

```

```

    if TypBus(i)==3

```

```

        sum2=0;

```

```

        for j=1:N

```

```

            Gij=real(Y(i,j));

```

```

            Bij=imag(Y(i,j));

```

```

            Ui=real(V(i));

```

```

            Uj=real(V(j));

```

```

            dij=imag(V(i))-imag(V(j));

```

```

            sum2=sum2+Ui*Uj*(Gij*sin(dij)-Bij*cos(dij));

```

```

        end

```

```

        Qc(i)=sum2;

```

```

    end

```

```

end

```

```

sp=0;

```

```

sq=N-1;

```

```

for i=1:N
    if TypBus(i)~=1
        sp=sp+1;
        dS(sp)=real(Sg(i))-real(SL(i))-Pc(i);
    end
    if TypBus(i)==3
        sq=sq+1;
        dS(sq)=imag(Sg(i))-imag(SL(i))-Qc(i);
    end
end
end

```

```

function [Jq]=Jaqobian(N,V,Y,TypBus)

```

```

PV=0;

```

```

for i=1:N

```

```

    if TypBus(i)==2

```

```

        PV=PV+1;

```

```

    end

```

```

end

```

```

NJq=N-1+N-1-PV;

```

```

Jq=zeros(NJq,NJq);

```

```

%Pembentukan Jaqobian H

```

```

row=0;

```

```

for i=1:N

```

```

    if TypBus(i)~=1

```

```

        row=row+1;

```

```

        col=0;

```

```

        for j=1:N

```

```

            if TypBus(j)~=1

```

```

                col=col+1;

```

```

                Ui=real(V(i));

```

```

                di=imag(V(i));

```

```

                Uj=real(V(j));

```

```

                dj=imag(V(j));

```

```

                Gij=real(Y(i,j));

```

```

                Bij=imag(Y(i,j));

```

```

                if j==i

```

```

                    sum=0;

```

```

                    for k=1:N

```

```

                        Uk=real(V(k));

```

```

                        dk=imag(V(k));

```

```

                        Gjk=real(Y(j,k));

```

```

                        Bjk=imag(Y(j,k));

```

```

                        sum=sum+((Gjk*sin(dj-dk)-Bjk*cos(dj-dk))*Uk);

```

```

                    end

```

```

                    Qj=sum*Uj;

```

```

                    Jq(row,col)=-Qj-Bij*Uj^2;

```

```

                else

```

```

                    Jq(row,col)=Ui*Uj*(Gij*sin(di-dj)-Bij*cos(di-dj));

```

```

                end

```

```

            end

```

```

        end

```

```

    end

```

```

end

```

```

%Pembentukan Jaqobian L

```

```

row=N-1;

```

```

for i=1:N

```

```

    if TypBus(i)==3

```

```

        row=row+1;

```



```

        end
    end
end
%Pembentukan Jaqobian M
row=N-1;
for i=1:N
    if TypBus(i)==3
        row=row+1;
        col=0;
        for j=1:N
            if TypBus(j)~=1
                col=col+1;
                Ui=real(V(i));
                di=imag(V(i));
                Uj=real(V(j));
                dj=imag(V(j));
                Gij=real(Y(i,j));
                Bij=imag(Y(i,j));
                if j==i
                    sum=0;
                    for k=1:N
                        Uk=real(V(k));
                        dk=imag(V(k));
                        Gjk=real(Y(j,k));
                        Bjk=imag(Y(j,k));
                        sum=sum+((Gjk*cos(dj-dk)+Bjk*sin(dj-dk))*Uk);
                    end
                    Pj=sum*Uj;
                    Jq(row,col)=Pj-Gij*Uj^2;
                else
                    Jq(row,col)=-Ui*Uj*(Gij*cos(di-dj)+Bij*sin(di-dj));
                end
            end
        end
    end
end
end
end
end
end

```

```
function [V]=UpdateTegangan(N,V,Jq,dS,TypeBus)
```

```

PV=0;
for i=1:N
    if TypeBus(i)==2
        PV=PV+1;
    end
end
n=N-1+N-1-PV;
dV=zeros(n,1);
dV=Jq\dS;
sp=0;
sq=0;
for i=1:N
    if TypeBus(i)~=1
        sp=sp+1;
        V(i)=complex(real(V(i)),imag(V(i))+dV(sp));
    end
end
sq=sq+1;
for i=1:N
    if TypeBus(i)==3

```

```

    sq=sq+1;
    dt=dV(sq)*real(V(i));
    V(i)=complex(real(V(i))+dt,imag(V(i)));
end
end

```

```

function [Cek]=CekKonvergen(N,dS,TypeBus)
Cek=1;
PV=0;
for i=1:N
    if TypeBus(i)==2
        PV=PV+1;
    end
end
n=N-1+N-1-PV;
Tol=0.0001;
for i=1:n
    if abs(dS(i))>Tol
        Cek=0;
    end
end
end

```

```

function [Vr]=UbahRectangular(N,V)
Vr=zeros(N,1);
for i=1:N
    Vreal=real(V(i))*cos(imag(V(i)));
    Vimag=real(V(i))*sin(imag(V(i)));
    Vr(i)=complex(Vreal,Vimag);
end
end

```

```

function [Alir]=AlirDaya(N,V,Y,Lc,Pbase)
Alir=zeros(N,N);
for i=1:N
    for j=1:N
        Lc(j,i)=Lc(i,j);
    end
end
for i=1:N
    for j=1:N
        if j~=i
            Yx=imag(Y(i,j));
            if Yx~=0
                Ys=complex(-real(Y(i,j)),-imag(Y(i,j)));
                Ls=complex(0,Lc(i,j));
                Al=conj(V(i))*(V(i)-V(j))*Ys+conj(V(i))*V(i)*Ls;
                Alir(i,j)=complex(real(Al)*Pbase,-imag(Al)*Pbase);
            end
        end
    end
end
end
end

```

```

function [Sg]=Daya(N,V,Typ,Sg,SL,Y,Pbase,Alir)
for i=1:N
    sum=0;
    if Typ(i)==1
        for j=1:N
            Al=imag(Y(i,j));

```

```

    if Al~=0
        sum=sum+Alir(i,j);
    end
end
Sg(i)=sum+SL(i)*Pbase;
end
sum=0;
if Typ(i)==2
    for j=1:N
        sum=sum+(imag(V(i))*(real(V(j))*real(Y(i,j))+imag(V(j))*-imag(Y(i,j)))-...
            real(V(i))*(imag(V(j))*real(Y(i,j))-real(V(j))*-imag(Y(i,j))));
    end
    Sg(i)=complex(real(Sg(i))*Pbase,(sum+imag(SL(i))*Pbase);
end
if Typ(i)==3
    Cap=imag(Sg(i));
    if Cap~=0
        Sg(i)=Pbase*Sg(i);
    end
end
end
end

```

```

function [SumG,SumL,Rr]=RugiRugi(N,Sg,SL)

```

```

Rr=zeros(N,1);

```

```

SumG=0+0i;

```

```

SumL=0+0i;

```

```

for i=1:N

```

```

    SumG=SumG+Sg(i);

```

```

    SumL=SumL+SL(i);

```

```

end

```

```

Rr=SumG-SumL;

```

```

function [RugiS]=RugiSaluran(N,z,Alir)

```

```

RugiS=zeros(N,N);

```

```

for i=1:N

```

```

    for j=1:N

```

```

        Xa=imag(z(i,j));

```

```

        if Xa~=0

```

```

            RugiS(i,j)=Alir(i,j)+Alir(j,i);

```

```

        end

```

```

    end

```

```

end

```

- Cetak Newton Raphson

```

function [Nbus]=CetakNewtonRaphson(Nbus,ite,selang,V,Sg,SL,Z,Alir,RugiS,SumG,SumL,Rr)
disp(' ');
disp(['          Hasil Perhitungan Aliran Daya']);
disp(['          Dengan Metode Newton-Raphson']);
disp(' ');
disp(['Jumlah Bus      = ' num2Str(Nbus)]);
disp(['Jumlah iterasi = ' num2Str(ite)]);
disp(['Waktu Hitung   = ' num2Str(selang) ' detik']);
disp(' ');
disp(['-----']);
disp([' Bus Tegangan   Pembangkitan   Pembebanan   ']);
disp([' (pu)           mw      mvar      mw      mvar      ']);
disp(['-----']);
Sa=[(1:Nbus)' real(V) imag(V) real(Sg) imag(Sg) real(SL) imag(SL)];
fprintf('%5.0f %8.5f %8.5f %8.3f %8.3f %8.3f %8.3fn',Sa);
disp(['-----']);
disp(' ');
disp(['Aliran Daya Antar Saluran']);
disp(' ');
s=0;
disp(['-----']);
disp([' Bus      Daya      Bus      Daya      ']);
disp([' from to  mw  mvar  from to  mw  mvar      ']);
disp(['-----']);
for i=1:Nbus
    for j=1:Nbus
        x=imag(RugiS(i,j));
        if x~=0
            S=[i j real(Alir(i,j)) imag(Alir(i,j)) j i real(Alir(j,i)) imag(Alir(j,i))];
            fprintf(' %3.0f %3.0f %9.3f %9.3f %3.0f %3.0f %9.3f %9.3fn',S);
        end
    end
end
disp(['-----']);
disp(' ');
disp(['Rugi Daya Antar Saluran']);
disp(' ');
s=0;
disp(['-----']);
disp([' Bus      Rugi      ']);
disp([' from to  mw  mvar      ']);
disp(['-----']);
for i=1:Nbus
    for j=1:Nbus
        x=imag(Z(i,j));
        if x~=0
            S=[i j real(RugiS(i,j)) imag(RugiS(i,j))];
            fprintf(' %3.0f %3.0f %8.3f %8.3fn',S);
        end
    end
end
disp(['-----']);
disp(' ');
disp(['Jumlah Pembangkitan = ' num2Str(SumG) ' kVA']);
disp(['Jumlah Pembebanan   = ' num2Str(SumL) ' kVA']);
disp(['Jumlah Rugi-Rugi    = ' num2Str(Rr) ' kVA']);
disp(['Jumlah Iterasi      = ' num2Str(ite)]);
disp(' ');

```

- Perhitungan Objektif function

```
function [dZ]=HitungObjFunc(typsal)
global Nsal
CostCap=HitungCostCap(Nsal,typsal);
global Beban
Za=UpdateZ(typsal);
sumZ=HitungPloss(Beban,Za);
dZ=CostCap+sumZ;
```

```
function [CostCap]=HitungCostCap(Nsal,typsal)
global Nbus
global Z LenSal
global Cable
sa=0;
CostCap=0;
for i=1:Nbus
    for j=1:Nbus
        im=imag(Z(i,j));
        if im~=0
            sa=sa+1;
            typ=round(typsal(sa));
            CostCap=CostCap+(LenSal(i,j)/1000*Cable(typ,4));
        end
    end
end
```

```
function [Za]=UpdateZ(typsal)
global Nbus Z LenSal
global Cable
Za=zeros(Nbus,Nbus);
sa=0;
for i=1:Nbus
    for j=1:Nbus
        Za(i,j)=complex(0,0);
        im=imag(Z(i,j));
        if im~=0
            sa=sa+1;
            typ=round(typsal(sa));
            re=LenSal(i,j)/1000*Cable(typ,2);
            im=LenSal(i,j)/1000*Cable(typ,3);
            Za(i,j)=complex(re,im);
        end
    end
end
```

```
function [BebanNew]=UpdateBeban(Beban,r,a)
x=Beban(:,1);
row=length(x);
x=Beban(1,:);
col=length(x);
BebanNew=zeros(row,col);
for i=1:row
    for j=1:col
        BebanNew(i,j)=Beban(i,j);
    end
end
```

```

end
end
for i=1:row
    BebanNew(i,5)=Beban(i,5)*(1+r)^a;
    BebanNew(i,6)=Beban(i,6)*(1+r)^a;
end

```

```

function [sumZ]=HitungPloss(Beban,Za)
global N M r LSF Intr Infr Ce
global Nbus Lc Tr Ts Cap Pbase Zbase TypSal
Pw=(1+Intr)/(1+Infr);
sumZ=0;
for i=1:N
    if i<=M
        a=i;
    else
        a=M;
    end
    BebanNew=UpdateBeban(Beban,r,a);
    [V,ite,Alir,Sg,SL,SumG,SumL,Rr,RugiS]=NewtonPolar(Nbus,Za,Lc,Tr,Ts,Cap,...
        BebanNew,Pbase,Zbase,TypSal);
    Ploss=real(Rr);
    sumZ=sumZ+(Ploss*Ce*Pw^i*8760*LSF(i));
end

```

- Optimal Select Cable

```

function [typsal]=OptimSelectCab
datSal=CariDataSaluran;
typsal=InitCable;
global Nsal
Zold=0;
for i=Nsal:-1:1
    while typsal(i)>1
        typsal(i)=typsal(i)-1;
        [V,Alir]=HitungLoadflow(typsal);
        [cekV]=HitungPinV(V);
        [cekS]=HitungPinS(Alir);
        if (cekS==0) || (cekV==0)
            Znew=HitungObjFunc(typsal);
            if Zold~=0
                dif=Zold-Znew;
                if dif<0
                    typsal(i)=typsal(i)+1;
                    %Zold=0;
                    break;
                end
            end
            Zold=Znew;
        else
            typsal(i)=typsal(i)+1;
            break;
        end
    end
    fprintf('%2.0f,i);
end

```

```

function [Za]=UpdateZ(typsal)
global Nbus Z LenSal
global Cable
Za=zeros(Nbus,Nbus);
sa=0;
for i=1:Nbus
    for j=1:Nbus
        Za(i,j)=complex(0,0);
        im=imag(Z(i,j));
        if im~=0
            sa=sa+1;
            typ=round(typsal(sa));
            re=LenSal(i,j)/1000*Cable(typ,2);
            im=LenSal(i,j)/1000*Cable(typ,3);
            Za(i,j)=complex(re,im);
        end
    end
end
end

```

```

function [BebanNew]=UpdateBeban(Beban,r,a)
x=Beban(:,1);
row=length(x);
x=Beban(1,:);
col=length(x);
BebanNew=zeros(row,col);
for i=1:row

```

```

    for j=1:col
        BebanNew(i,j)=Beban(i,j);
    end
end
for i=1:row
    BebanNew(i,5)=Beban(i,5)*(1+r)^a;
    BebanNew(i,6)=Beban(i,6)*(1+r)^a;
end

```

```

function [tysal]=InitCable
global Cable
x=Cable(1,:);
ncab=length(x);
global Nsal
tysal=zeros(Nsal,1);
for i=1:Nsal
    tysal(i)=round(Cable(ncab,1));
end

```

```

function [cekV]=HitungPinV(V)
nbus=length(V);
cekV=0;
global BatasV
for i=1:nbus
    absV=abs(V(i));
    if absV>BatasV.max
        cekV=1;
        break;
    end
    if absV<BatasV.min
        cekV=1;
        break;
    end
end
end

```

```

function [cekS]=HitungPinS(Alir)
x=Alir(:,1);
nbus=length(x);
global CapSal
cekS=0;
for i=1:nbus
    for j=1:nbus
        re=real(Alir(i,j));
        if re>0
            if re>CapSal(i,j)
                cekS=1;
                break;
            end
        end
    end
end
end
end

```

```

function [datSal]=CariDataSaluran
global Z
global Nbus Nsal
datSal=zeros(Nsal,2);
sa=0;

```

```

for i=1:Nbus
    for j=1:Nbus
        im=imag(Z(i,j));
        if im~=0
            sa=sa+1;
            datSal(sa,1)=i;
            datSal(sa,2)=j;
        end
    end
end
end

```

```

function [V,Alir]=HitungLoadflow(typosal)
global M r
global Nbus Z Lc Tr Ts Cap Pbase Zbase TypSal
global Beban Cap
Za=UpdateZ(typosal);
BebanNew=UpdateBeban(Beban,r,M);
[V,ite,Alir,Sg,SL,SumG,SumL,Rr,RugiS]=NewtonPolar(Nbus,Za,Lc,Tr,Ts,Cap,...
    BebanNew,Pbase,Zbase,TypSal);

```

- Update Za

```

function [Za]=UpdateZa(typosal)
global Nbus Z LenSal
global Cable
Za=zeros(Nbus,Nbus);
sa=0;
for i=1:Nbus
    for j=1:Nbus
        Za(i,j)=complex(0,0);
        im=imag(Z(i,j));
        if im~=0
            sa=sa+1;
            typ=round(typosal(sa));
            re=LenSal(i,j)/1000*Cable(typ,2);
            im=LenSal(i,j)/1000*Cable(typ,3);
            Za(i,j)=complex(re,im);
        end
    end
end
end
end

```

- Decode Saluran

```
function [Nsal,Z,Lc,Tr,Ts,CapSal,LenSal,TypSal]=DecodeSaluran(Nbus,Sal)
X=Sal(:,1);
Nsal=length(X);
Z=zeros(Nbus,Nbus);
Lc=zeros(Nbus,Nbus);
Tr=zeros(Nbus,Nbus);
Ts=zeros(Nbus,Nbus);
CapSal=zeros(Nbus,Nbus);
LenSal=zeros(Nbus,Nbus);
TypSal=zeros(Nbus,1);
for i=1:Nsal
    dari=round(Sal(i,1));
    ke=round(Sal(i,2));
    Z(dari,ke)=complex(Sal(i,3),Sal(i,4));
    Lc(dari,ke)=Sal(i,5);
    Tr(dari,ke)=Sal(i,6);
    Ts(dari,ke)=complex(Sal(i,7),Sal(i,8));
    CapSal(dari,ke)=Sal(i,9);
    CapSal(ke,dari)=Sal(i,9);
    LenSal(dari,ke)=Sal(i,10);
    LenSal(ke,dari)=Sal(i,10);
    TypSal(i)=round(Sal(i,11));
end
```

- Decode Bus

```
function [Nbus,Beban,Cap]=DecodeBus(Bus)
X=Bus(:,1);
Nbus=length(X);
Beban=zeros(Nbus,7);
Cap=zeros(Nbus,1);
for i=1:Nbus
    Beban(i,1)=Bus(i,1);
    Beban(i,2)=Bus(i,2);
    Beban(i,3)=Bus(i,3);
    Beban(i,4)=Bus(i,4);
    Beban(i,5)=Bus(i,5);
    Beban(i,6)=Bus(i,6);
    Beban(i,7)=Bus(i,8);
    Cap(i,1)=Bus(i,7);
end
```

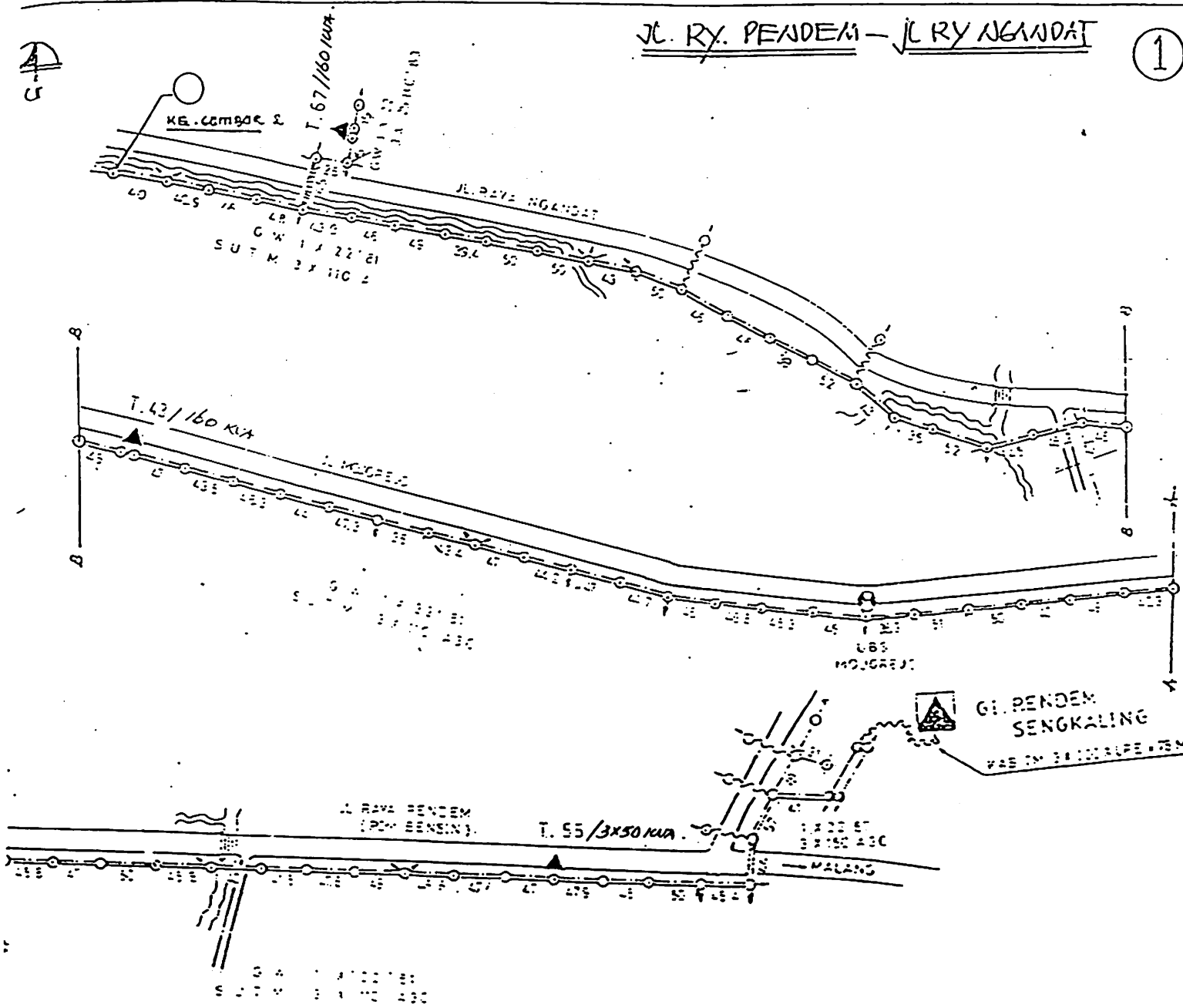
data penyulang pujan

UP & J BATU



JL. RY. PENDEMI - JL RY NGANDAT

1

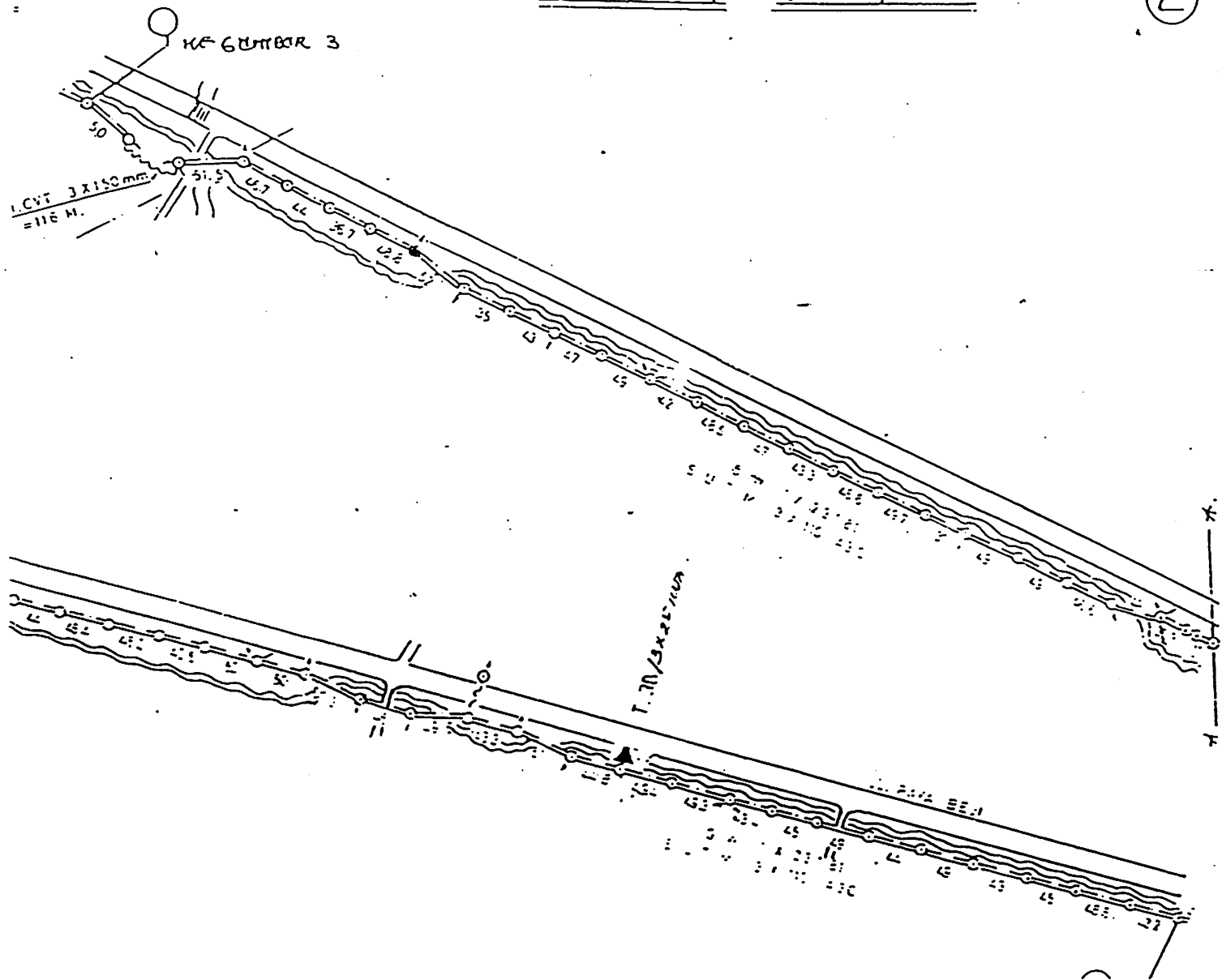


HASIL INSPEKSI JARINGAN			
No	KEDAM PENYURANG	REKAMAN	REMARK
1	Propag 10TM 3x110 ABC	Kaa	
2	TM 1	Bh	
3	TM 2	Bh	7
4	TM 4	Bh	
5	TM 6	Bh	7
6	TM 8	Bh	
7	TM 10	Bh	
8	TM 11	Bh	
9	TM 12	Bh	
10	TM 14	Bh	
11	TM 17	Bh	103
12	TM TYPE POLE	Bh	
13	CONTRA MAS	Bh	8
14	SCHOOR	Bh	
15	ERUCK SCHOOR	Bh	
16	Jumlah Tangkapan TM	Bh	
17	Jumlah Tangkapan TM	Bh	
18	Jumlah Gerda	Bh	
19	Jumlah Kiri Talo	Kia	170
20	Jumlah Kiri Talo	Bh	
21	Jumlah FCI	Bh	
22	Jumlah CO	Bh	9
23	Jumlah AVS	Bh	
24	Jumlah LBS	Bh	
No	KODAM PERUSAHAAN	KODE REKAMAN	REMARK
1	Requis - requis pole	A	KMS
2	Propagasi Tangk TM	B	Bh
3	Propagasi Tangk	C	Bh
4	Propagasi Conductor	D	KMS
5	Propagasi Conductor	E	KMS
6	Tangkapan Tangkapan	F	Bh
7	Propagasi Pasir	G	Bh
8	Propagasi Tangk/GTI	H	Bh
9	Propagasi Gerdas Wire	I	KMS
10	Propagasi COLB/AVS	J	Bh
11	Propagasi Promotor LBS	K	Bh
12	Propagasi Living Conductor	L	Bh
13	Propagasi Lahan	M	Bh
14	Propagasi Anover	N	Bh
15	Propagasi COLB/AVS	O	Bh
16	Propagasi Conductor	P	Bh

PT. PLN (PERSERO) DISTRIBUSI JATIM - AP&J MALANG UNIT PELAYANAN & JARINGAN BATU		
PENYURANG : PUJON		
pelaksana	pengawas	diketahui
WIDODO	SUJOKO	MANAGER

K. RY. BEJI - JL. PATIMURA

(2)

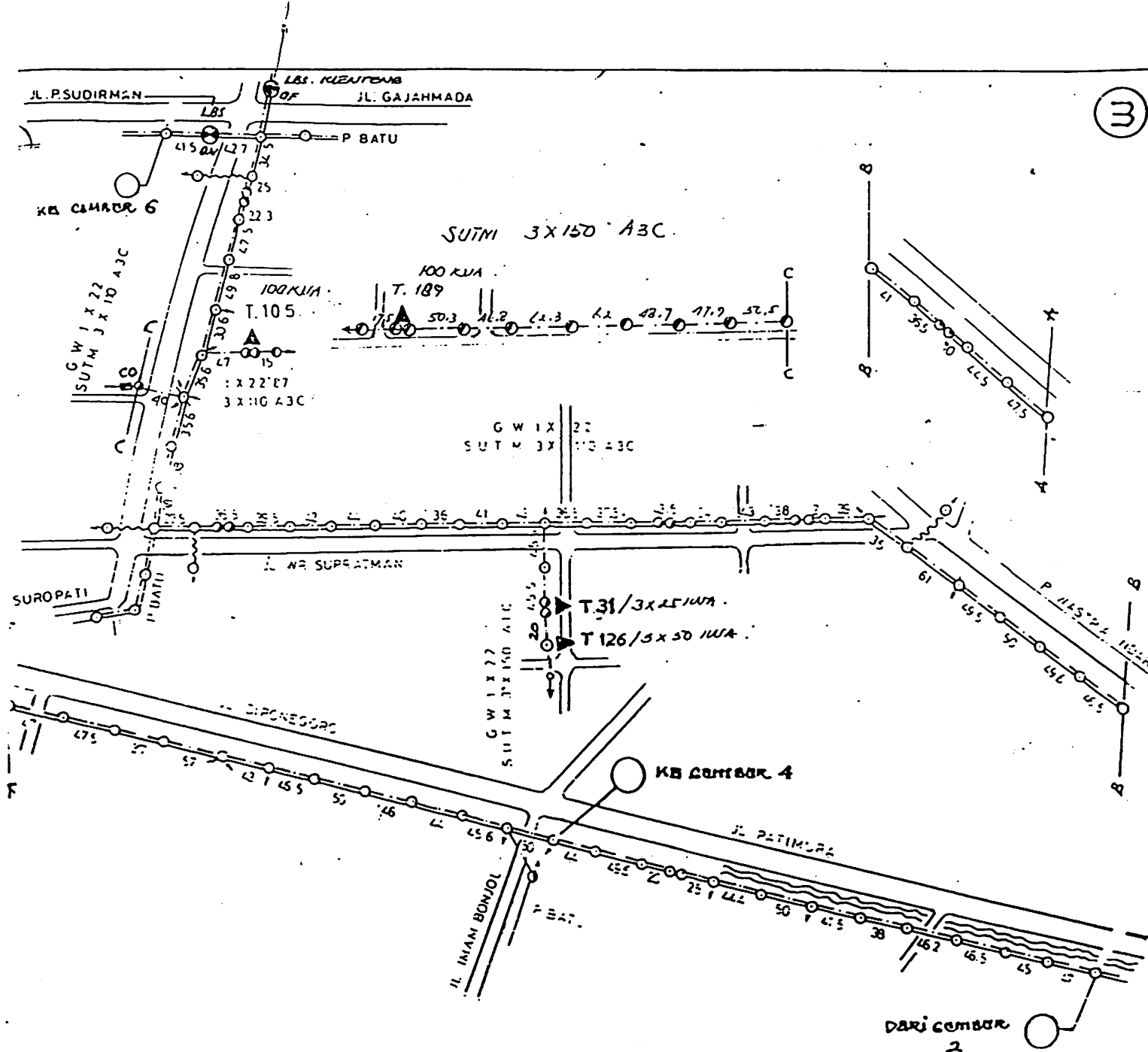


HASIL INSPEKSI JARINGAN				
No.	KEMASAN PERMULANGAN	KAWAN	REVISI	
1	Panjang SUTM 3110.43C	Kaw	2/21	
2	TM 1	Bh		
3	TM 2	Bh		
4	TM 4	Bh		
5	TM 5	Bh		
6	TM 8	Bh		
7	TM 10	Bh		
8	TM 11	Bh		
9	TM 12	Bh		
10	TM 14	Bh		
11	TM 15	Bh		
12	TM TYPE POLE	Bh		
13	CONTRA MAS	Bh		
14	SCHOOR	Bh		
15	DRUCK SCHOOR	Bh		
16	Jambh Tiasa brca TM	Bh		
17	Jambh Tiasa brca TM	Bh		
18	Jambh Gerda	Bh		
19	Jambh tra Tiasa	Kaw	71	
20	Jambh Koperator	Bh		
21	Jambh PCT	Bh		
22	Jambh CO	Bh	3	
23	Jambh A VS	Bh		
24	Jambh L E 1	Bh		
No.	MACAM PERUSAHAAN	KODS	KAWAN	REVISI
1	Rampung - rampas pelca	A	Krus	5
2	Pemasangan Tiasa TM	B	Bh	51
3	Pemasangan Tiasa	C	Bh	
4	Pemasangan Conduktor	D	Krus	
5	Pemasangan Conduktor	E	Krus	
6	Tiasa sdrus / krosas	F	Bh	2
7	Pasangan Pasak	G	Bh	
8	Pasangan Tiasa / GTT	H	Bh	
9	Pemasangan Grouc Wir	I	Krus	
10	Pemasangan COLESALVUS	J	Bh	
11	Pemasangan/pemasangan LBS	K	Bh	
12	Pemasangan Lany Conduktor	L	Bh	
13	Pemasangan Lohar	M	Bh	
14	Pemasangan Arus	N	Bh	
15	Pemasangan COLESALVUS	O	Bh	
16	Pemasangan Cron. Arn	P	Bh	

PT. PLN (PERSERO)
DISTRIBUSI JATIM - AP&J MALANG
UNIT PELAYANAN & JARINGAN BATU

PENYULANG : PUJON

pelaksana	pengawas	diketahui



HASIL INSPEKSI JARINGAN			
No.	KADAAN PENYULANG	SATUAN	JMLAH
1	Penjang SUTM 3x10 A3C	Kau	2578
2	TM 1	Bh	13
3	TM 2	Bh	-
4	TM 4	Bh	2
5	TM 5	Bh	-
6	TM 6	Bh	-
7	TM 10	Bh	-
8	TM 11	Bh	1
9	TM 12	Bh	-
10	TM 14	Bh	-
11	TM 15 A3C 150m	Bh	490
12	TM TYPE POLE	Bh	-
13	CONTRA MAS	Bh	-
14	SCHOOR	Bh	-
15	DRUCK SCHOOR	Bh	-
16	Jumlah Tiang beton TM	Bh	16
17	Jumlah Tiang besi TM	Bh	2
18	Jumlah Garde	Bh	1
19	Jumlah bus Tislo	Kw	15
20	Jumlah Kapasitor	Bh	-
21	Jumlah PCT	Bh	-
22	Jumlah C.O	Bh	5
23	Jumlah AVS	Bh	-
24	Jumlah LBS	Bh	21

No.	MACAM PEKERJAAN	CODE	SATUAN	JMLAH
1	Rangka - rangka poles	A	Kris	-
2	Pemasangan Tiang TM	B	Bh	-
3	Pemasangan Tiang	C	Bh	-
4	Pemasangan Conduktor	D	Kris	-
5	Pemasangan Conduktor	E	Kris	-
6	Tiang siring/bropas	F	Bh	-
7	Pemasangan Pond	G	Bh	-
8	Pondasi Tiang/OTT	H	Bh	-
9	Pemasangan Ground Wvr	I	Kris	-
10	Pemasangan COLEBAVUM	J	Bh	-
11	Pemasangan Insulasi LBS	K	Bh	-
12	Pemasangan Lyang Cemar	L	Bh	-
13	Pemasangan Isolasi	M	Bh	-
14	Pemasangan Alur	N	Bh	-
15	Pemasangan COLEBAVUM	G	Bh	-
16	Pemasangan Cron Arm	P	Bh	-

PT. PLN (PERSERO)
DISTRIBUSI JATIM - AP&J MALANG
UNIT PELAYANAN & JARINGAN BATU

PENYULANG : PUJON

pelaksana	pengawas	diketahui

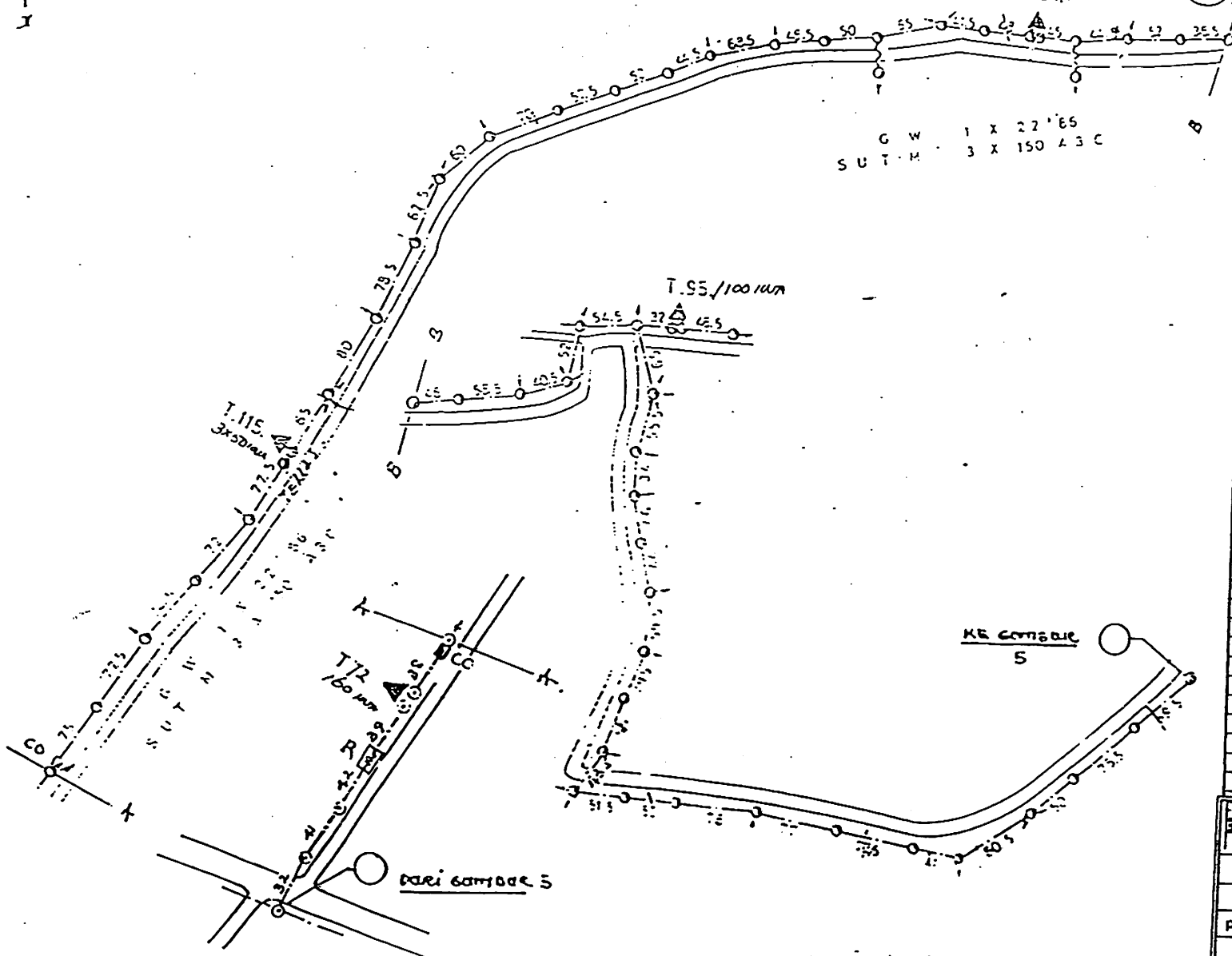
DARI CEMBAR
2



JL. DIPONEGORO - DK. KLEREK.

T.97/160 100

4



G W 1 X 22 'E5
S U T M 3 X 150 A 3 C

HASIL INSPEKSI JARINGAN		
No	MACAM PENYULANG	JUMLAH
1	Projeksi SUTM 3X/50 A3C	Kew 3079,5
2	TM 1	Bh 23
3	TM 2	Bh 18
4	TM 4	Bh 7
5	TM 5	Bh 7
6	TM 6	Bh 1
7	TM 10	Bh 3
8	TM 11	Bh
9	TM 12	Bh
10	TM 14	Bh
11	TM 15	Bh
12	TM TYPE POLE	Bh
13	CONTRA MAS	Bh
14	SCHOOR	Bh 28
15	DRUCK SCHOOR	Bh 6
16	Jamb. Tiang besi TM	Bh 52
17	Jamb. Tiang besi TM	Bh 6
18	Jamb. Gerda	Bh 4
19	Jamb. Era Tialo	Kew 570
20	Jamb. Kepala	Bh
21	Jamb. PCT	Bh
22	Jamb. CO	Bh 15
23	Jamb. LBS / Doc	Bh 1
24	Jamb. LBS	Bh 1

No	MACAM PERIKSAAN	KODE	JUMLAH
1	Resepi - rumpas poton	A	Kms
2	Periksaan Tiang TM	B	Bh
3	Periksaan Tiang	C	Bh
4	Periksaan Conduktor	D	Kms
5	Periksaan Conduktor	E	Kms
6	Tiang siling/kroos	F	Bh
7	Periksaan Pasak	G	Bh
8	Pondasi Tiang/GTY	H	Bh
9	Periksaan Ground Wir	I	Kms
10	Periksaan Pemeriksaan LBS	J	Bh
11	Periksaan Pemeriksaan LBS	K	Bh
12	Periksaan Lintang Conduktor	L	Bh
13	Periksaan Isolation	M	Bh
14	Periksaan Arrestor	N	Bh
15	Periksaan COLB/AVSS	O	Bh
16	Periksaan Cross Arm	P	Bh

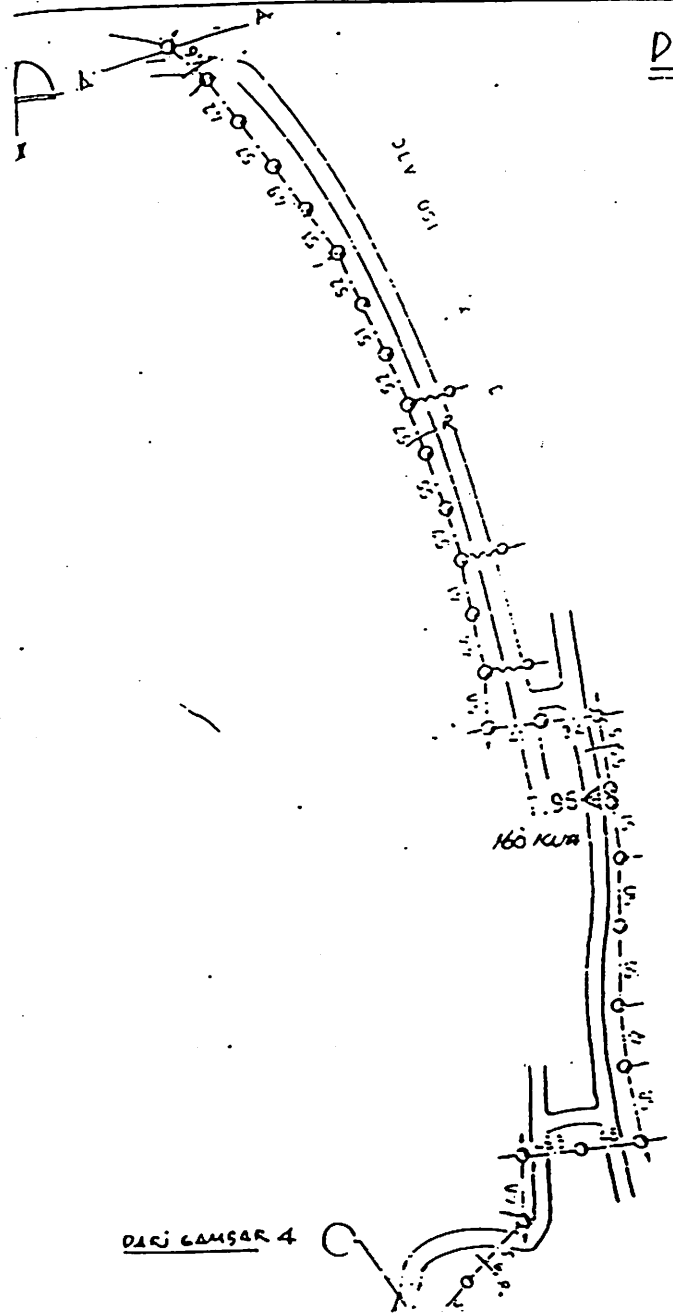
PT. PLN (PERSERO)
DISTRIBUSI JATIM - AP&J MALANG
UNIT PELAYANAN & JARINGAN BATU

PENYULANG : PUJON

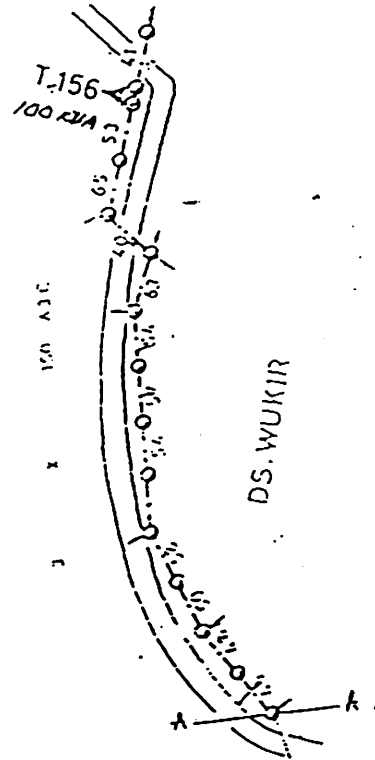
pelaksana	pengawas	diketahui
-----------	----------	-----------

DK. KLEREK — DK GUNUNG WUKIR

5



C W 1 x 72 x 6
 C U I H 1 x 150 A.T.C.



HASIL INSPEKSI JARINGAN			
No	MACAM PEMULANG	KATUN	JMLAH
1	Panjang SUTM 3x10/3C	Kms	2056,5
2	TM 1	Bb	20
3	TM 2	Bb	13
4	TM 4	Bb	/
5	TM 5	EA	/
6	TM 8	Bb	/
7	TM 10	Bb	4
8	TM 11	Bc	/
9	TM 12	Bb	/
10	TM 14	Bb	/
11	TM 15	Bb	/
12	TM TYPE POLE	Bb	/
13	CONTRA MAS	Bb	3
14	SCHROOR	Bb	20
15	DRUCK SCHROOR	Bb	6
16	Jumlah Tiang besi TM	Bb	43
17	Jumlah Tiang besi TM	Bb	/
18	Jumlah Garda	Bb	2
19	Jumlah tra Trafo	Kms	200
20	Jumlah Kapasitor	Bb	-
21	Jumlah PCT	EA	-
22	Jumlah CO	Bb	6
23	Jumlah AVS	Bb	-
24	Jumlah LBS	Bb	-
No	MACAM PEREMBAH	KODE	KATUN/JMLAH
1	Rampas - rampas pebas	A	Kms
2	Perantara Tiang TM	B	Bh
3	Perantara Tiang	C	Bh
4	Perantara Conduktor	D	Kms
5	Perantara Conduktor	E	Kms
6	Tiang saring / tropos	F	Bh
7	Perubahan Pasak	G	Bh
8	Pondasi Tiang/GIT	H	Bh
9	Perantara Grouded Wire	I	Kms
10	Perantara COLBALKAN	J	Bh
11	Perantara Perantara LES	K	Bh
12	Perantara Lymp Conector	L	Bh
13	Perantara Isolator	M	Bh
14	Perantara Arrestor	N	Bh
15	Perantara COLBALKAN	O	Bh
16	Perantara Cross Arm	P	Bh
17			

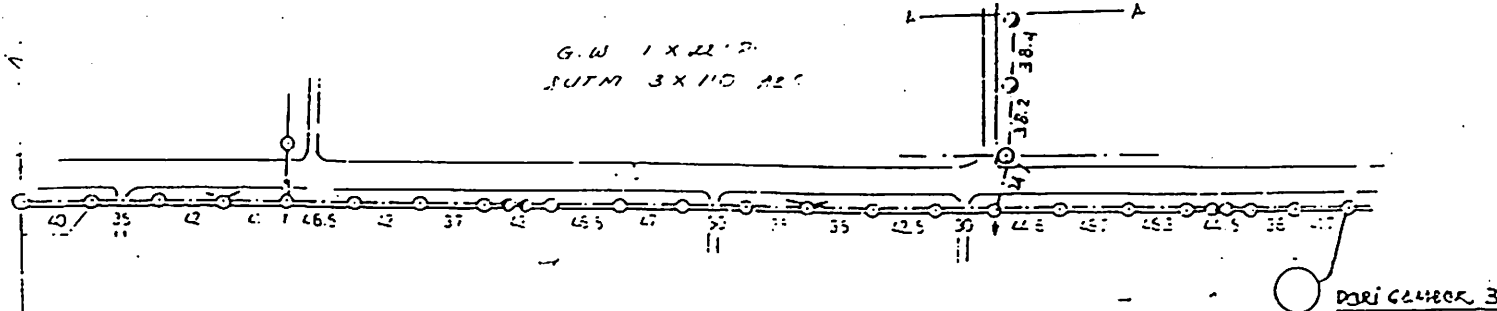
PT. PLN (PERSERO) DISTRIBUSI JATIM - AP&J MALANG UNIT PELAYANAN & JARINGAN BATU		
PENYULANG : PUJON		
pelaksana	pengawas	diketahui
SIKHO		MANAGER

K. P. SUDIRMAN — J. TRUNOJOYO

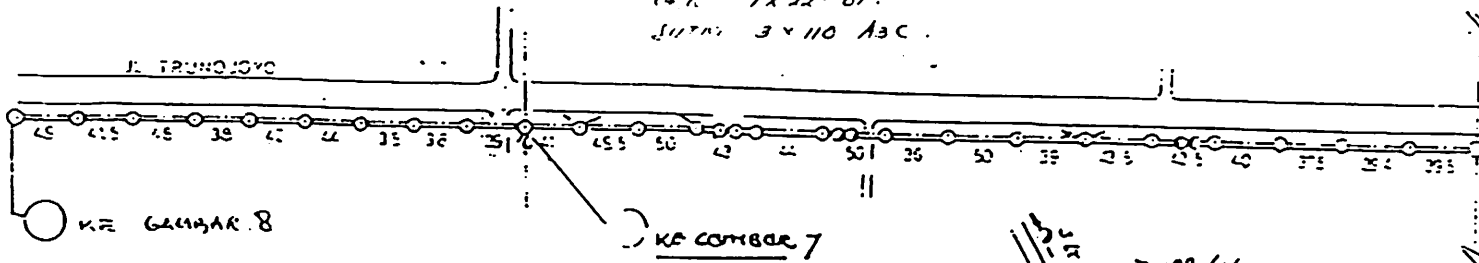
(5)

D
X

G.W 1 X 22' 2"
SUTM 3 X 110 ABC



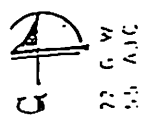
G.W 1 X 22' 8"
SUTM 3 X 110 ABC



HASIL INSPEKSI JARINGAN			
No	NAMA PERALATAN	SATUAN	JMLAH
1	Tanggul SUTM 3X110ABC	Kms	1895,7
2	TM 1	Bh	
3	TM 2	Bh	3
4	TM 4	Bh	1
5	TM 5	Bh	
6	TM 8	Bh	
7	TM 10	Bh	
8	TM 11	Bh	
9	TM 12	Bh	
10	TM 14	Bh	
11	TM 15 ABC 150mm	Bh	356
12	TM TYPE POLE	Bh	
13	CONTRA MAS	Eh	
14	SCROOR	Bh	
15	DRUCK SCROOR	Bh	
16	Jumlah Tiang besi TM	Bh	8
17	Jumlah Tiang besi TM	Eh	
18	Jumlah Garde	Bh	
19	Jumlah tra Trafo	Kms	160
20	Jumlah Kapasitor	Bh	
21	Jumlah PCT	Bh	
22	Jumlah CO	Bh	6
23	Jumlah AVS	Eh	
24	Jumlah LBS	Bh	

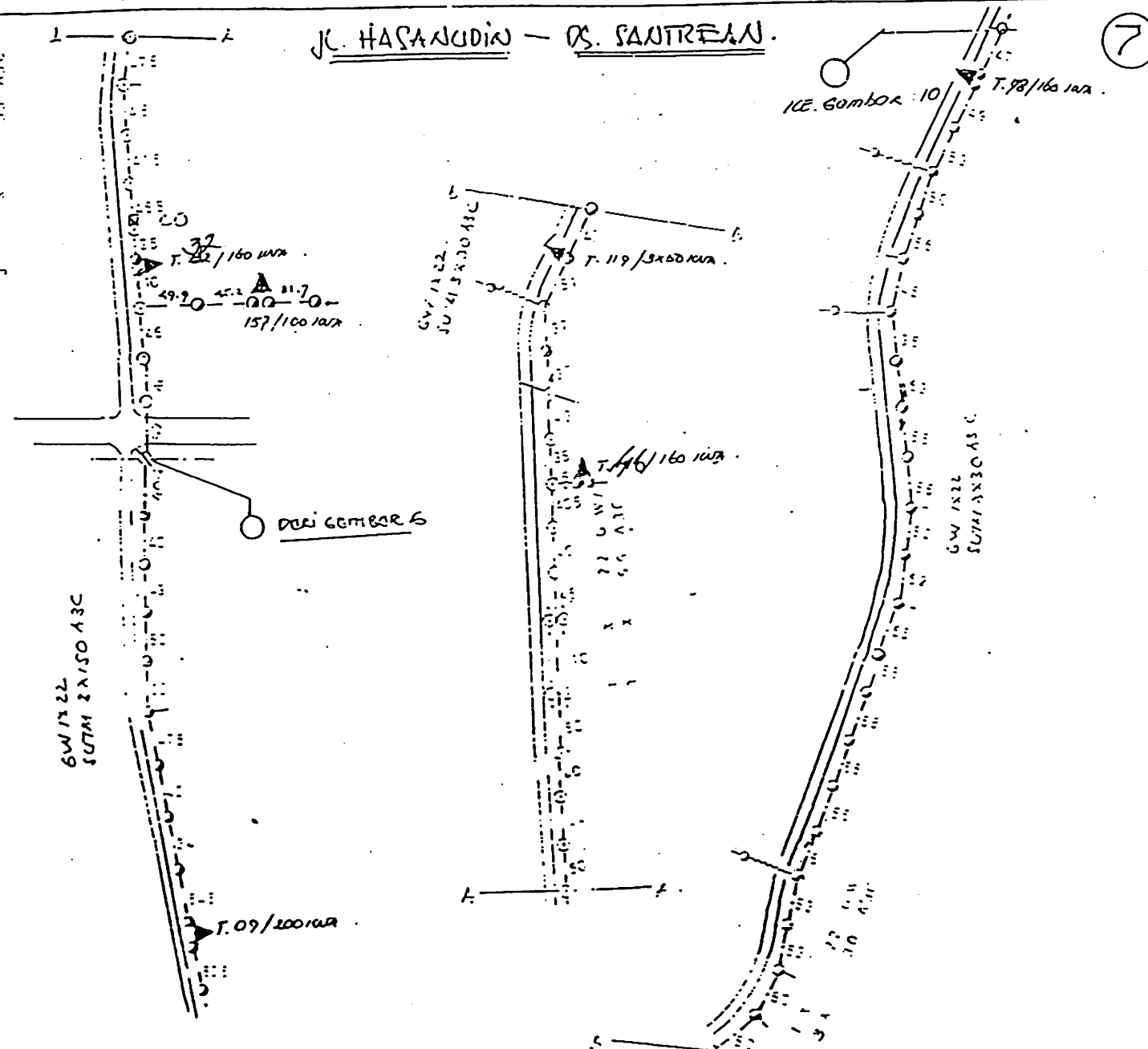
No	NAMA PERALATAN	KODE	SATUAN	JMLAH
1	Respon - respon poles	A	Kms	
2	Perencanaan Tiang TM	B	Bh	
3	Perencanaan Tiang	C	Bh	
4	Perencanaan Conaktor	D	Kms	
5	Perencanaan Conaktor	E	Kms	
6	Tiang smpul/stopos	F	Bh	
7	Perencanaan Pond	O	Eh	
8	Pondasi Tasse/GTI	H	Eh	
9	Perencanaan Ground Wlv	I	Kms	
10	Perencanaan COLEMAN'S	J	Bh	
11	Perencanaan Perencanaan LBS	K	Eh	
12	Perencanaan Lindap Conaktor	L	Eh	
13	Perencanaan Isolan	M	Eh	
14	Perencanaan Arsitek	N	Bh	
15	Perencanaan COLEMAN'S	O	Bh	
16	Perencanaan Cron Arsitek	P	Eh	

PT. PLN (PERSERO) DISTRIBUSI JATIM - AP&J MALANG UNIT PELAYANAN & JARINGAN BATU		
PENYULANG : PUJON		
pelaksana	pengawas	diketahui
	CHUKO	MANAGER



JL. HASANUDIN - DS. SANTREAN.

7



HASIL INSPEKSI JARINGAN			
No	MACAM PERUSAKAN	KEADAAN	SUKSES
1	Projeksi SUTM 3x30A3C	Kem	6223
2	TM 1	Bh	37
3	TM 2	Bh	17
4	TM 4	Bh	
5	TM 3	Bh	3
6	TM 8	Bh	
7	TM 10	Bh	
8	TM 11	Bh	
9	TM 12	Bh	
10	TM 14	Bh	
11	TM 15 A3C 150mm	Bh	
12	TM TYPE POLE	Bh	2
13	CONTRA MAS	Bh	4
14	SCROOR	Bh	27
15	DRUCK SCROOR	Bh	3
16	Jumlah Tiang besi TM	Bh	46
17	Jumlah Tiang besi TM	Bh	20
18	Jumlah Gardu	Bh	6
19	Jumlah bus Ties	Km	230
20	Jumlah Kapasitor	Bh	
21	Jumlah PCT	Bh	
22	Jumlah CO	Bh	21
23	Jumlah AVS	Bh	
24	Jumlah LBS	Bh	
No	MACAM PERUSAKAN	KODE	ISATUAN
1	Rampung - rampas pohon	A	Kms
2	Perusakan Tiang TM	B	Bh
3	Perusakan Tiang	C	Bh
4	Perusakan Conductor	D	Kms
5	Perusakan Conductor	E	Kms
6	Tiang sains/ropos	F	Bh
7	Perubahan Peral	G	Bh
8	Pondasi Tiang/GTT	H	Bh
9	Perbaikan Ground Wire	I	Kms
10	Perusakan COLES'AV'VS	J	Bh
11	Perusakan Perusakan LBS	K	Bh
12	Perusakan Livid Conductor	L	Bh
13	Perusakan Isolator	M	Bh
14	Perusakan Arrester	N	Bh
15	Perusakan COLES'AV'VS	O	Bh
16	Perusakan Crow Ara	P	Bh

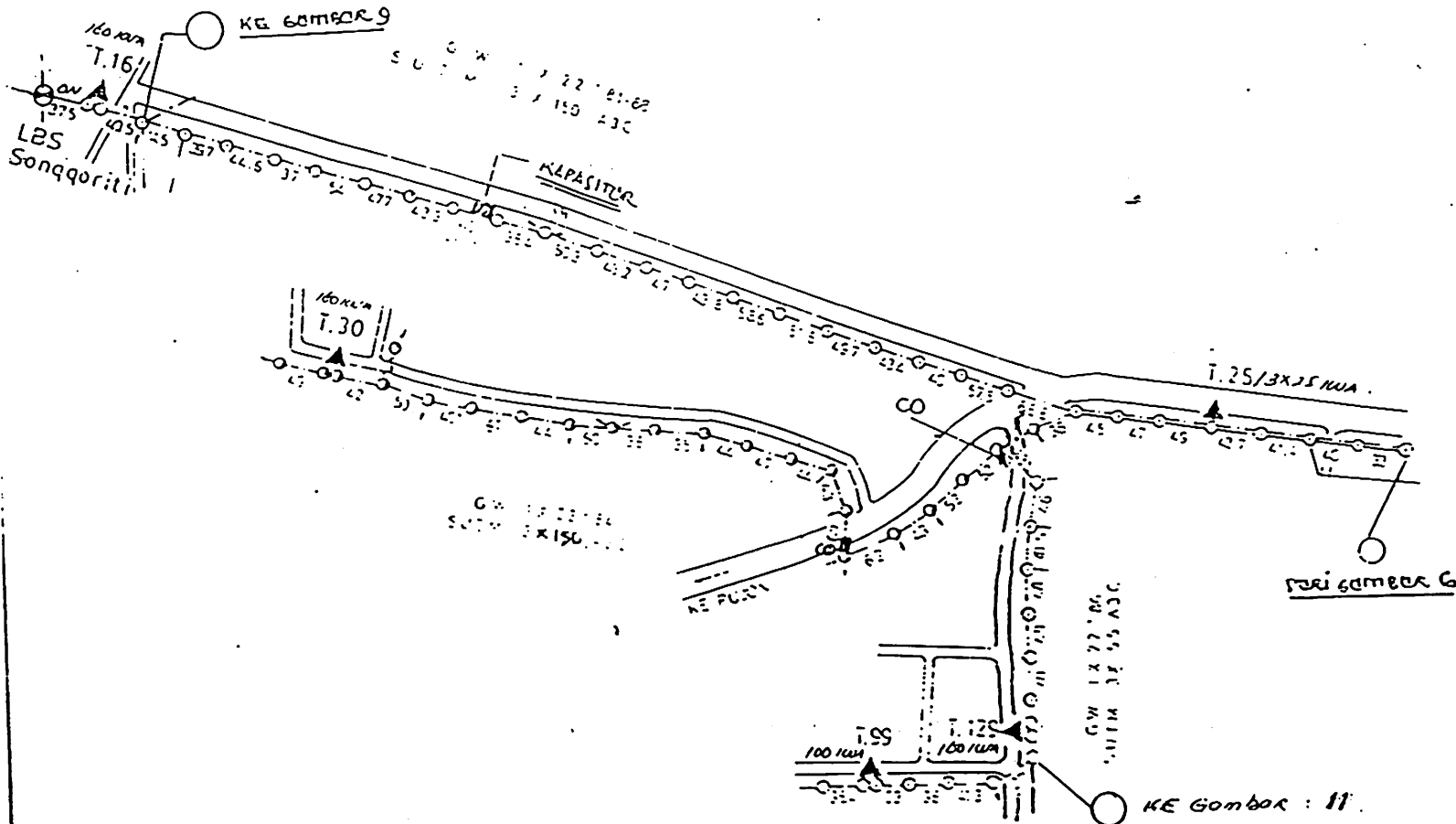
PT. PLN (PERSERO)
DISTRIBUSI JATIM - AP&J MALANG
UNIT PELAYANAN & JARINGAN BATU

PENYULANG : PUJON

pelaksana	pengawas	diketahui
	SHUKO	MANAGER

JL TRUNOJOYO - DS SONGGORITI

(8)



HASIL INSPEKSI JARINGAN			
No.	KADANGAN PENYULANG	KATUKAN	PISALAN
1	Pengantar SUTM 150	Ea	2175
2	TM 1	Ba	43
3	TM 2	Ba	15
4	TM 4	Ba	2
5	TM 3	Ba	2
6	TM 8	Ba	2
7	TM 10	Ba	2
8	TM 11	Ba	
9	TM 12	Ba	
10	TM 14	Ba	
11	TM 15: APC SE	Ba	479
12	TM TYPE POLE	Ba	
13	CONTRA MAS	Ba	1
14	SCBOOR	Ba	18
15	DRUCK SCHOOL	Ba	8
16	Jumlah Tiang beton TM	Ba	21
17	Jumlah Tiang besi TM	Ba	45
18	Jumlah Garda	Ba	5
19	Jumlah bus Trolis	Ba	655
20	Jumlah Kapasitor	Ba	1
21	Jumlah PCT	Ba	
22	Jumlah CO	Ba	21
23	Jumlah AVS	Ba	
24	Jumlah LBS	Ba	1
No.	KADANGAN PEKERJANYA	KATEGORI	JUMLAH
1	Kapal - setiap pole	A	130
2	Pengantar Tipe TM	B	Bh
3	Pengantar Tipe 2	C	Bh
4	Pengantar Conductor	D	Krus
5	Pengantar Conductor	E	Krus
6	Tiang saring/bropis	F	Bh
7	Pembalokan Pasir	G	Bh
8	Pondasi Tipe/GTY	H	Bh
9	Pembalokan Ground Wire	I	Krus
10	Pemasangan COLB/AVS	J	Bh
11	Pemasangan pembalokan LBS	K	Bh
12	Pengantar Layar Conductor	L	Bh
13	Pengantar Layar	M	Bh
14	Pengantar Arus	N	Bh
15	Pengantar COLB/AVS	O	Bh
16	Pengantar Cross Arm	P	Bh

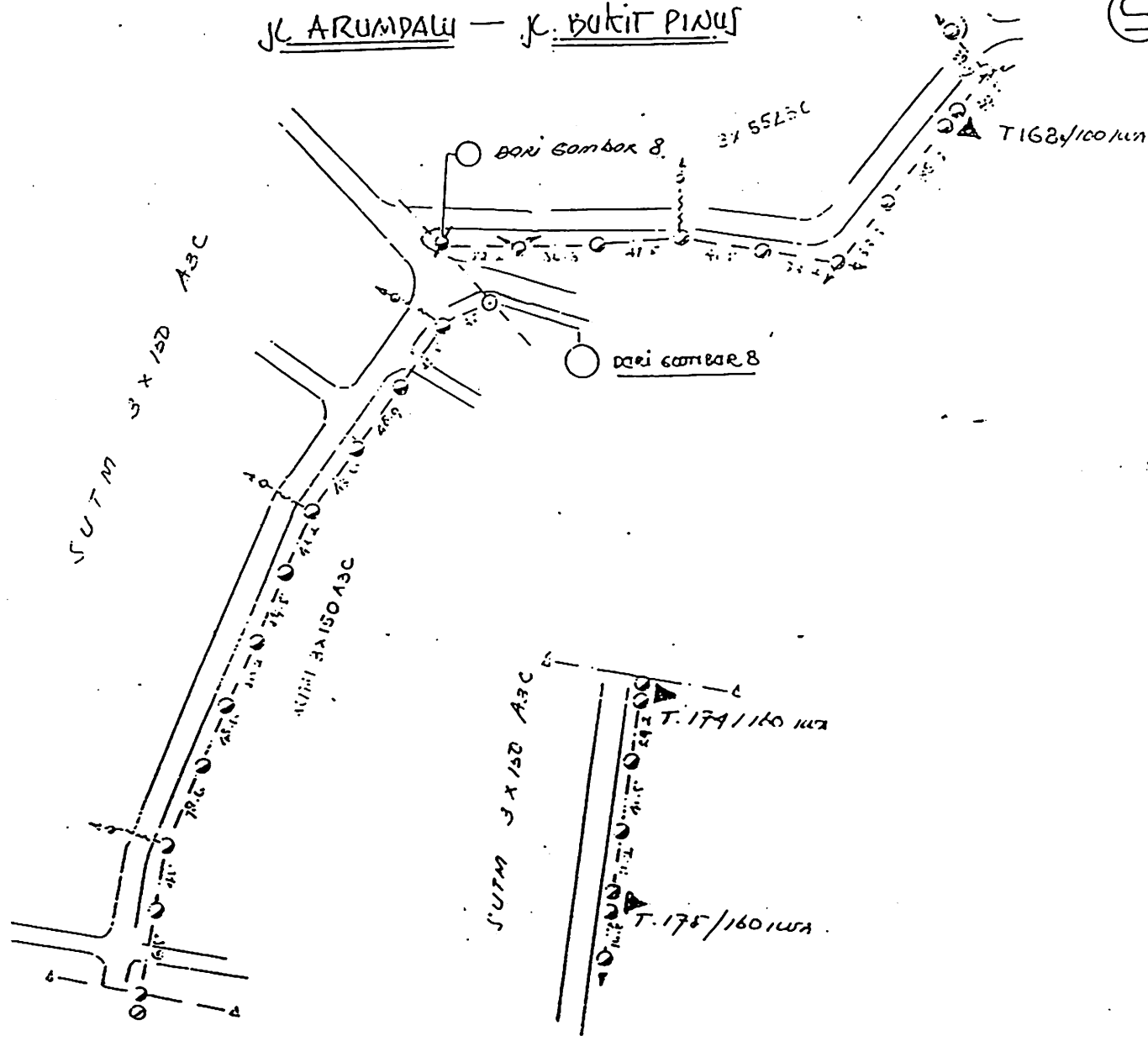
PT. PLN (PERSERO)
DISTRIBUSI JATIM - AP&J MALANG
UNIT PELAYANAN & JARINGAN BATU

PENYULANG : PUJON

pelaksana	pengawas	diketahui
WIDODO	SUJOKO	MANAGE!

JL. ARUMPALU — K. BUKIT PINUS

9



HASIL INSPEKSI JARINGAN			
No.	LEDAKAN / UTM	SATUAN	PJMLAN
1	Propag SUTM ABC/150	Kms	692
2	TM 1	Bh	19
3	TM 2	Bh	5
4	TM 4	Bh	2
5	TM 5	Bh	2
6	TM 6	Bh	2
7	TM 10	Bh	2
8	TM 11	Bh	-
9	TM 12	Bh	-
10	TM 14	Bh	-
11	TM 15 ABC 55	Bh	352
12	TM TYPE POLE	Bh	-
13	CONTRA MAS	Bh	412
14	SCHOOR	Bh	-
15	DRUCK SCHOOR	Bh	-
16	Jumlah Tiang beton TM	Bh	28
17	Jumlah Tiang besi TM	Bh	-
18	Jumlah Gerda	Bh	3
19	Jumlah kva Temb	Kva	420
20	Jumlah Kapasitor	Bh	-
21	Jumlah PCT	Bh	-
22	Jumlah CO	Bh	9
23	Jumlah AVS	Bh	-
24	Jumlah LBS	Bh	-

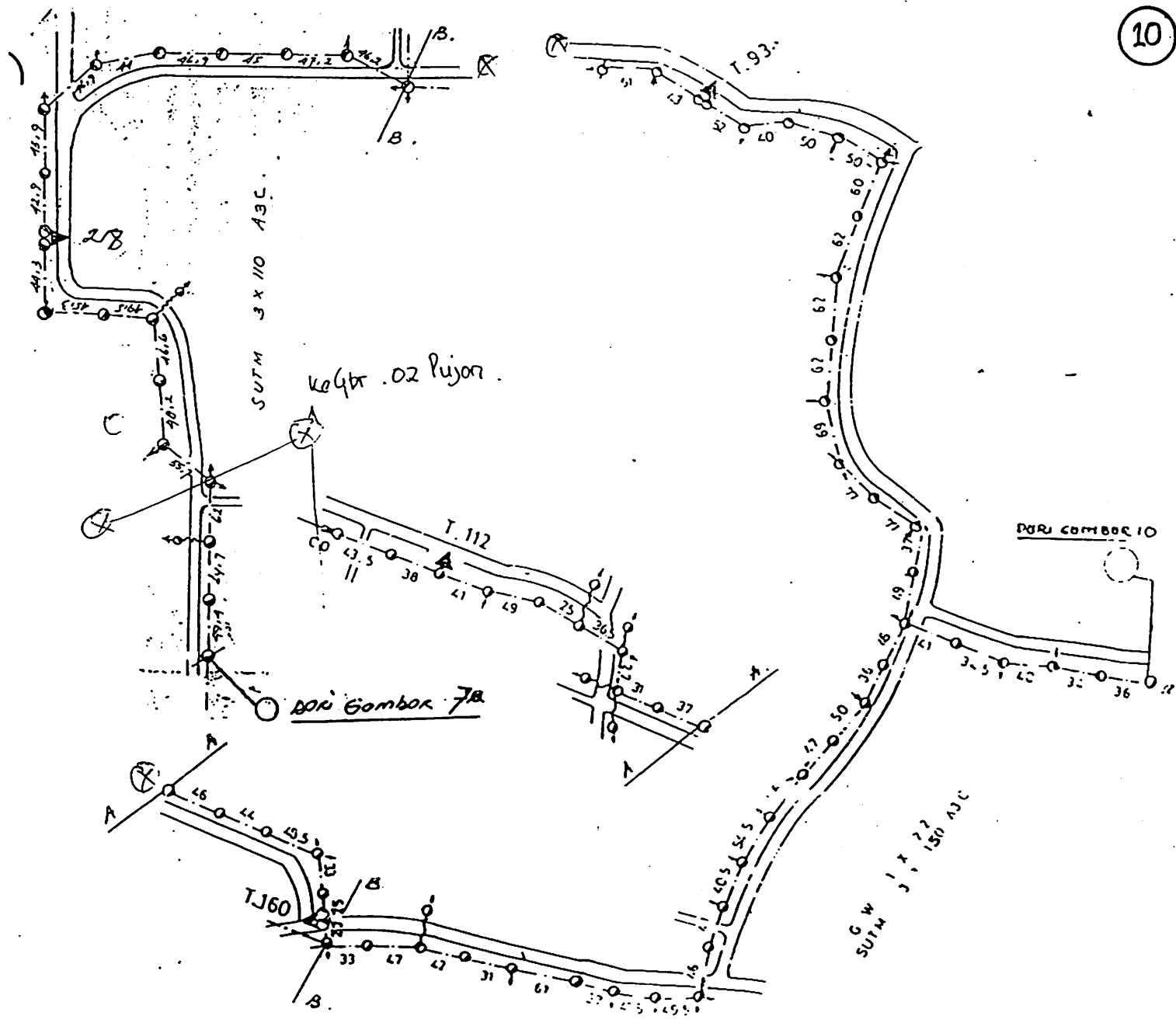
No.	MACAM PEREMBAH	KODE	SATUAN	AVLAK
1	Kapasitor	A	Kms	
2	Pemasangan Tiang TM	B	Bh	
3	Pemasangan Tiang	C	Bh	
4	Pemasangan Conduktor	D	Kms	
5	Pemasangan Conduktor	E	Kms	
6	Tiang airang / brocos	F	Bh	
7	Pemasangan Peral	G	Bh	
8	Pemasangan Tiang/GTT	H	Bh	
9	Pemasangan Ground Wire	I	Kms	
10	Pemasangan COLBUS/AVS	J	Bh	
11	Pemasangan Pemasangan LBS	K	Bh	
12	Pemasangan Lempar Conduktor	L	Bh	
13	Pemasangan Lempar	M	Bh	
14	Pemasangan Arang	N	Bh	
15	Pemasangan COLBUS/AVS	O	Bh	
16				

PT PLN (PERSERO)
DISTRIBUSI JATIM - AP&J MALANG
UNIT PELAYANAN & JARINGAN BATU

PENYULANG : PUJON

pelaksana	pengawas	diketahui
WIDODO	SUJOKO	MANAGER

10

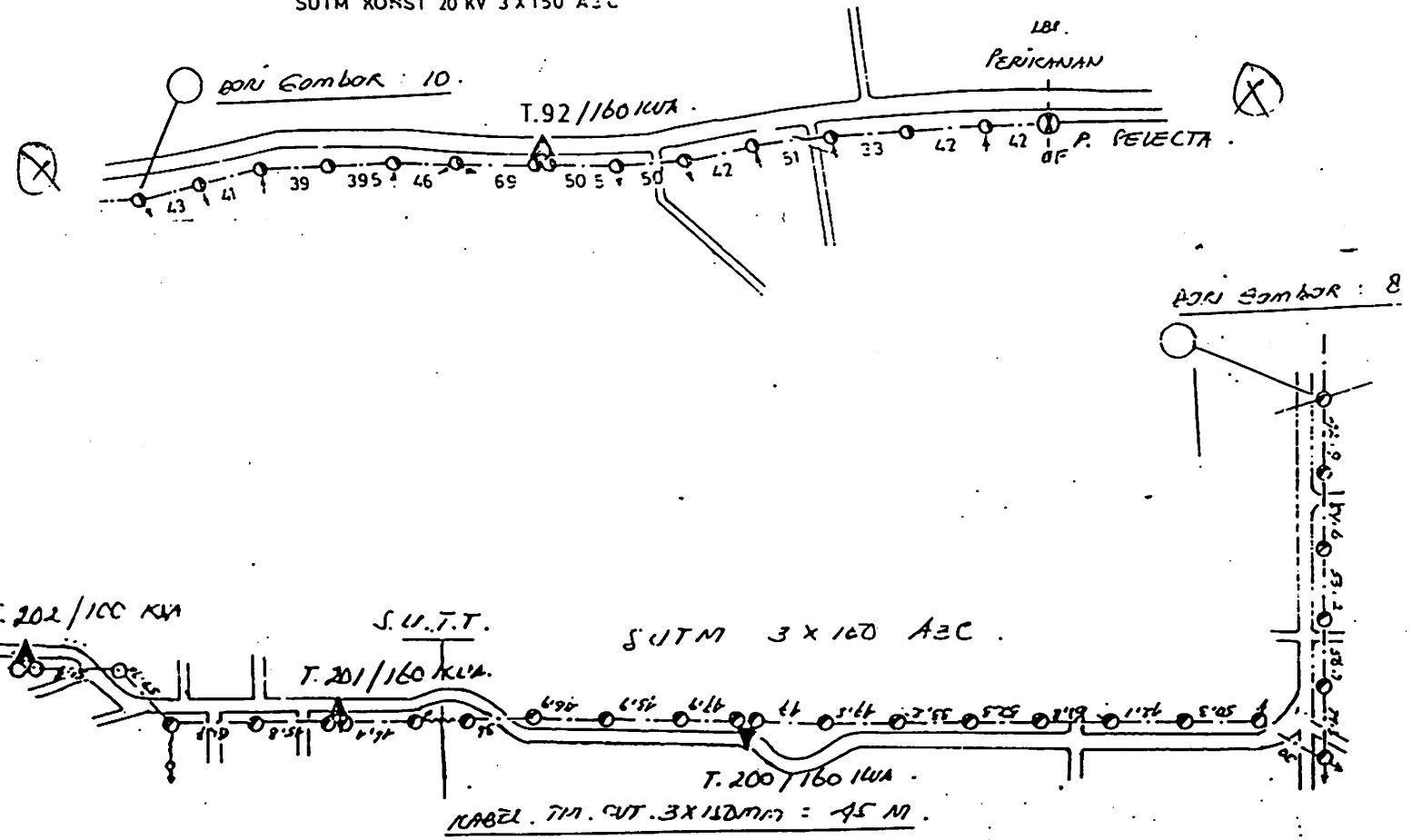


HASIL INSPEKSI JARINGAN			
No.	KADAHAN PERTULUHAN	SATUAN	JUMLAH
1	Panjang SUTM 132 / 150	Kms	2271
2	TM 1	Bh	36
3	TM 2	Bh	23
4	TM 4	Bh	1
5	TM 5	Bh	2
6	TM 8	Bh	1
7	TM 10	Bh	9
8	TM 11	Bh	
9	TM 12	Bh	
10	TM 14	Bh	
11	TM 15 A3c 110	Bh	829
12	TM TYPE POLE	Bh	
13	CONTRA MAS	Bh	7
14	SCHOOL	Bh	4
15	...-OOR	Bh	4
16	Jumlah Tiang wana TM	Bh	81
17	Jumlah Tiang besi TM	Bh	
18	Jumlah Gantel	Bh	4
19	Jumlah Dns Tialo	Kva	
20	Jumlah Kapasitor	Bh	
21	Jumlah PCT	Bh	
22	Jumlah C.O	Bh	15
23	Jumlah A VS	Bh	
24	Jumlah LBS	Bh	

No.	MACAM PERUSAHAAN	KODE	SATUAN	JUMLAH
1	Rampung - rampas pobo	A	Kms	
2	Pengaturan Tiang TM	B	Bh	
3	Pengaturan Tiang	C	Bh	
4	Pengaturan Conduktor	D	Kms	
5	Pengaturan Conduktor	E	Kms	
6	Tiang miring/ kroyo	F	Bh	
7	Pemeliharaan Pabel	G	Bh	
8	Pondasi Tiang/ GIT	H	Bh	
9	Pemeliharaan Ground Wire	I	Kms	
10	Pemanganan COLBS/AVS/VS	J	Bh	
11	Pemanganan/pengaturan LBS	K	Bh	
12	Pengaturan Lymp Conector	L	Bh	
13	Pengaturan Isolator	M	Bh	
14	Pengaturan Arrestor	N	Bh	
15	Pengaturan COLBS/AVS/VS	O	Bh	
16	Pengaturan Cross Arm	P	Bh	

PT. PLN (PERSERO) DISTRIBUSI JATIM - AP&J MALANG UNIT PELAYANAN & JARINGAN BATU		
PENYULANG : PUJON		
pelaksana	pengawas	diketahui

G. V. 1 X 22 ' 83.
SUTM KONST 20 KV 3 X 150 A3C



HASIL INSPEKSI JARINGAN			
No.	KADAM PENTULANG	SAJUAN	JMLAH
1	Panjang SUTM A3C 150	Kms	1718,1
2	TM 1	Bh	24
3	TM 2	Bh	12
4	TM 4	Bh	-
5	TM 5	Bh	1
6	TM 6	Bh	-
7	TM 10	Bh	1
8	TM 11	Bh	1
9	TM 12	Bh	12
10	TM 14	Bh	-
11	TM TYPE POLE	Bh	65
12	CONTRA MAS	Bh	7
14	SCHOOR	Bh	12
15	DRUCK SCHOOR	Bh	5
16	Jumlah Tiang besi EB	Bh	42
17	Jumlah Tiang besi EB	Bh	-
18	Jumlah Gerde	Bh	4
19	Jumlah bu Trede	Kva	500
20	Jumlah Kapasitor	Bh	-
21	Jumlah PCT	Bh	-
22	Jumlah CO	Bh	72
23	Jumlah AVS	Bh	-
24	Jumlah LBS	Bh	1

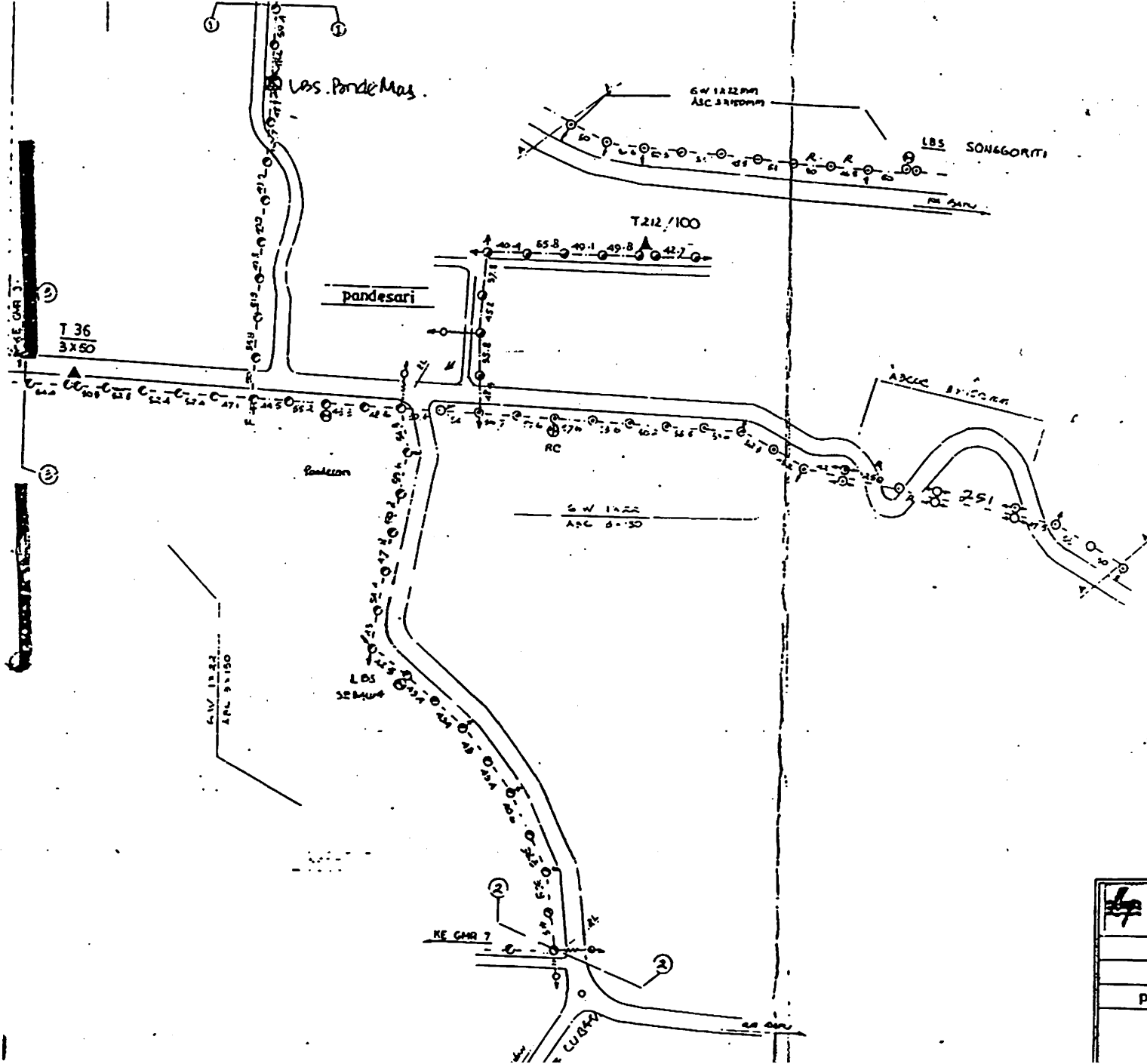
No.	MACAM PERALAN	KODE	SAMPAI P.V.
1	Rampung - rampang paku	A	Kms
2	Pengaturan Tiang EB	B	Bh
3	Pengaturan Tiang	C	Bh
4	Pengaturan Conduktor	D	Kms
5	Pengaturan Conduktor	E	Kms
6	Tiang siring/ busbar	F	Bh
7	Pengaturan Pond	G	Bh
8	Pondasi Tiang/GT	H	Bh
9	Pembongkaran Ground Wn	I	Kms
10	Pengaturan CONDUKTOR	J	Bh
11	Pengaturan Jangkar EB	K	Bh
12	Pengaturan Lampu Ornam	L	Bh
13	Pengaturan Isolator	M	Bh
14	Pengaturan Anodo	N	Bh
15	Pengaturan CONDUKTOR	O	Bh
16	Pengaturan Conduktor	P	Bh

PE. PER (PERSERIK) DISTRIKELTIM - APRESIANG UNIT PELAKSANA & JARINGAN TU

PENYERANG: P U JOB

polaksana	program	ditahui

1



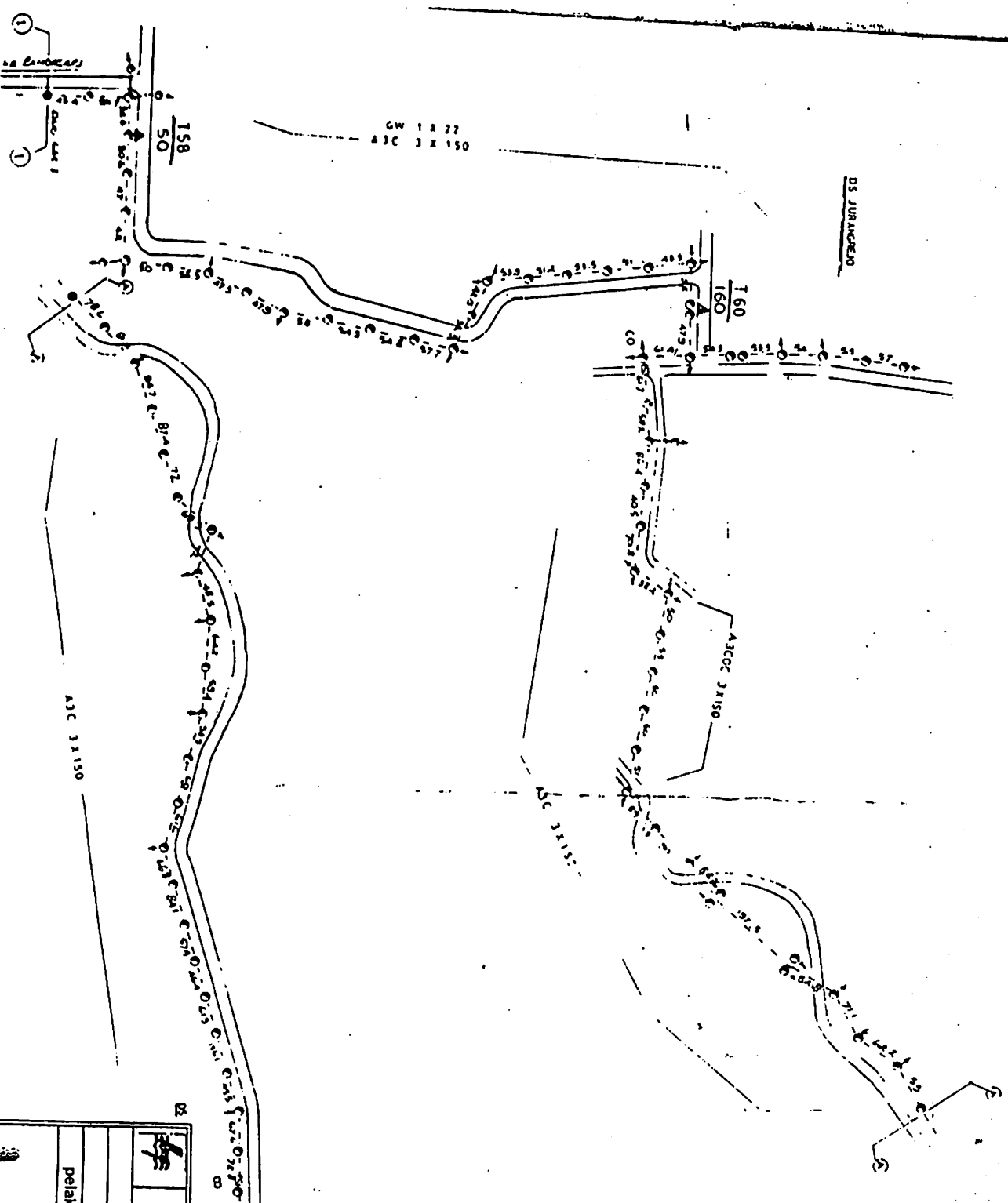
305

HASIL INSPEKSI JARINGAN		
No	KADANG PERTANYAAN	JAWAB
1	Peninggihan ASC	Kem
2	TM 1	BB
3	TM 2	BB
4	TM 3	BB
5	TM 4	BB
6	TM 5	BB
7	TM 6	BB
8	TM 7	BB
9	TM 8	BB
10	TM 9	BB
11	TM 10	BB
12	TM 11	BB
13	TM 12	BB
14	TM 13	BB
15	TM 14	BB
16	TM 15	BB
17	TM 16	BB
18	TM 17	BB
19	TM 18	BB
20	TM 19	BB
21	TM 20	BB
22	TM 21	BB
23	TM 22	BB
24	TM 23	BB
25	TM 24	BB
26	TM 25	BB
27	TM 26	BB
28	TM 27	BB
29	TM 28	BB
30	TM 29	BB
31	TM 30	BB
32	TM 31	BB
33	TM 32	BB
34	TM 33	BB
35	TM 34	BB
36	TM 35	BB
37	TM 36	BB
38	TM 37	BB
39	TM 38	BB
40	TM 39	BB
41	TM 40	BB
42	TM 41	BB
43	TM 42	BB
44	TM 43	BB
45	TM 44	BB
46	TM 45	BB
47	TM 46	BB
48	TM 47	BB
49	TM 48	BB
50	TM 49	BB
51	TM 50	BB
52	TM 51	BB
53	TM 52	BB
54	TM 53	BB
55	TM 54	BB
56	TM 55	BB
57	TM 56	BB
58	TM 57	BB
59	TM 58	BB
60	TM 59	BB
61	TM 60	BB
62	TM 61	BB
63	TM 62	BB
64	TM 63	BB
65	TM 64	BB
66	TM 65	BB
67	TM 66	BB
68	TM 67	BB
69	TM 68	BB
70	TM 69	BB
71	TM 70	BB
72	TM 71	BB
73	TM 72	BB
74	TM 73	BB
75	TM 74	BB
76	TM 75	BB
77	TM 76	BB
78	TM 77	BB
79	TM 78	BB
80	TM 79	BB
81	TM 80	BB
82	TM 81	BB
83	TM 82	BB
84	TM 83	BB
85	TM 84	BB
86	TM 85	BB
87	TM 86	BB
88	TM 87	BB
89	TM 88	BB
90	TM 89	BB
91	TM 90	BB
92	TM 91	BB
93	TM 92	BB
94	TM 93	BB
95	TM 94	BB
96	TM 95	BB
97	TM 96	BB
98	TM 97	BB
99	TM 98	BB
100	TM 99	BB
101	TM 100	BB

PT. PLN (PERSERO)
DISTRIBUSI JATIM - APJ/MALANG
UNIT PELAYANAN & JARINGAN BATU

PENYULANG : PUJON

pelaksana	pengawas	diketahui



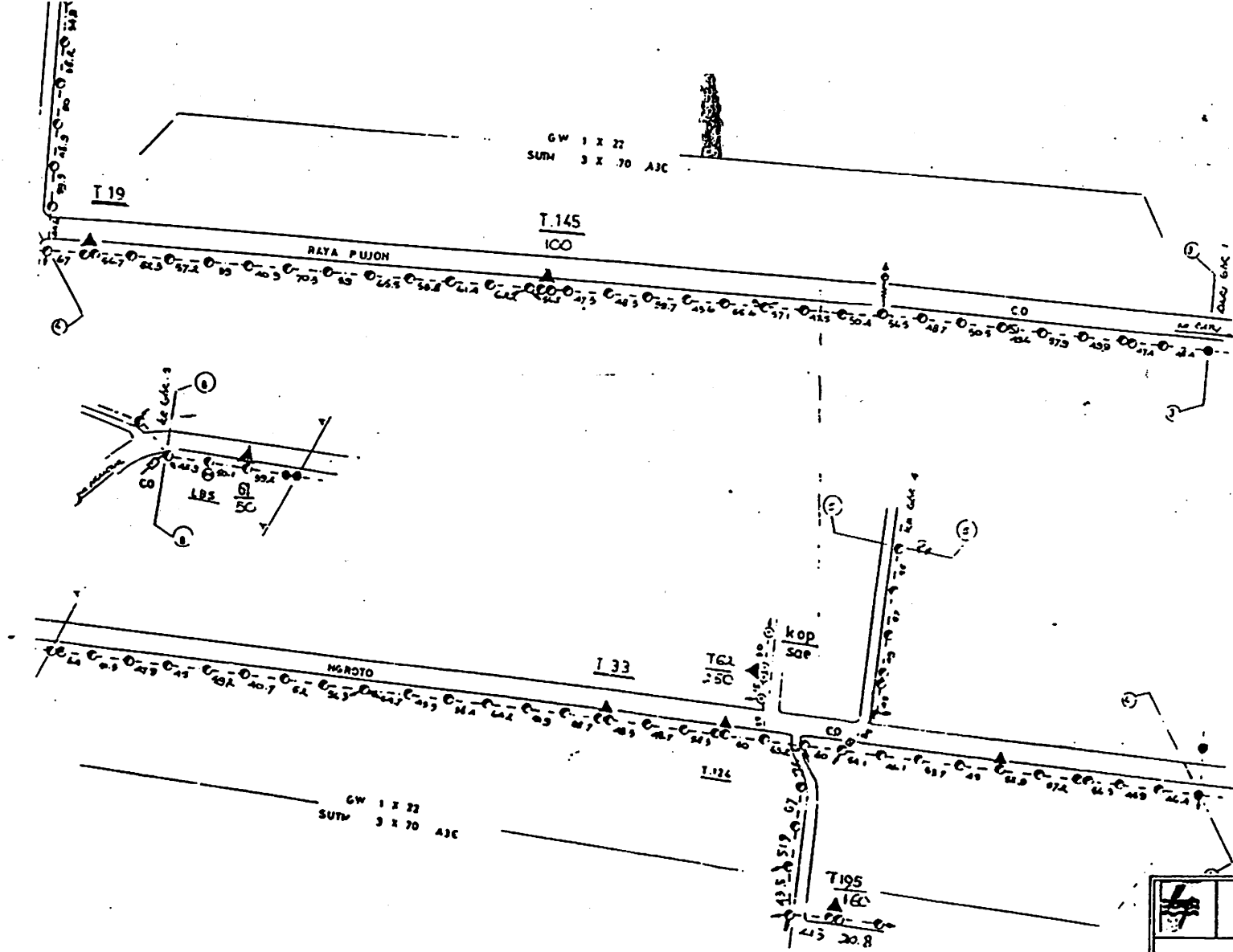
2

No	Uraian Pekerjaan	Luasan	Estimasi
1	Pondasi Beton	100	100
2	Tiang Beton	100	100
3	Tiang Besi	100	100
4	Tiang Kayu	100	100
5	Tiang Bata	100	100
6	Tiang GRC	100	100
7	Tiang Baja	100	100
8	Tiang Alumunium	100	100
9	Tiang Plastik	100	100
10	Tiang Kertas	100	100
11	Tiang Kulit	100	100
12	Tiang Logam	100	100
13	Tiang Tembaga	100	100
14	Tiang Perak	100	100
15	Tiang Emas	100	100
16	Tiang Intan	100	100
17	Tiang Berlian	100	100
18	Tiang Mutiara	100	100
19	Tiang Opal	100	100
20	Tiang Smalt	100	100
21	Tiang Ametis	100	100
22	Tiang Topas	100	100
23	Tiang Zafir	100	100
24	Tiang Ruby	100	100
25	Tiang Sapphire	100	100
26	Tiang Garnet	100	100
27	Tiang Quartz	100	100
28	Tiang Obsidian	100	100
29	Tiang Onyx	100	100
30	Tiang Jasper	100	100
31	Tiang Malachite	100	100
32	Tiang Turquoise	100	100
33	Tiang Carnelian	100	100
34	Tiang Smoky Quartz	100	100
35	Tiang Citrine	100	100
36	Tiang Amethyst	100	100
37	Tiang Peridot	100	100
38	Tiang Spinel	100	100
39	Tiang Sapphire	100	100
40	Tiang Ruby	100	100
41	Tiang Emerald	100	100
42	Tiang Diamond	100	100
43	Tiang Platinum	100	100
44	Tiang Gold	100	100
45	Tiang Silver	100	100
46	Tiang Copper	100	100
47	Tiang Iron	100	100
48	Tiang Steel	100	100
49	Tiang Aluminum	100	100
50	Tiang Plastic	100	100
51	Tiang Glass	100	100
52	Tiang Wood	100	100
53	Tiang Paper	100	100
54	Tiang Fabric	100	100
55	Tiang Leather	100	100
56	Tiang Rubber	100	100
57	Tiang Wax	100	100
58	Tiang Oil	100	100
59	Tiang Gas	100	100
60	Tiang Electricity	100	100
61	Tiang Water	100	100
62	Tiang Air	100	100
63	Tiang Fire	100	100
64	Tiang Earth	100	100
65	Tiang Space	100	100
66	Tiang Time	100	100
67	Tiang Gravity	100	100
68	Tiang Magnetism	100	100
69	Tiang Radioactivity	100	100
70	Tiang Nuclear Energy	100	100
71	Tiang Solar Energy	100	100
72	Tiang Wind Energy	100	100
73	Tiang Hydro Energy	100	100
74	Tiang Geothermal Energy	100	100
75	Tiang Biomass Energy	100	100
76	Tiang Tidal Energy	100	100
77	Tiang Wave Energy	100	100
78	Tiang Ocean Thermal Energy	100	100
79	Tiang Fusion Energy	100	100
80	Tiang Fission Energy	100	100
81	Tiang Kinetic Energy	100	100
82	Tiang Potential Energy	100	100
83	Tiang Thermal Energy	100	100
84	Tiang Mechanical Energy	100	100
85	Tiang Chemical Energy	100	100
86	Tiang Nuclear Energy	100	100
87	Tiang Solar Energy	100	100
88	Tiang Wind Energy	100	100
89	Tiang Hydro Energy	100	100
90	Tiang Geothermal Energy	100	100
91	Tiang Biomass Energy	100	100
92	Tiang Tidal Energy	100	100
93	Tiang Wave Energy	100	100
94	Tiang Ocean Thermal Energy	100	100
95	Tiang Fusion Energy	100	100
96	Tiang Fission Energy	100	100
97	Tiang Kinetic Energy	100	100
98	Tiang Potential Energy	100	100
99	Tiang Thermal Energy	100	100
100	Tiang Mechanical Energy	100	100

PT. PLN (PERSERO)
DISTRIBUSI JATIM - PERUMALANG
UNIT PELAYANAN & SIMONGAN BATI

PENYULANG : PUJON

pelaksana pengemas dikehilir



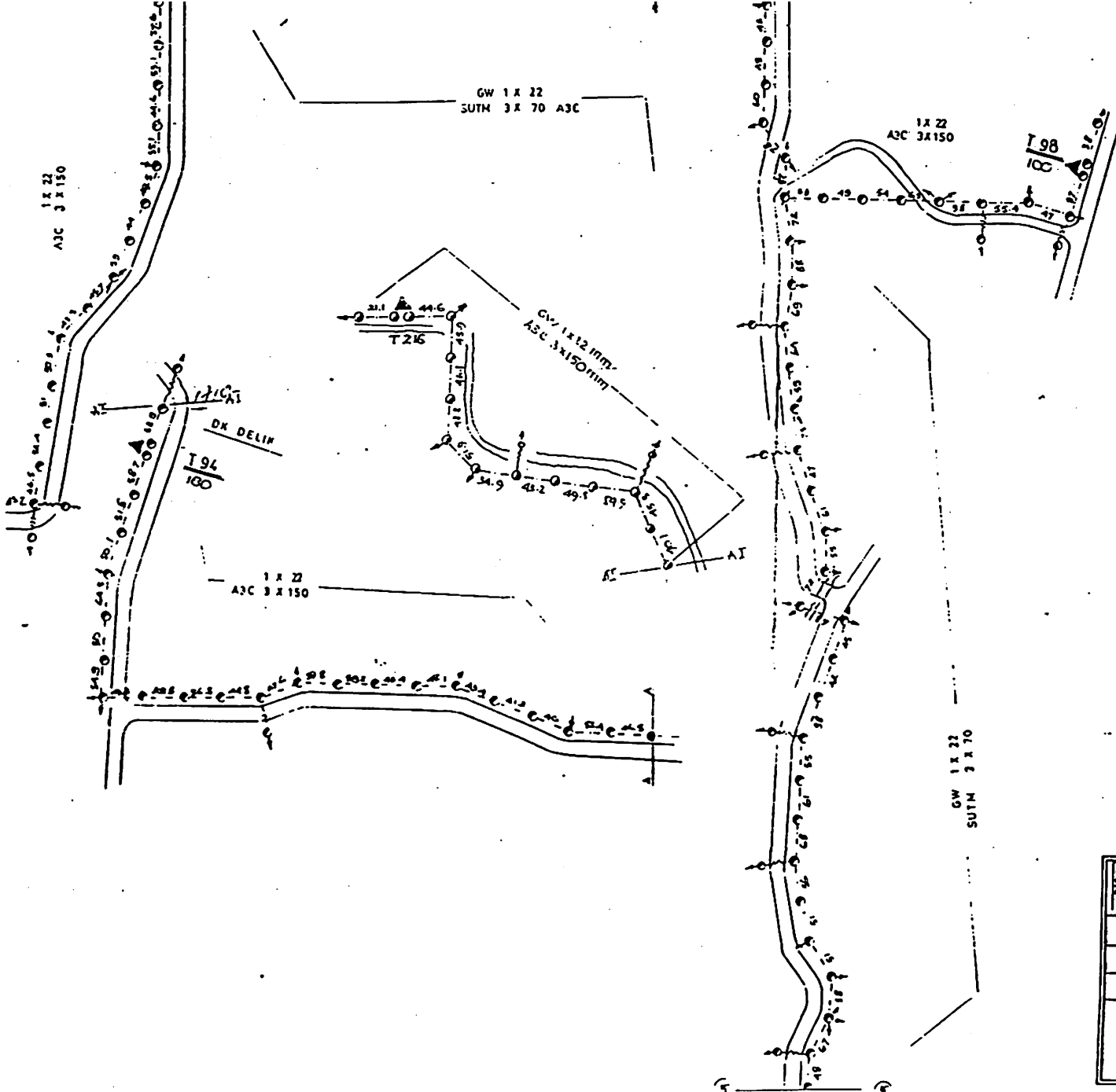
HASIL INSPEKSI JARINGAN			
No	LADANG PENTRANS	STATUS	ANALISA
1	Pangkal SUTM A3C 70	Ba	73
2	TM 1	Ba	34
3	TM 2	Ba	3
4	TM 4	Ba	3
5	TM 5	Ba	4
6	TM 6	Ba	4
7	TM 10	Ba	4
8	TM 11	Ba	4
9	TM 12	Ba	-
10	TM 14	Ba	-
11	TM 15	Ba	-
12	TM TYPE POLE	Ba	-
13	CONTRA MAS	Ba	-
14	SEKOR	Ba	16
15	DRUCK WOODOR	Ba	190
16	Jumlah Tangkutan TM	Ba	49
17	Jumlah Tangkutan TM	Ba	49
18	Jumlah Ganda	Ba	1300
19	Jumlah Bus Torsi	Ba	-
20	Jumlah Rapatan	Ba	-
21	Jumlah PCV	Ba	-
22	Jumlah CO	Ba	30
23	Jumlah AVE	Ba	-
24	Jumlah LBS	Ba	1
No	MACAM KEADAAN	EDGE	Lokasi/ANALISA
1	Resapan - orang jalan	A	Kurs
2	Penggunaan Tangkutan	B	Ba
3	Penggunaan Tangkutan	C	Ba
4	Penggunaan Cerdak	D	Kurs
5	Penggunaan Cerdak	E	Kurs
6	Tangkutan miring/longor	F	Ba
7	Penggunaan Pond	G	Ba
8	Pondok Tangkutan	H	Ba
9	Penggunaan Cerdak Vitor	I	Kurs
10	Penggunaan CO/REKAVIVE	J	Ba

PT. PLN (PERSERO)
DISTRIBUSI JATIM - APJ MALANG
UNIT PELAYANAN & JARINGAN BATU

PENYULANG : PUJON

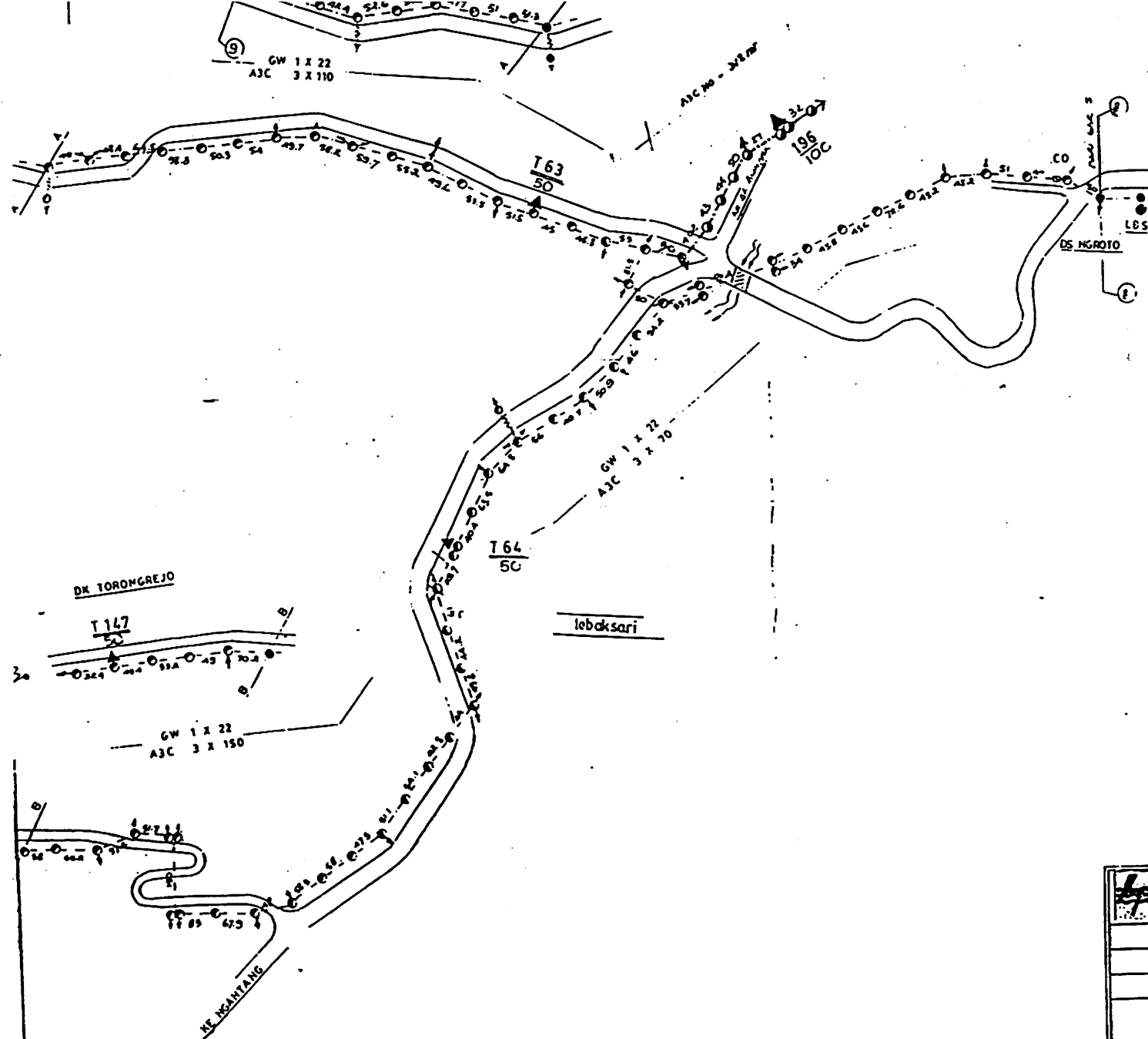
pelaksana	pengawas	diketahui
WIDODO	SUJOKO	MANAGER

4



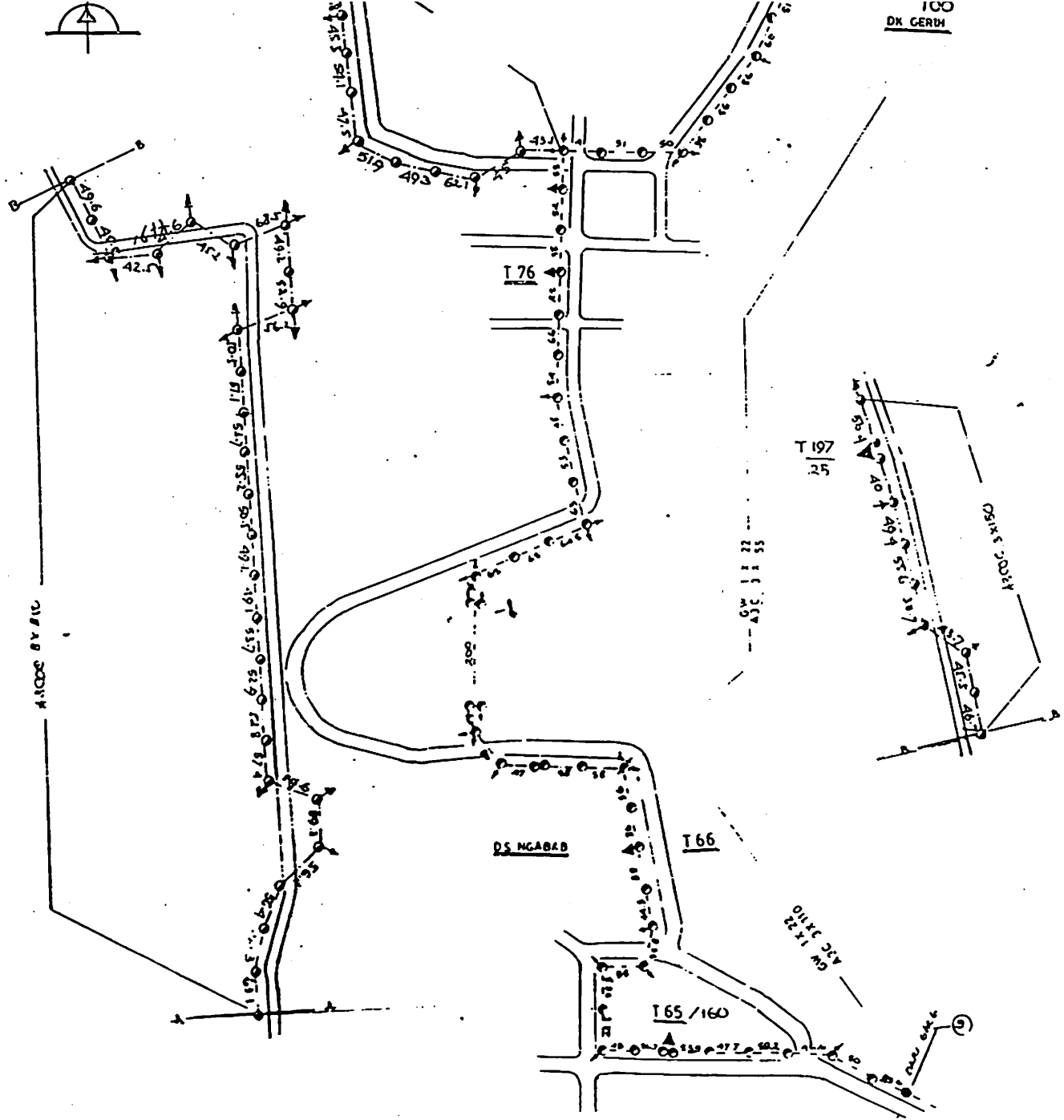
<p>PT. PLN (PERSERO) DISTRIBUSI JATIM - AP&J MALANG UNIT PELAYANAN & JARINGAN BATU</p>		
<p>PENYULANG : PUJON</p>		
pelaksana	pengawas	diketahui
WIDODO	SUJOKO	MANAGER

5



HASIL INSPEKSI JARIGAN			
No	LOKASI PERUSAHA	LATIHAN	STATUS
1	PERUSAHA SUKSES	BAK	97.8
2	TM 1	BAK	10
3	TM 2	BAK	23
4	TM 3	BAK	2
5	TM 4	BAK	2
6	TM 5	BAK	2
7	TM 6	BAK	2
8	TM 7	BAK	2
9	TM 8	BAK	2
10	TM 9	BAK	2
11	TM 10	BAK	2
12	TM 11	BAK	2
13	TM 12	BAK	2
14	TM 13	BAK	2
15	TM 14	BAK	1677
16	TM 15	BAK	1362
17	TM TYPE POLE	BAK	4
18	CONTRA MAS	BAK	4
19	SKRIPER	BAK	4
20	BRUCE SCHOOL	BAK	4
21	Pondok yang baru TM	BAK	4
22	Pondok yang lama TM	BAK	4
23	Pondok Gede	BAK	4
24	Pondok dan Tenda	BAK	4
25	Pondok Sampah	BAK	4
26	Pondok PCD	BAK	4
27	Pondok CO	BAK	4
28	Pondok A/S	BAK	4
29	Pondok LBS	BAK	4
30	Pondok LBS	BAK	4
No	LOKASI PERUSAHA	STATUS	REMARK
1	Saluran transmisi	A	Kerus
2	Programme yang TM	B	BAK
3	Programme yang	C	BAK
4	Programme Chudhul	D	Kerus
5	Programme Chudhul	E	Kerus
6	Tiang atau tiang	F	BAK
7	Pondok atau Pond	G	BAK
8	Pondok yang baru	H	BAK
9	Pondok yang lama	I	Kerus

<p>PT. PLN (PERSERO) DISTRIBUSI JATIM - AP&J MALANG UNIT PELAYANAN & JARINGAN BARR</p>		
PENYULANG : PUJON		
pelaksana	pengawas	dibetahui
WIJODO	SUJOKO	MARAGER



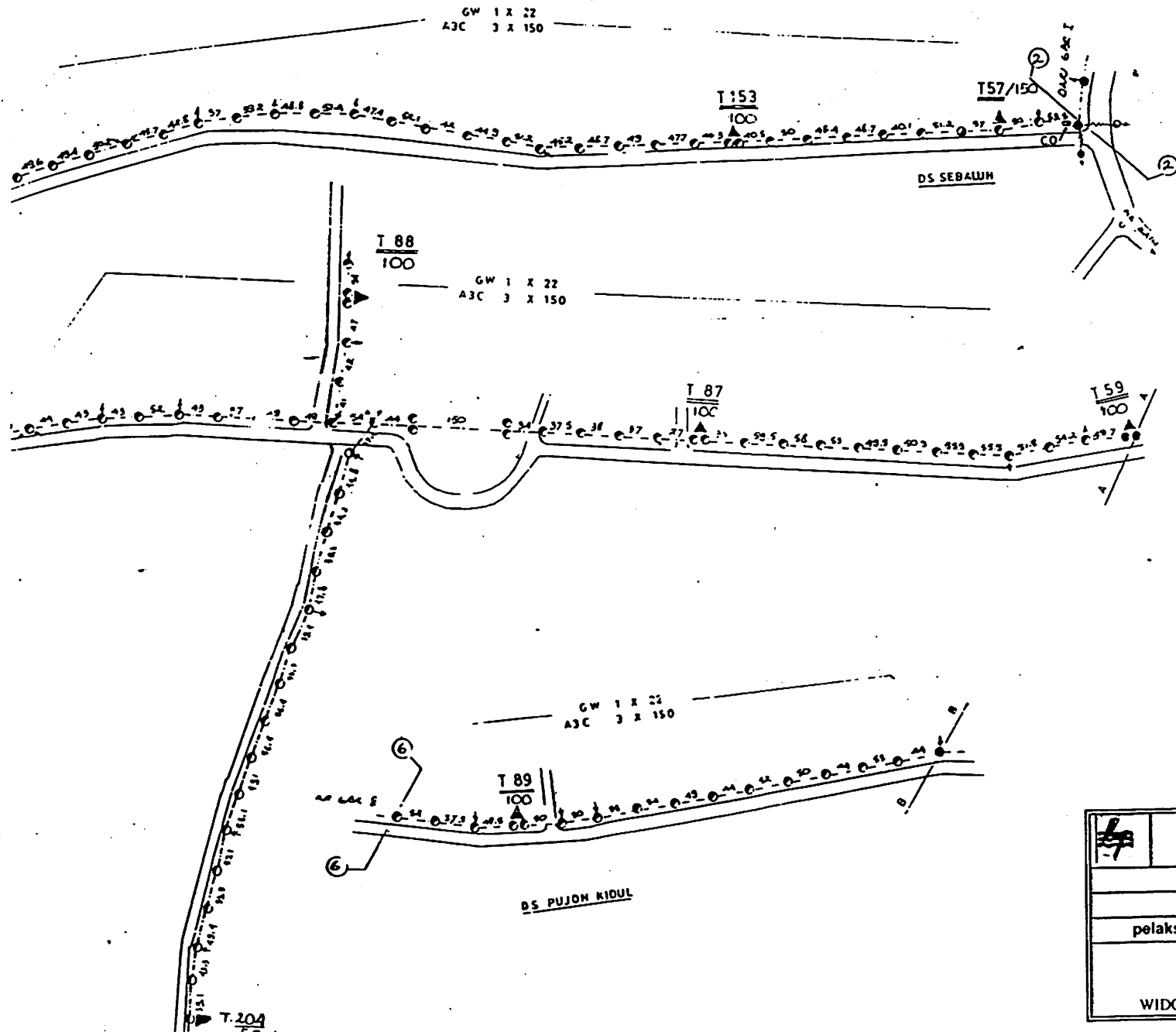
HASIL INSPEKSI JARINGAN			
No.	SADAIK FERTILAND	LOKASI	REKAM
1	Pangkal OUTM	Keu	1773
2	TM 1	BH	18
3	TM 2	BH	3
4	TM 3	BH	-
5	TM 4	BH	-
6	TM 5	BH	-
7	TM 10	BH	3
8	TM 11	BH	-
9	TM 12	BH	1
10	TM 14	BH	-
11	TM 15	BH	730
12	TM TYPE POLE	BH	2150
13	CONTRA MAS	BH	2
14	SCROOB	BH	46
15	BRUCK SCHOOL	BH	7-
16	Jumlah Tangkapan TM	BH	95
17	Jumlah Tangkapan TM	BH	95
18	Jumlah Ombak	BH	5
19	Jumlah No Tiah	BH	133
20	Jumlah Expense	BH	-
21	Jumlah PC7	BH	-
22	Jumlah CO	BH	12
23	Jumlah AVS	BH	-
24	Jumlah LSA	BH	-
No.	SADAIK REKAM	NORE	LOKASI/ALYAN
1	Rangka - rangka jalan	A	Keu
2	Pangkal Tang TM	B	BH
3	Pangkal Tang	C	BH
4	Pangkalan Chodak	D	Keu
5	Pangkalan Chodak	E	Keu
6	Tiang piala/rangka	F	BH
7	Pangkalan Pond	G	BH
8	Pangkal Tang/GTE	H	BH
9	Pangkalan Gased War	I	Keu

PT. PLN (PERSERO)
 DISTRIBUSI JATIM - AP&J MALANG
 UNIT PELAYANAN & JARINGAN BATU

PENYULANG: PUJON

pelaksana	pengawas	diketahui

7

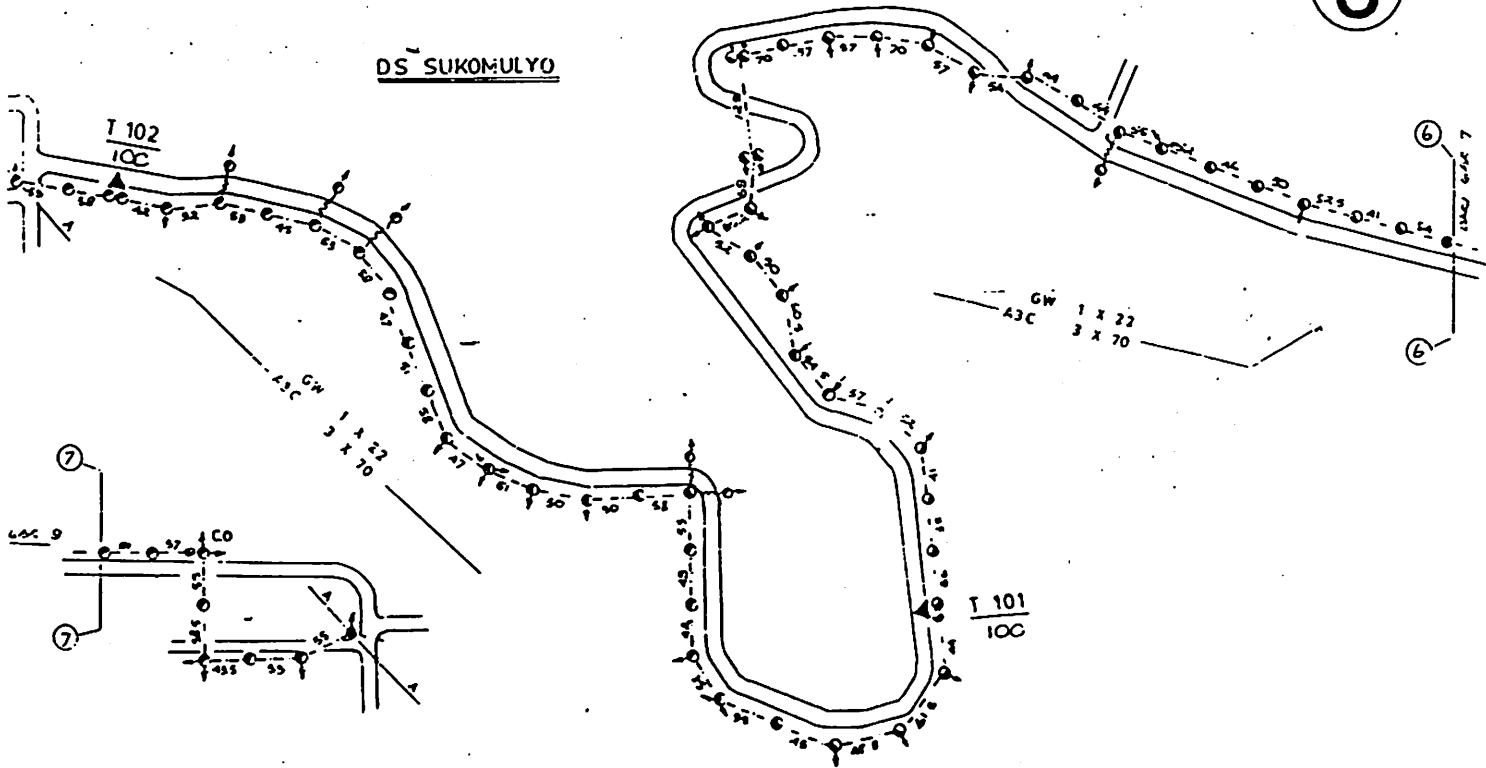


HASIL INSPEKSI JARINGAN			
No	SADAN PERULANG	SATUAN	ANALISA
1	Panjang SUTM	Km	
2	TM 1	Ba	
3	TM 2	Ba	
4	TM 3	Ba	
5	TM 4	Ba	
6	TM 5	Ba	
7	TM 6	Ba	
8	TM 7	Ba	
9	TM 8	Ba	
10	TM 9	Ba	
11	TM 10	Ba	
12	TM TYPE POKS	Ba	
13	CONTRA MAS	Ba	
14	KCMOOR	Ba	
15	CRUCE KCMOOR	Ba	
16	Jambak Tangkai TM	Ba	
17	Jambak Tangkai TM	Ba	
18	Jambak Ganda	Ba	
19	Jambak 3x Tada	Km	
20	Jambak Kapanan	Ba	
21	Jambak PCT	Ba	
22	Jambak C/D	Ba	
23	Jambak A/V	Ba	
24	Jambak L/S	Ba	
No	SADAN PERUBAH	NOOR	LOKASI/ANALISA
1	Saluran - saluran paku	A	Km
2	Perawatan Tangkai TM	B	Ba
3	Perawatan Tangkai	C	Ba
4	Perawatan Conduktor	D	Km
5	Perawatan Chassis	E	Km
6	Tangkai sambung/Impas	F	Ba
7	Perawatan Pasak	G	Ba

PT. PLN (PERSERO) DISTRIBUSI JATIM - AP&J MALANG UNIT PELAYANAN & JARINGAN BATU		
PENYULANG : PUJON		
pelaksana	pengawas	diketahui
WIDODO	SUJOKO	MANAGER

8

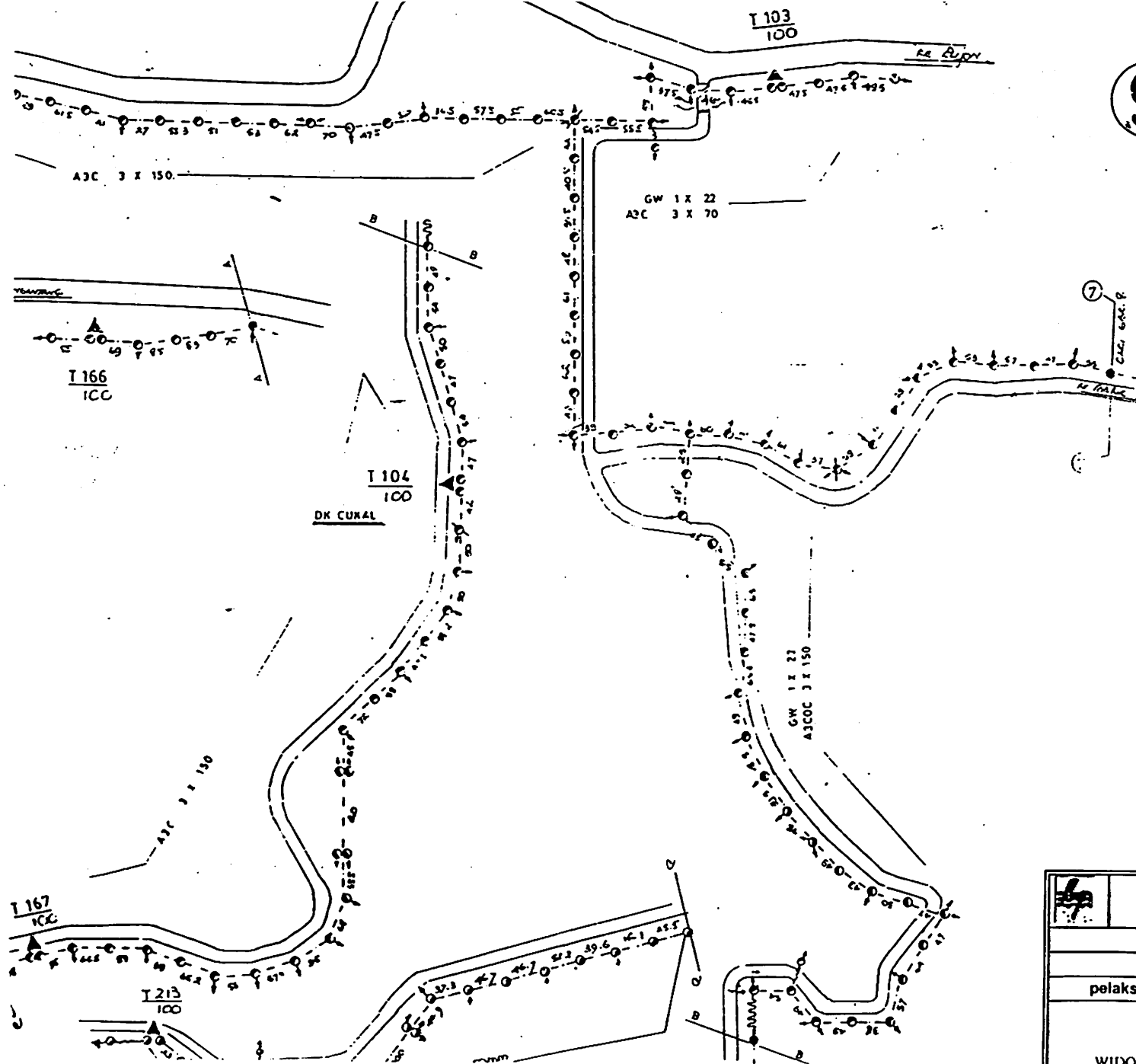
DS SUKOMULYO



HASIL INSPEKSI JARINGAN		
No	SADAH PERULANG	STATUS
1	Tumpang SUTM	Kem
2	TM3	Bh
3	TM2	Bh
4	TM4	Bh
5	TM5	Bh
6	TM2	Bh
7	TM30	Bh
8	TM18	Bh
9	TM13	Bh
10	TM14	Bh
11	TM15	Bh
12	TM TYPE FOLE	Bh
13	CONTRA MAS	Bh
14	SCHDOR	Bh
15	LAUCE SCHOOL	Bh
16	Jambak Tang Inan TM	Bh
17	Jambak Tang Inan TM	Bh
18	Jambak Onda	Bh
19	Jambak Ina Yudu	Kem
20	Jambak Kapsulor	Bh
21	Jambak PCT	Bh
22	Jambak CO	Bh
23	Jambak AVS	Bh
24	Jambak LBS	Bh
No	lokasi	REMARKS
1	Tempat p. umum jalan	A KFS
2	Programan Tang TM	B Bh
3	Programan Tang	C Bh
4	Programan Onda	D Kem
5	Programan Onda	E KFS
6	Tang ulir/buret	F Bh
7	Programan Pond	G Bh
8	Pond Tang/OT	H Bh
9	Programan Onda Wn	I KFS
10	Programan COLMAYATI	J Bh

<p>PT. PLN (PERSERO) DISTRIBUSI JATIM - AP&J MALANG UNIT PELAYANAN & JARINGAN BATU</p>		
<p>PENYULANG : PUJON</p>		
pelaksana	pengawas	diketahui
WIDODO	SUJOKO	MAN...TR

9



<p>PT. PLN (PERSERO) DISTRIBUSI JATIM - AP&J MALANG UNIT PELAYANAN & JARINGAN BATU</p>		
PENYULANG : PU JON		
pelaksana	pengawas	diketahui
WIDODO	SUNIKO	MANAGER